

Lei 7,-

*Rodica Irina Rabeja*

# DIODE SI TRANZISTOARE



EDITURA TEHNICĂ

**Știința și tehnica pentru toți**  
**SERIA „TEHNICA LA ZI”**

1. **TEHNOLOGIA DE FABRICAȚIE**  
2. **TEHNOLOGIA DE MONTAJ**  
3. **TEHNOLOGIA DE ÎNȚEBERE**

4. **TEHNOLOGIA DE PĂCĂLIT**  
5. **TEHNOLOGIA DE VOPSĂL**  
6. **TEHNOLOGIA DE ÎNȚEBERE**  
7. **TEHNOLOGIA DE PĂCĂLIT**  
8. **TEHNOLOGIA DE VOPSĂL**

9. **TEHNOLOGIA DE ÎNȚEBERE**  
10. **TEHNOLOGIA DE PĂCĂLIT**  
11. **TEHNOLOGIA DE VOPSĂL**  
12. **TEHNOLOGIA DE ÎNȚEBERE**

**Știința și tehnica pentru toți**  
SERIA „TEHNICA LA ZI”

**Apariții 1986**

Turbuț Sorin  
Baciu A.  
Mihalcu M.  
Isaic-Maniu D.,  
Vodă V.  
Teodorescu H. ș.a.  
Anghelache I.

Iordăchescu E.  
Marinescu N. I.  
Berinde V.

Drimer D.,  
Demetrescu Ioana

**Apariții 1987**

Străjescu M.  
Stanciu D.  
Olimescu R.  
Greabu M.  
Stroia Al.  
Țuțuianu O.  
Cecal Al.

DIRIJAREA CIRCULAȚIEI TRENURILOR  
ENERGIA ELECTRICĂ ȘI VIAȚA  
CE SÎNT MATERIALELE PLASTICE ARMATE  
FIABILITATE, ȘANSĂ ȘI RISC

COMUNICAREA ORALĂ OM-MAȘINĂ  
BENZINE AUTO DIN PETROL ȘI DIN SURSE  
NEPETROLIERE

TRANSLAȚIA CONSTRUCȚIILOR  
PRELUCRĂRI CU ULTRASUNETE  
RECUPERAREA, RECONDIȚIONAREA ȘI  
REFOLOSIREA PIESELOR  
FIBRE DE CARBON

FIXAREA AZOTULUI  
SENZORI – PREZENT ȘI PERSPECTIVĂ  
CHEMILUMINESCENȚA ȘI BIOLUMINESCENȚA

O CĂLĂTORIE ÎN LUMEA ZAHĂRULUI  
STOCAREA ENERGIEI  
ASPECTE CHIMICE ALE  
ENERGETICII NUCLEARE

**Irina Rodica Rabeja**

# **DIODE ȘI TRANZISTOARE**



Editura Tehnică  
București – 1987

Seria „TEHNICA LA ZI”  
 Colecția „ȘTIINȚA ȘI TEHNICA PENTRU TOȚI”  
 apare sub egida  
 CONSILIULUI NAȚIONAL  
 al  
 FRONTULUI DEMOCRAȚIEI ȘI UNITĂȚII SOCIALISTE

## CUPRINS

<b>I. Partea întâi Diode</b>	<b>7</b>
1. Diodele redresoare	12
2. Diodele stabilizatoare de tensiune (Diode Zener)	22
3. Diodele de impulsuri (Diode de comutație)	24
4. Diodele detectoare	27
5. Diodele parametrice (Diode Varicap)	29
6. Diodele tunel și IMPATT	31
7. Diodele cu bază dublă (tranzistoare unijoncțiune)	34
8. Diodele controlate (tiristoare)	37
9. Fotodiodele	46
10. Diodele electroluminescente	52
<b>II. Partea a doua TRANZISTOARE</b>	<b>57</b>
1. Tranzistoare bipolare	59
1.1. Descrierea funcționării lor	60
1.2. Tranzistorul în regim static	71
1.3. Tranzistorul în regim variabil (dinamic)	76
1.4. Tranzistorul în regim de comutație	84
1.5. Limitări în funcționare (limite absolute)	86
2. Tranzistoare unipolare	89
2.1. Tranzistoare unipolare cu poartă (grilă) joncțiune	90
2.2. Tranzistoare unipolare cu poartă (grilă) izolată	93
2.3. Tranzistorul unipolar în regim static	99
2.4. Tranzistorul unipolar în regim variabil (dinamic)	104
2.5. Tranzistorul unipolar ca rezistență controlată prin tensiune	106
2.6. Tranzistorul unipolar în regim de comutație	108
3. Comparație între tranzistoarele bipolare și cele unipolare	110
<b>III. Foi de catalog</b>	<b>112</b>
<b>IV. Bibliografie</b>	<b>134</b>

## DIODE

Dioda a constituit primul dispozitiv electronic, care a revoluționat știința și tehnica în anul 1904 când a fost realizată pentru prima oară în laborator de către I. A. Fleming, sub forma unui tub de sticlă vidat care conținea doi electrozi, anodul și catodul și efectua funcția de detecție.

Prin preajma anului 1883 celebrul inventator american Thomas Alva Edison lucra la perfecționarea becului electric care, se compunea din trei părți: dulia, care se înșurubază în fasung, filamentul care devine incandescent prin trecerea curentului electric și balonul de sticlă, care protejează filamentul. Introducând la un moment dat în interiorul balonului o plăcuță metalică și legând între aceasta și filament un miliampermetru, a observat că atunci când filamentul era alimentat cu curent și devenea incandescent, aparatul de măsurat indica prezența unui curent. Totul se petrecea deci ca și când în interiorul becului s-ar fi stabilit un contact direct invizibil între placă și filament care permitea scurgerea electronilor. În cinstea descoperitorului, acest fenomen a fost denumit efectul Edison. Primul care și-a dat seama de importanța observației a fost savantul englez John Ambrose Fleming.

El a constatat că electronii emiși prin încălzirea catodului se împrăștie în spațiul catod-anod constituind sarcina spațială.

Aplicând între anod și catod tensiune pozitivă, electronii se deplasează de la catod la anod, făcând să circule prin diodă un curent electric, schimbând polaritatea tensiunii aplicate, curentul electric încetează de a mai exista deoarece între anod și catod se crează un câmp electric care frânează electronii în mișcare obligându-i să se întoarcă spre catod.

Rezultă așa dar că dioda se comportă ca un element conducător de curent electric atunci când între anod și

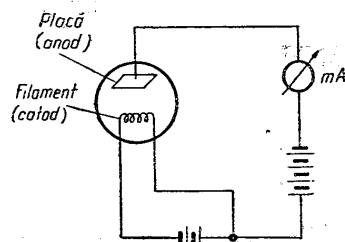


Fig. 1. Experimentarea efectului Edison.

catod se aplică o tensiune pozitivă și ca un element ce întrerupe un circuit electric, dacă tensiunea este negativă.

Simbolic cele două situații le putem asemăna cu un comutator închis sau cu un comutator deschis situat între anod și catod.

După 1948 dispozitivele electronice au început să fie realizate prin cristale semiconductoare din siliciu și germaniu care au proprietăți determinate de forțele care acționează între electroni și nucleele atomice.

Dioda se realizează dintr-un material semiconductor impurificat în mod intenționat, format din două regiuni distincte una de alta prin natura impurităților.

În termeni de specialitate cele două regiuni sînt numite: regiunea de tip  $p$ , cea care este dopată cu impurități numite acceptoare și regiunea de tip  $n$ , cea care este dopată cu impurități numite donoare.



Cele două regiuni formează împreună o joncțiune  $pn$ . Dioda semiconductoare reprezintă în esență joncțiuni  $pn$ .

Simbolul diodei semiconductoare este prezentat în fig. 2a. și caracteristica ideală statică  $I = f(U)$  în fig. 2b.

Se constată că dioda conduce curentul electric, dacă polul pozitiv al unei surse de tensiune electrice  $U_a$  este conectat la regiunea  $p$  și polul negativ la regiunea  $n$  (altfel spus se comportă ca un scurtcircuit) și nu conduce curentul electric dacă polul pozitiv este conectat la regiunea  $n$ , iar polul negativ la regiunea  $p$  (altfel spus se comportă ca un circuit deschis).

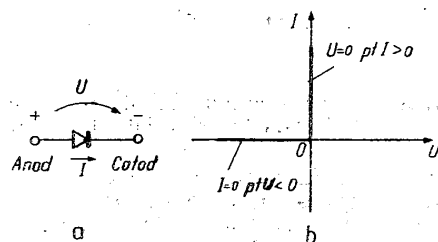


Fig. 2. a. Simbolul diodei; b. Caracteristica  $I-U$  a diodei ideale

Analiza comportării electrice statice a diodelor cu joncțiuni se poate rezuma la ecuația:

$$I_a = I_{sat} \left( \exp \frac{eU_a}{kT} - 1 \right) \text{ unde } \frac{e}{kT} = 0,04 \text{ S/mA}$$

unde  $e$  — este sarcina electronului  
 $k$  — constanta lui Boltzman  
 $T$  — temperatura absolută [ $^{\circ}\text{K}$ ]

Caracteristica statică  $I_a - U_a$  este prezentată în fig. 3

În conducție directă:  $\exp \frac{eU_a}{kT} \gg 1$  și  $I_a = I_{sat} \exp \frac{eU_a}{kT}$

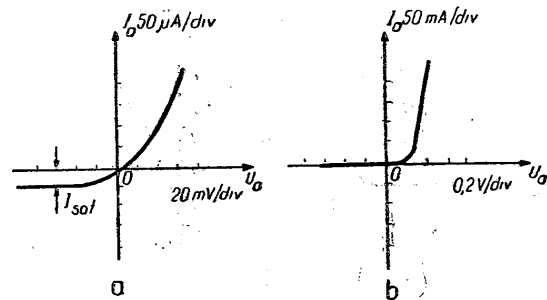


Fig. 3. Caracteristica statică  $I-U$  a unei diode cu joncțiuni: a. comportarea în jurul lui  $U=0$ ; b. caracteristica completă a diodei

În conducție inversă:  $|U_a| \gg \frac{kT}{e}$   $U_a < 0$   $\exp \frac{eU_a}{kT} \ll 1$   
 $I_a = -I_{sat}$

Caracteristica curent-tensiune ridicată experimental pentru o diodă diferă de caracteristica dată de ecuația de mai sus.

Se constată că în regim de conducție inversă apar două regiuni: regiunea II, unde curentul prin joncțiune are o creștere ușoară cu modulul tensiunii aplicate și regiunea I în care curentul crește brusc cu tensiunea inversă (fig. 4). În regim de conducție directă se observă că apar patru regiuni: regiunea III în care curentul are o variație de forma:

$$I_a = \exp \frac{eU_a}{\xi kT} \text{ unde } \xi = 1 \dots 2$$

regiunea IV în care curentul are o variație de forma  $I_a \approx U_a^2$  regiunea V în care curentul are o variație de forma  $I_a = \exp \frac{eU_a}{ckT}$  unde  $c$  este o constantă și regiunea VI în care curentul variază liniar cu tensiunea și este limitat de rezistența de sarcină. Caracteristica statică în conducție directă la scară logaritmică (pe axa curenților) este dată în fig. 5.

În regiunea I numită regiunea de străpungere creșterea importantă a curentului apare datorită efectului Zener

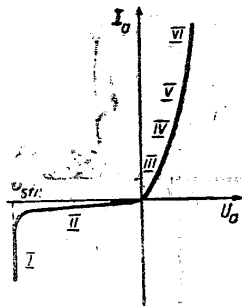


Fig. 4. Caracteristica experimentală a unei joncțiuni pn.

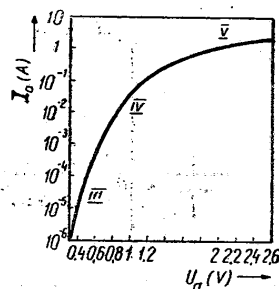


Fig. 5. Caracteristica statică experimentală la scară logaritmică a unei joncțiuni pn în cazul polarizării directe

și a efectului multiplicării prin avalanșă a purtătorilor de sarcină. Se constată că la creșterea temperaturii curentul invers prin joncțiune crește foarte puternic. În cazul când prin joncțiune trece un curent direct constant tensiunea pe aceasta scade dacă temperatura crește. (fig. 6).

Pentru joncțiunile realizate din germaniu, curentul se dublează la fiecare 7,5°C, iar pentru cele din siliciu la fiecare 6,5°C.

În cazul siliciului deși variația cu temperatura este mai pronunțată, caracteristica curent-tensiune a joncțiunii corespunzătoare suferă o variație cu temperatura mult mai mică decât în cazul germaniului, deoarece curentul invers este mult mai mic la joncțiunile realizate din siliciu.

Există diode la care se garantează un curent invers scăzut-diodele picoamperice.

Diodele sînt folosite în diverse circuite electronice în diverse regimuri de funcționare, în funcție de care primează diferiți parametri ai lor.

De aceea au apărut diferite tipuri de diode semiconductoare la fabricația cărora s-a realizat optimizarea unora sau altora dintre parametri.

Aceste tipuri sînt:

- diode redresoare
- diode stabilizatoare de tensiune (diode Zener)
- diode de impulsuri (diode de comutație)
- diode detectoare
- diode parametrice (diode Varicap)
- diode tunel
- diode IMPATT
- diode cu bază dublă (tranzistoare unijoncțiune)
- diode controlate (tiristoare)
- fotodiode
- diode electroluminescente (LED-uri)

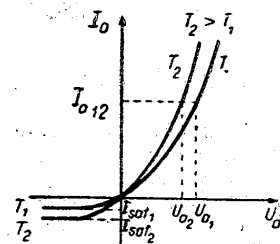


Fig. 6. Caracteristica statică a unei joncțiuni pn pentru două temperaturi diferite  $T_2 > T_1$ .

## 1. DIODELE REDRESOARE

Diodele redresoare sînt diodele folosite în procesul de redresare.

Redresarea este transformarea energiei electrice de curent alternativ în energie electrică de curent continuu, prin blocarea alternanțelor de un anumit sens ale tensiunii alternative, cu ajutorul elementelor de circuit cu efect de ventil (elemente care permit conducția numai într-un anumit sens). Redresarea se referă la trecerea directă dintr-o formă de energie electrică în alta, fără a se folosi ca formă intermediară, energia mecanică.

Instalațiile care transformă energia electrică de curent alternativ în energie electrică de curent continuu sînt redresoarele. Ele se clasifică în redresoare electronice, redresoare ionice și redresoare mecanice.

Redresoarele electronice folosesc efectul de redresare dat de emisiunea termoelectronică a unui catod cald (dioda cu vid) sau efectul de redresare care apare la joncțiunea unui semiconductor de tip *n* cu unul de tip *p* (dioda semiconductoră redresoare).

Diodele redresoare lucrează, într-un domeniu restrîns de frecvențe de lucru, în general în jurul frecvenței rețelei electrice de 50 Hz. În redresoarele speciale, diodele folosite sînt capabile a redresa tensiuni alternative cu frecvențe pînă la 10 – 20 kHz.

Parametrii care caracterizează diodele redresoare semiconductoră sînt:

- domeniul frecvențelor de lucru
- curentul maxim admisibil în regim de conducție directă
- tensiunea inversă maximă admisibilă
- puterea disipată maximă admisibilă
- domeniul temperaturilor de lucru
- tensiunea pe diodă în conducție directă
- temperatura maximă admisă a joncțiunii  $T_{j,max}$  (°C).
- rezistența termică joncțiune — capsulă  $R_{thj-c}$  (°C/W)

Unele redresoare lucrează la tensiuni și curenți mari care depășesc valorile limită absolută ale parametrilor diodelor redresoare de aceea se obișnuiește ca acestea să se lege în serie (fig. 7) și (sau) paralel (fig. 8).

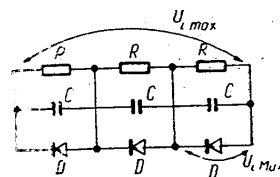


Fig. 7. Legarea în serie a diodelor

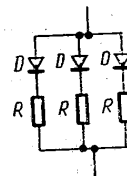


Fig. 8. Legarea în paralel a diodelor

În cazul legării în serie rezistențele sînt necesare pentru egalizarea tensiunilor pe diode în perioada de blocare iar condensatorii sînt necesari pentru egalizarea tensiunilor pe diode, în momentul aplicării tensiunii inverse. (sau la apariția unei supratensiuni de scurtă durată) căci dacă una din diode s-ar bloca mai repede, ea ar putea prelua tensiunea inversă totală.

În cazul legării în paralel rezistențele *R* sînt necesare pentru egalizarea curenților în timpul conducției.

În fig. 9 se arată o schemă de redresor în punte cu diode înseriate prevăzute cu grupuri RC de protecție a lor la supratensiuni ciclice. [2].

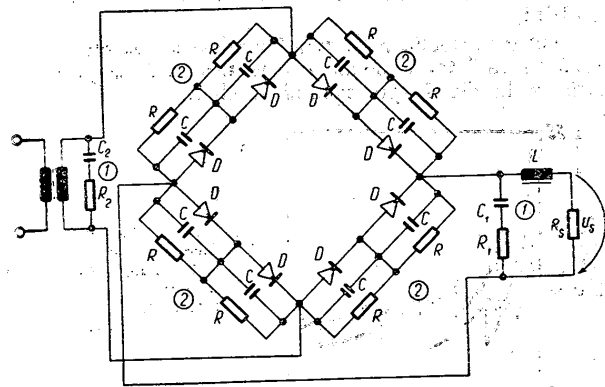


Fig. 9. Schema unui redresor monofazat în punte prevăzut cu circuite de protecție contra supratensiunilor



În plus schema mai prezintă grupul  $R_1C_1$  de protecție la supratensiuni la întreruperea curentului, de sarcină și grupul  $R_2C_2$  pentru reducerea supratensiunilor datorate conectării redresorului la rețea când sarcina este deconectată. [1].

Diodele redresoare de putere (cu siliciu) au curenți nominali mai mari de 20 A (până la mii de amperi) și tensiuni inverse admisibile până la 2000 V, căderea de tensiune pe ventil în sens de conducție este de 1...2 V.

Prin conectarea diodelor în serie (pentru a putea prelua tensiuni inverse mari) și în paralel (pentru mărirea curentului redresat) puterea redresoarelor cu diode de siliciu poate atinge valori de ordinul megawaților (surse de curent continuu pentru electroliză, redresoare pentru tranșciunea electrică etc.).

În redresoarele de putere în timpul procesului de redresare pe diodele redresoare au loc pierderi de putere prezentate grafic în fig. 10 pentru tensiuni mai mari de 100 V. Ele sînt în medie de 8 W/kW pentru diodele cu germaniu (diagrama 1) și de 4-5 W/kW pentru diodele cu siliciu (diagrama 2).

Pierderile de putere pe diodele redresoare duc la încălzirea acestora și chiar la deteriorarea lor (datorită supraîncălzirii).

Pentru protecția lor termică diodele de putere se montează pe radiatoare metalice care ușurează disiparea căldurii de la diodă spre mediul ambiant.

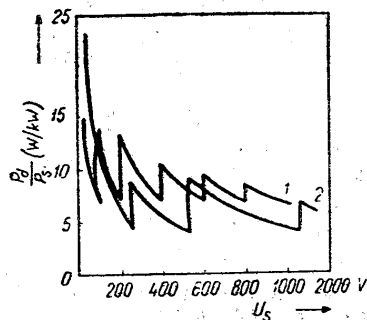
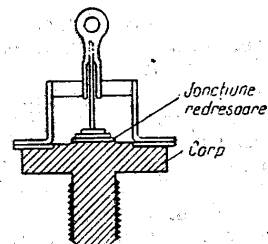


Fig. 10. Pierderile introduse de diodele cu Ge și Si în instalațiile de redresare — 1 — diode cu germaniu; 2 — diode cu siliciu.

Fig. 11. Secțiune printr-o diodă de putere



Desenul unei diode de putere construită pentru a putea fi montată pe un radiator metalic este prezentat în fig. 11.

Puterea disipată maximă admisibilă pe diode este dată de relația:

$$P_{da} = \frac{T_{jmax} - T_{amb}}{R_{thj-amb}}$$

unde:

$T_{jmax}$  este temperatura maximă admisă a joncțiunii (°C).

$T_{amb}$  este temperatura maximă a mediului ambiant (°C).

$R_{thj-amb}$  este rezistența termică joncțiune — mediu ambiant (°C/W).

Rezistența termică joncțiune — mediu ambiant este raportul dintre diferența de temperatură între joncțiune și mediu ambiant și puterea disipată în condiții de echilibru termic.

$$R_{thj-amb} = R_{thj-c} + R_{thc-r} + R_{thr-amb} + R_{thamb} = R_{thj-c} + R_{thc-a}$$

$R_{thj-c}$  (°C/W) — rezistența termică joncțiune capsulă este raportul dintre diferența de temperatură între joncțiune și capsulă și puterea disipată în condiții de echilibru termic (este dată în cataloage).

$R_{thc-r}$  (°C/W) — rezistența termică capsulă — radiator este raportul dintre diferența de temperatură între capsulă și radiator și puterea disipată în condiții de echilibru termic; ea depinde de finisarea suprafețelor și de presiunea radiatorului pe capsulă. În calcul se ia de aproximativ 1°C/W.

$R_{thr-amb}$  (°C/W) — rezistența termică radiator — mediu ambiant este raportul dintre diferența de temperatură

între radiator și mediu ambiant (considerat în imediată vecinătate a radiatorului) și puterea disipată în condiții de echilibru termic.

$R_{th\text{-}amb}$  ( $^{\circ}\text{C}/\text{W}$ ) — rezistența termică a mediului ambiant este raportul dintre diferența de temperatură între imediată vecinătate a radiatorului și o regiune suficient de depărtată care se află la temperatura dată a mediului ambiant și puterea disipată în condiții de echilibru termic; depinde atât de dimensiunile radiatorului cât și de faptul dacă aerul se află sau nu în mișcare.

În unele cazuri (la redresoare mari) se utilizează și răcirea forțată (prin ventilație).

$R_{th\text{-}c}$  depinde de construcția diodei și nu poate fi modificată.

$R_{th\text{-}a}$  poate fi micșorată folosind radiatoare cu suprafața mai mare.

Relația dintre  $R_{th\text{-}a}$  și suprafața radiatorului este:

$$R_{th\text{-}a} = \frac{1}{a_R S} \quad (^{\circ}\text{C}/\text{mW})$$

$S$  = suprafața radiatorului în  $\text{cm}^2$

$a_R$  = o constantă egală cu  $1,5 \text{ mW}/\text{cm}^2\text{C}$ .

Suprafața radiatorului se poate deduce și din curbele figurii 12 în funcție de  $R_{th\text{-}a}$

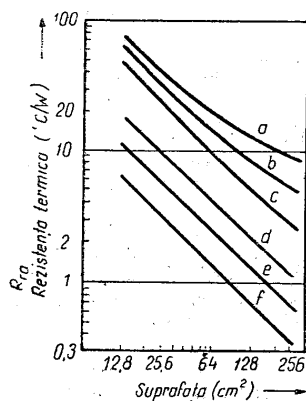


Fig. 12. Influența răcirii forțate asupra rezistenței termice a radiatorului.

— rezistența termică pentru radiator de cupru înnegrit la  $T_{amb} = 30^{\circ}\text{C}$ ;  $T_{sr} = 100^{\circ}\text{C}$ ;  $a = 0,24 \text{ mm}$  grosime;  $b = 0,76 \text{ mm}$  grosime;  $c = 2,08 \text{ mm}$  grosime.

— rezistența termică a unui radiator de cupru cu grosime  $2,08 \text{ mm}$  cu răcire forțată la  $T_{amb} = 30^{\circ}\text{C}$   $T_{sr} = 100^{\circ}\text{C}$ .  $d = 152 \text{ m/min}$ ;  $e = 305 \text{ m/min}$   $f = 610 \text{ m/min}$ .

În fig. 12 curbele  $a$ ,  $b$ ,  $c$  sînt pentru un radiator de Cu înnegrit, iar curbele  $d$ ,  $e$ ,  $f$  pentru un radiator de cupru cu răcire forțată.

În funcționare diodele redresoare sînt supuse la suprasolicități datorită unor impulsuri de diferite amplitudini și durate (fig. 13).

În fig. 13  $I_D$  reprezintă curentul mediu prin dioda în funcțiune,  $I_{DMax}$  reprezintă curentul mediu pentru care a fost dimensionat radiatorul,  $I_{Dimp}$  este supra-curentul prin diodă și  $t_k$  este durata suprasolicității.

Diodele admit suprasolicități pînă la o limită determinată de dimensionarea radiatorului și de mărimea suprasolicității. Suprasolicitățile admise de diode sînt arătate în fig. 14 unde:

$$\gamma = \frac{I_{DMax}}{I_D} \quad K = \frac{I_{Dimp}}{I_D}$$

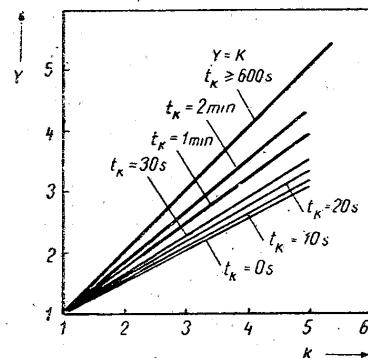


Fig. 14. Suprasolicitățile admise de diode în funcție de dimensionarea radiatorului și de mărimea suprasolicității ( $k$  și  $t_k$ ).

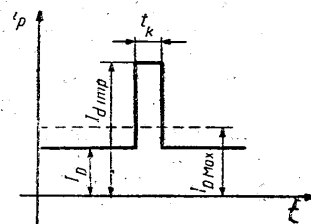


Fig. 13. Parametrii impulsului de suprasolicitare în curent a unei diode.

În stare de blocare, dioda prezintă rezistență electrică maximă la trecerea curentului. Curentul care parcurge dioda pe porțiunea de blocare a caracteristicii  $I-U$ , denumit curent invers sau rezidual  $I_R$  este foarte mic (nA până la  $\mu A$ ) dar puternic dependent de temperatură.

Prin creșterea tensiunii aplicate invers  $U_R$ , cîmpul electric maxim din dreptul joncțiunii  $p-n$  atinge o valoare critică peste care curentul rezidual crește brusc datorită multiplicării în avalanșă a purtătorilor, de sarcină. Valoarea tensiunii la care se produce creșterea rapidă a curentului invers  $i_R$  este denumită tensiune de avalanșă sau străpungere. În gama  $200 \div 1\,000$  V a tensiunilor de avalanșă  $U_{RA}$ , diode special construite și testate, denumite în avalanșă controlată, pot suporta pentru un timp scurt impulsuri de putere ridicată în avalanșă, ceea ce le recomandă în circuitele de redresare funcționînd pe sarcină inductivă sau ca limitatoare de supratensiune.

Diodele redresoare, obișnuite nu suportă intrarea în avalanșă nici pentru timp scurt; funcționarea lor trebuie limitată numai pînă la tensiunile de blocare maxime recomandate în cataloage.

Diodele redresoare normale (obișnuite) sînt marcate cu literă  $N$ , cele rapide cu  $R$  și cele cu avalanșă controlată cu  $A$ .

Instalațiile de redresare cuprind de regulă, transformatoare de alimentare cu rolul de a adapta tensiunea de intrare la valoarea necesară tensiunii de ieșire și de a micșora curenții de scurtcircuit, elemente de redresare (diodă, tiristoare) elemente de protecție ultrarapide (siguranțe fuzibile, întrerupătoare, scurtcircuitoare, separatoare) elemente de filtrare.

Schemele de redresare determină în mare măsură, solicitarea elementelor redresoare (diodă sau tiristoare) la curent direct și tensiune inversă, ondulația tensiunii redresate, puterea transformatorului de alimentare, caracteristica exterioară a redresorului (tensiune - curent de sarcină) și efectele asupra rețelei de alimentare (factorul de putere și regimul deformant). Dacă tensiunea de ieșire a redresorului este determinată numai de tensiunea alternativă de la intrare, redresoarele se numesc necomandate, fiind realizate cu ajutorul diodelor redresoare (ventile necomandate); dacă valoarea tensiunii redresate se poate

modifica cu ajutorul unor ventile comandabile (tiratroane ignitroane, tiristoare) redresoarele se numesc comandate.

După numărul de faze ale tensiunii alternative de alimentare, redresoarele se împart în redresoare monofazate, redresoare trifazate sau redresoare polifazate (cel mai frecvent hexafazate sau dodecafazate - 12 faze).

După numărul alternanțelor redresate, redresoarele pot să fie monoalternanță sau bilaternanță cu punct neutru sau în punte.

La schemele cu punct neutru în monofazat, priză mediană, în serie cu sarcina se află o singură diodă (redresoare), la cele în punte în permanență se află două diode (redresoare) în serie, ceea ce face ca pierderea de tensiune pe redresor să fie dublă. În schimb solicitarea diodelor la tensiune inversă este mai mică, iar utilizarea transformatoarelor mai bună, la schemele în punte.

La redresorul monofazat monoalternanță dioda conduce numai în decursul alternanței pozitive (fig. 15 a). Tensiunea redresată are întreruperi și un mare conținut de armonici superioare.

Redresorul monofazat bialternanță cu priză mediană (fig. 15 b.) poate fi considerat ca două redresoare monoalternanță conectate în paralel, avînd tensiunile de alimentare defazate cu  $180^\circ$ .

Într-o alternanță conduce dioda 1, în alternanța următoare dioda 2. Tensiunea redresată constă dintr-o succesiune de alternanțe pozitive. Redresorul trifazat cu punct

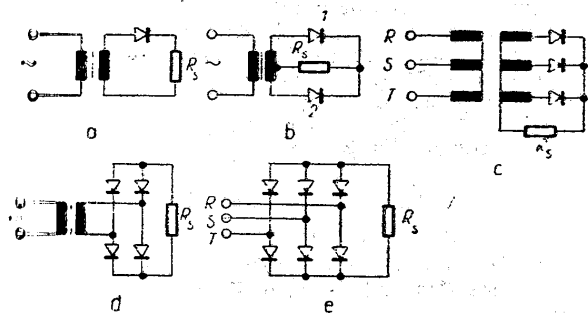


Fig. 15. Redresoare monofazate: a. monalternanță b. bialternanță c. stea; d. monofazat în punte; e. trifazat în punte

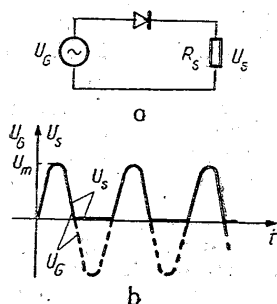


Fig. 16. Redresor monoalternanță; a. circuit; b. tensiune de intrare și ieșire.

diodei redresoare este bine a relua ceva mai detaliat redresoarele monofazice.

Cea mai simplă formă de circuit practic de conversie a tensiunii alternative în tensiune continuă folosind diode redresoare este redresorul monoalternanță (fig. 16. a.)

Funcționarea sa cu o tensiune de intrare sinusoidală este ilustrată în fig. 16. b.

Când tensiunea sinusoidală a sursei este pozitivă, dioda conduce iar tensiunea la bornele sarcinii este egală cu tensiunea sursei (se neglijează căderea de tensiune pe diode). Când tensiunea sursei este negativă, dioda este blocată, iar tensiunea de la bornele sarcinii este zero.

Astfel, tensiunea în sarcină urmărește tensiunea de intrare pe o jumătate a perioadei și este zero pe cealaltă jumătate a perioadei. Componenta continuă a tensiunii de sarcină este valoarea medie a formei de undă trasate cu linie continuă din fig. 16. b. și anume

$$U_{cc} = \frac{U_m}{2\pi} \int_0^\pi \sin \theta d\theta = \frac{U_m}{\pi}$$

unde  $U_m$  este valoarea de vîrf a tensiunii alternative de la intrare. Curentul continuu din rezistorul de sarcină  $R_s$  este:

$$I_{cc} = \frac{U_m}{\pi R_s}$$

neutru, cu conexiune stea, este prezentat în fig. 15. c. Tensiunea redresată este o tensiune continuă cu trei pulsații pe perioadă.

Redresorul monofazat în punte (fig. 15. d) poate fi considerat ca fiind alcătuit din două redresoare cu priză mediană înseriate.

Redresorul trifazat în punte (fig. 15. e.) poate fi considerat ca fiind obținut prin înserierea a două redresoare cu punct neutru (în stea) defazate cu un unghi de  $60^\circ$ .

În încheierea prezentării

Dioda redresoare va fi aleasă astfel ca să suporte un curent direct continuu  $I_{cc}$  și o tensiune inversă  $U_m$ , deoarece cînd este blocată, tensiunea sursei se aplică pe ea. Redresorul monoalternanță dă o tensiune de ieșire cu o componentă apreciabilă de curent alternativ de același ordin de mărime cu componenta dorită de curent continuu. Un circuit ceva mai complicat, numit redresor dublă alternanță (fig. 17. a) dublează componenta continuă a tensiunii de ieșire, fără a crește excursia vîrf - vîrf a componentei alternative. Transformatorul din acest circuit necesită o priză mediană astfel că  $U_2(t) = -U_1(t)$ .

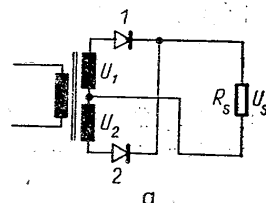
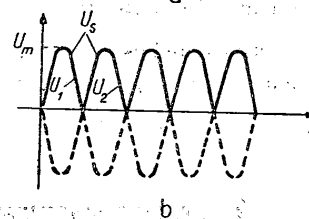


Fig. 17. Redresor dublă alternanță cu transformator cu priză mediană: a. circuit; b. forma de undă.



Cînd  $U_1$  este pozitivă conduce dioda 1 iar tensiunea de ieșire urmărește  $U_1$ ; cînd  $U_1$  este negativă și  $U_2$  este pozitivă conduce dioda 2 iar tensiunea de ieșire urmărește  $U_2$ .

Componenta de curent continuu a curentului din rezistorul de sarcină este de două ori mai mare decît la un redresor monoalternanță care lucrează cu aceeași tensiune de intrare alternativă și același rezistor de sarcină:

$$I_{cc} = \frac{2U_m}{\pi R_s}$$

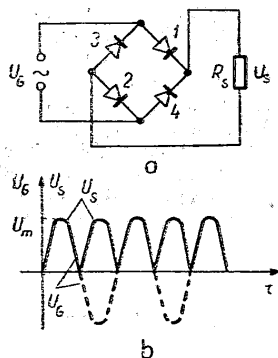


Fig. 18. Redresor dublă alternanță în punte: a. circuit; b. tensiuni de intrare și ieșire.

Curentul din rezistorul de sarcină este  $I_{CC} = \frac{2U_m}{\pi R_s}$

Diodele redresoare trebuie să suporte un curent continuu direct  $\frac{1}{2} I_{CC}$  și o tensiune inversă  $U_m$ .

## 2. DIODELE STABILIZATOARE DE TENSIUNE (DIODELE ZENER)

Simbolul lor este prezentat în fig. 19

Diodele stabilizatoare de tensiune (cunoscute și sub numele de „diode Zener” sau „diode cu străpungere”), sînt diodele care lucrează în domeniul tensiunilor inverse în regiunea de străpungere I (fig. 4), pentru care curentul prezintă o creștere bruscă (fig. 20). La aceste diode regiunea de străpungere este nedistructivă.

În consecință ele se utilizează în circuitele electronice exclusiv polarizate invers ca surse de tensiune constantă.

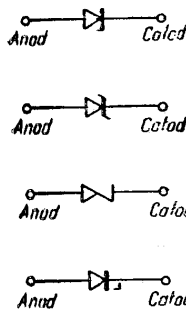


Fig. 19. Simboluri ale diodei Zener.

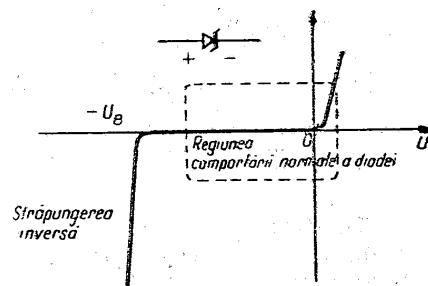


Fig. 20. Străpungerea inversă într-o diodă.

S-au construit diode cu o tensiune de stabilizare între 3,5 și 200 V avînd o putere de la 250 mW la 50 W.

Tensiunea de stabilizare crește cu rezistivitatea semiconductorului utilizat (de regulă siliciul).

Parametrii care caracterizează diodele stabilizatoare sînt:

- tensiunea nominală de stabilizare  $U_z$
- rezistența dinamică în regiunea de stabilizare  $r_z$ , se calculează pentru un curent  $I_z$  specificat.

$$r_z = \frac{\Delta U_z}{\Delta I_z}$$

- coeficientul de calitate  $Q = \frac{\Delta U_z}{U_z} / \frac{\Delta I_z}{I_z}$
- curentul de control al tensiunii  $U_z \rightarrow I_z$
- coeficientul de temperatură al tensiunii de stabilizare:

$$\alpha_{U_z} = \frac{\Delta U_z}{\Delta T} \cdot \frac{1}{U_z} [\%/^{\circ}\text{C sau } 10^{-4}/^{\circ}\text{C}]$$

variază între 0,07 și 0,37%/°C.

- curentul maxim de stabilizare direct continuu  $I_{zM}$
- domeniul de temperatură de lucru
- puterea maximă disipată  $P_{max}$

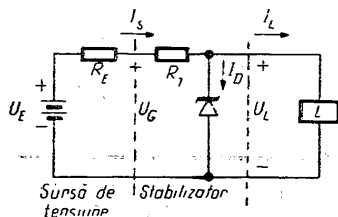


Fig. 21. Dioda cu străpungere utilizată ca stabilizator de tensiune.

Este bine ca  $r_z$  și  $\alpha_{U_z}$  să fie cât mai mici.

Diodele cu străpungere pot fi utilizate ca simple stabilizatoare de tensiune pentru surse. Se știe că tensiunea (de la ieșire) continuă a unui redresor scade cînd curentul din sarcină crește.

Această dependență poate fi redusă prin utilizarea unei diode cu străpungere așa cum se arată în fig. 21.

În acest circuit sursa de alimentare este reprezentată prin circuitul echivalent Thevenin conținînd  $U_E$  și  $R_E$ . Stabilizatorul constă din dioda cu străpungere și rezistorul serie  $R_L$ .

Diodele cu străpungere sînt de asemenea folosite ca limitatoare de tensiune și formatoare de semnal precum și în circuite de protecții.

### 3. DIODELE DE IMPULSURI (DIODELE DE COMUTAȚIE)

Diodele de impulsuri sînt diodele special construite pentru a lucra în regim de comutație. Capacitatea lor electrică, prin construcție este foarte mică.

Caracteristica unei diode de impulsuri nu se deosebește cu nimic de caracteristica generală a unei diode.

Alături de caracteristica curent tensiune la diodele de impulsuri în cataloage se prezintă variația capacității joncțiunii  $p-n$  cu tensiunea inversă.

Diodele semiconductoare în regim de comutație sînt caracterizate prin a) valoarea statică a rezistențelor în sens direct (de dorit cât mai mică) și în sens invers (de

dorit cât mai mare); b) parametrii proceselor tranzitorii de comutație și anume timpul de comutare directă  $t_d$  (de la starea de blocare la starea de conducție), și timpul de comutare inversă  $t_{inv}$  (de la starea de conducție la starea de blocare).

Viteza de lucru a schemelor de comutație cu diode este limitată de timpul de comutare invers, care este relativ mare ( $50 \mu s$  la tipurile de diode obișnuite și pînă la  $1 \mu s$  la diodele speciale de comutație dopate cu aur).

Acest timp de comutare invers se compune din timpul de revenire,  $t_{rev}$  în care are loc (la tensiune constantă  $U_D$ ) eliminarea sarcinilor acumulate în joncțiune și timpul de cădere  $t_c$  — comparabil cu timpul de comutare directă  $t_d$  și deci mult mai mic decît  $t_{rev}$  (fig. 22).

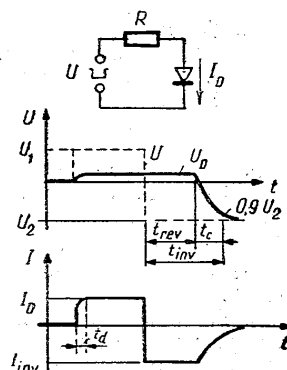


Fig. 22. Variația tensiunii și curentului la bornele unei diode în timpul procesului de comutare.

$$t_d = 1 \mu s \div 20 \mu s$$

$$t_{inv} = t_{rev} + t_c = (50 + 1 \mu s) + (\sim 20 \mu s)$$

$$I_D = \frac{U_1 - U_D}{R} \quad I_{inv} = \frac{U_2 - U_D}{R}$$

$$t_{rev} = \tau_p \ln \left( 1 + \frac{I_D}{I_{inv}} \right)$$

Se notat:

$\tau_p$  — durată de viață a purtătorilor de sarcină minoritari.

Pentru realizarea unor scheme cu viteză de comutare ridicată se recomandă pentru proiectare următoarele:

- durata impulsului de curent de comandă a conexării în sens direct să fie cât mai mică.
- amplitudinea impulsului de curent de comandă a comutării în sens invers să fie cât mai mare.
- impedanța circuitului extern diodei să fie cât mai mică.
- temperatura mediului ambiant să fie cât mai scăzută.

Măsurători experimentale arată că nu se pot stabili legături generale între parametrii statici și timpii de comutare ai diodelor.

Comportarea în regim tranzitoriu a diodei se determină mai corect prin măsurători în scheme de lucru.

Cei mai importanți parametri legați de regimul de comutație sînt:

- capacitatea joncțiunii la polarizare nulă.
- capacitatea joncțiunii în regim de conducție inversă.
- timpul de comutație inversă.
- sarcina acumulată în regim de conducție directă.

Este bine de amintit aici că se pot realiza diode cu timpi de comutație de valori foarte mici, 1 ns (diode Schottky) dacă la construcția lor se folosește joncțiunea metal — semiconductor care are un comportament similar celui al joncțiunii  $p_n$ ; aceste diode se folosesc și în domeniul frecvențelor foarte înalte (GHz) și în redresoare de eficiență ridicată.

În fig. 23 a se arată un exemplu de folosire a diodelor de impulsuri într-un circuit logic SAU iar în fig. 23 b. într-un circuit logic SI. Aceste circuite logice sînt larg folosite în aparatele electronice numerice (de exemplu în calculatoarele electronice).

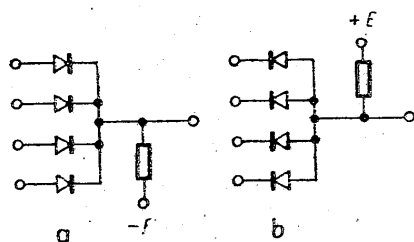


Fig. 23. Circuite logice cu două nivele, cu diode (logica pozitivă): a. circuit SAU; b. circuit SI.

Diodele de comutație sînt comutate în direct sau în invers chiar de semnalul care trebuie „prelucrat”. Mai există și „diode pentru comutare electronică” care sînt „deschise” și „închise” cu ajutorul unei tensiuni continue, permițînd, sau nu, trecerea semnalului alternativ. În fig. 24 se dă un exemplu de folosire a lor în dispozitivul de permutare a liniilor în televizorul color.

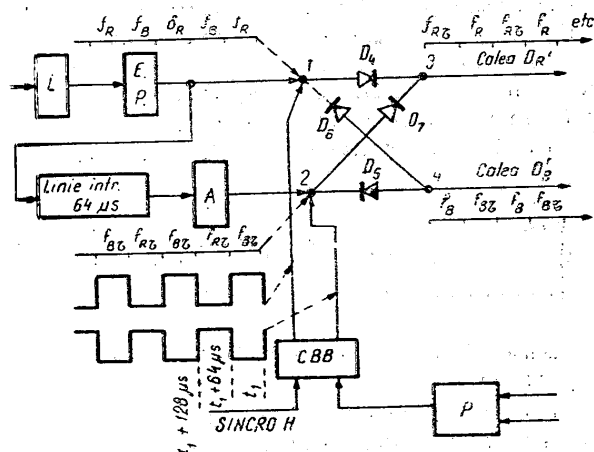


Fig. 24. Schema comutatorului electronic (dispozitivul de permutare a liniilor) în televiziunea color.

#### 4. DIODELE DETECTOARE

Diodele detectoare sînt destinate să lucreze în gama micilor metrice, decimetrice și, chiar centimetrice în scheme de conversie a frecvenței (diode amestecătoare) și de demodulare a semnalelor de radio și videofrecvență.

Detectia este o funcție asemănătoare redresării cu diferența că semnalele prelucrate nu mai au frecvențe de ordinul 50 Hz — 20 kHz, ci se situează de regulă în domeniul sute kHz-sute MHz.

Aceste diode au puteri disipate foarte reduse (nesemnificative) iar capacitățile asociate joncțiunii  $pn$  trebuie să fie — la asemenea frecvențe — foarte mici.

În consecință la construcția acestor diode s-au adoptat soluții specifice domeniului frecvențelor înalte de lucru, în scopul realizării unor capacități și inductanțe parazite cât mai mici, prin realizarea unor structuri cu suprafețe cât mai mici și pentru a permite introducerea diodelor direct în unele subansamble componente ale instalațiilor (camere rezonante, fidere coaxiale, etc).

Caracteristica curent-tensiune a acestor diode nu se deosebește cu nimic de caracteristica diodelor redresoare.

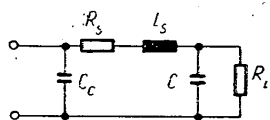


Fig. 25. Schema echivalentă a unei diode de înaltă frecvență

Schema echivalentă a unei diode detectoare este dată în fig. 25 unde:

$R_i$  este rezistența internă a joncțiunii;  $C$  — capacitatea joncțiunii;  $R_s$  — rezistența serie a joncțiunii;  $L_s$  — inductanța serie a joncțiunii;  $C_c$  — capacitatea intrinsecă a diodei.

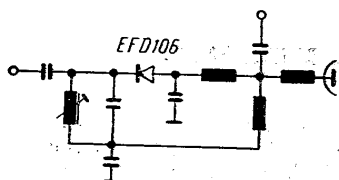


Fig. 26. Schema detectorului video din televizorul Electra

În fig. 26 se arată schema detectorului video dintr-un televizor. Dioda EFD-106 este o diodă de detecție a semnalului video.

## 5. DIODELE PARAMETRICE (DIODELE VARICAP)

Simbolul lor este prezentat în fig. 27

Anod Catod

Anod Catod

Anod Catod

Fig. 27. Simbolul diodei varicap

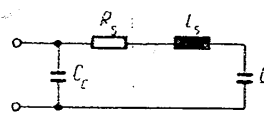


Fig. 28. Schema echivalentă a diodei parametrice

Schema echivalentă a diodei parametrice este prezentată în fig. 28 unde:  $R_s$  este rezistența serie echivalentă;  $C_c$  — capacitatea intrinsecă a diodei;  $L_s$  — inductanța serie echivalentă;  $C$  — capacitatea variabilă a joncțiunii.

Diodele parametrice sau varicap sînt diodele care, polarizate invers, prezintă o capacitate a joncțiunii  $pn$  variabilă cu parametrul de funcționare.

Capacitatea acestor diode se poate varia comod prin modificarea tensiunii inverse aplicate  $U_R$ .

Variația capacității joncțiunii cu tensiunea aplicată  $U_R$  este dată de expresia:

$$C = \frac{C_0}{\sqrt{1 - \frac{U_R}{U_T}}} \quad \text{unde } U_T = \frac{KT}{e}$$

pentru cazul joncțiunii  $pn$  abrupte. În general, joncțiunile diferă practic de joncțiunile abrupte. În acest caz capacitatea variază după o lege de forma:

$$C \sim \frac{1}{\sqrt[n]{U_R - U_T}}$$

În fig. 29 se prezintă comportarea diodei varicap BA102.

Parametrii specifici diodelor parametrice sînt:

- domeniul tensiunilor pentru care dioda are o capacitate variabilă;
- capacitatea joncțiunii la polarizare nulă  $C_{max}$ ;



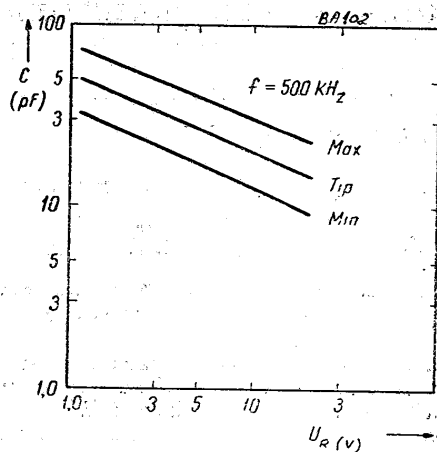


Fig. 29. Variația capacității cu tensiunea inversă pentru dioda BA 102

- capacitatea joncțiunii la tensiune maximă inversă  $C_{min}$ ;
- capacitatea intrinsecă a diodei  $C_s$ ;
- inductanța serie echivalentă  $L_s$ ;
- rezistența serie echivalentă  $R_s$ ;
- frecvența de tăiere, definită ca frecvența la care factorul de calitate al diodei devine egal cu unitatea, capacitatea barierei avind valoarea minimă corespunzătoare tensiunii inverse maxime.  $f_o = \frac{1}{2\pi R_s C_{min}}$

Diodele cu capacitate variabilă se folosesc drept condensatoare cu capacitate variabilă pe cale electrică, în construcția circuitelor oscilante (acordate), filtrelor etc. Pentru a putea obține o variație maximă a capacității (la o variație dată a tensiunii inverse) se realizează joncțiuni  $pn$  cu profil hiperabrupt al concentrației de impurități.

Diodele cu joncțiuni hiperabrupte, numite *diodă de acord* sînt folosite pentru acordul fără comutare a întregii game de frecvențe în TV, UHF sau VHF precum și a radio-receptoarelor pentru unde medii.

## 6. DIODELE TUNEL ȘI IMPATT

Simbolul diodelor tunel este prezentat în fig. 30.

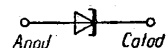
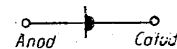


Fig. 30. Simbolurile diodei tunel



La joncțiuni foarte puternic impurificate în ambele regiuni  $p^{++}n^{++}$  (mai mult de  $10^{19}$  atomi de impurități/cm<sup>3</sup>) efectul Zener poate să apară la tensiuni inverse foarte mici, inclusiv la polarizare nulă. O diodă la care apare străpungerea prin efect Zener la tensiunea zero va suporta curenți inverși mari la tensiune inversă și va reveni treptat la comportarea normală cînd tensiunea devine pozitivă (fig. 31.) O tensiune în sens direct de una două zecimi de volt poate fi suficientă pentru a elimina mecanismul de străpungere Zener și pentru a reduce curentul prin joncțiune. Creșterea mai departe a tensiunii directe produce din nou creșterea curentului.

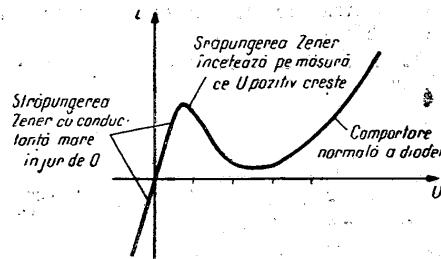


Fig. 31. Caracteristica  $I-U$  a diodei tunel

Caracteristica  $I-U$  care descrie această comportare este arătată în fig. 31. Dispozitivele avînd această comportare se numesc diode tunel. Numele provine de la explicația dată în mecanica cuantică fenomenului de străpungere Zener.

Diodele tunel pot fi utile și prin prezența regiunii de rezistență negativă (domeniu în care caracteristica  $I-U$  are panta negativă). Această rezistență poate compensa pierderile dintr-un circuit rezonant — asigurând astfel generarea unor oscilații de frecvență foarte ridicată (până la 10 GHz) la puteri foarte reduse (de ordinul miliwattului).

Cu diodele tunel se pot realiza circuite care lucrează la frecvențe de sute și mii MHz corespunzând unor timpi de comutație de ordinul mii secunde.

În rezumat dioda tunel este un dispozitiv semiconductor unidirecțional de putere mică, extrem de rapid și având o regiune cu rezistență negativă. Ea poate admite un domeniu larg de temperatură și nu este influențată de radiația nucleară.

Deoarece diodele tunel sînt realizate din semiconductoare puternic dopate nu este absolut necesar să se întrebuițeze materiale foarte pure.

Rezistența negativă a diodei se obține într-un domeniu foarte larg de temperatură, deoarece în regiunea în care apare această rezistență, curentul de injecție al purtătorilor minoritari de sarcină (care este puternic influențat de temperatură) poate fi neglijabil față de curentul de tunel. Astfel, pentru diodele din germaniu s-a observat că rezistența negativă se menține în domeniul  $-265^{\circ} \dots +250^{\circ}\text{C}$ , iar pentru diodele din siliciu limita superioară crește pînă la  $350^{\circ}\text{C}$ .

În fig. 32 se arată un circuit logic bistabil și realizat cu o diodă tunel.

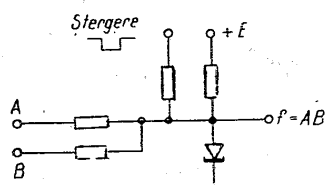


Fig. 32. Circuit logic SI cu o diodă tunel

Parametrii diodei tunel sînt:

- tensiunea și curentul punctului de maxim „de vîrf” al caracteristicii;
- tensiunea și curentul punctului de minim „de vale” al caracteristicii;

— rezistența negativă  $R = \Delta U / \Delta I = \text{ctg } \alpha$ ;

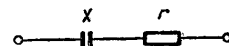
— excursia de tensiune (definită ca tensiunea dintre punctul maxim al caracteristicii și punctul corespunzător aceleiași curent de pe caracteristică din regiunea IV).

Mai jos se prezintă parametrii diodei tunel TR9A realizată din germaniu.

tensiunea punctului maxim	45 mV
curentul punctului maxim	1 mA
tensiunea punctului minim	170 mV
curentul punctului minim	0,25 mA
excursia de tensiune	285 mV
conductanța negativă	-9 mho
rezistența serie	1,2
capacitatea joncțiunii	25 pF
inductanța serie	$8,10^{-9}\text{H}$

DIODELE IMPATT lucrează în regim de străpungere prin avalanșă și funcționarea lor se bazează pe faptul că la frecvențele din gama 5 ... 100 GHz prezintă o rezistență dinamică echivalentă negativă. Circuitul echivalent al unei diode IMPATT (fig. 33) conține o rezistență  $r$  ce înglobează atât rezistența dinamică negativă cît și rezistențele pozitive parazite în serie cu o reactanță  $X$  (avînd caracter capacitiv și fiind determinată, în primul rînd, de capacitatea joncțiunii la tensiunea de străpungere)

Fig. 33. Circuit echivalent de microunde al diodelor IMPATT



Valoarea negativă pe care o are rezistența  $r$  pe o anumită plajă de frecvențe din intervalul amintit (domeniul frecvențelor utile de lucru pentru o diodă dată este dependent de caracteristicile ei constructive) permite utilizarea diodelor IMPATT în circuite de generare sau de amplificare a semnalelor de înaltă frecvență. În primul caz frecvența de oscilație este determinată de circuitul oscilant format din capacitatea diodei și inductanța sarcinii (inclusiv inductanțele parazite ale capsulei, conexiunilor, etc.) Pentru polarizarea în circuit a diodei IMPATT se recomandă folosirea unui generator de curent constant. Curentul de polarizare trebuie crescut treptat pînă la valoarea de lucru. Puterea generată  $P_{out}$  crește cu curentul de polarizare atîngînd un maxim.

În domeniul frecvențelor înalte se utilizează și diode cu o structură deosebită, la care între regiunile  $p$  și  $n$  ale joncțiunii  $pn$  se introduce un strat de material intrinsec, diode PIN. „Invadarea” regiunii intrinseci de către purtătorii mobili de sarcină electrică și valoarea ridicată a timpului lor de viață în această regiune, determină pierderea efectului redresor al diodei la frecvențe mai mari de 10–20 MHz. Pentru aceste frecvențe dioda se comportă ca o rezistență, a cărei valoare este controlată de curentul continuu care trece prin diodă. Proprietățile amintite permit folosirea diodei PIN la comutarea semnalelor de înaltă frecvență, sau ca rezistență controlată electronic.

## 7. DIODELE CU BAZĂ DUBLĂ (TRANZISTOARE UNIJONCȚIUNE)

Simbolul lor este prezentat în fig. 34.

Diodele cu bază dublă (care au fost denumite mai târziu și tranzistoare unijoncțiune TUJ deoarece posedă un element de control) constau dintr-o bară de siliciu de tip  $n$  uniform impurificată, având câte un contact ohmic la fiecare capăt și o joncțiune  $pn$  la mijloc.

Cele două contacte ohmice de la capetele barei se numesc baza 1,  $B_1$  și baza 2,  $B_2$ , iar contactul corespunzător joncțiunii din centrul barei poartă denumirea de emitor (fig. 35).

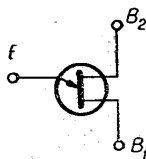


Fig. 34. Simbolul diodei cu bază dublă

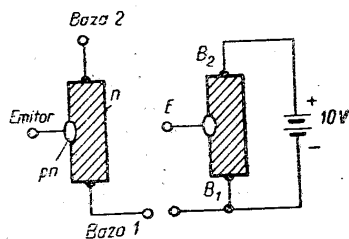


Fig. 35. Dioda cu bază dublă

Dacă cele două baze se leagă între ele,  $U_{B_1B_2} = 0$ , dispozitivul se comportă ca o diodă obișnuită.

Funcționarea ca TUJ se obține când între cele două baze se aplică o tensiune  $U_{B_1B_2}$  cu o valoare uzuală de 10 V.

Rezistența barei de siliciu este de ordinul 4–10 kΩ.

Dacă emitorul este plasat chiar în centrul barei, el va fi polarizat la +5V față de  $B_1$ .

Când tensiunea aplicată emitorului este mai mică de 5V, joncțiunea  $pn$  este polarizată invers, iar curentul în circuitul emitor – bază are o valoare mică – regiunea de tăiere OA (fig. 36a).

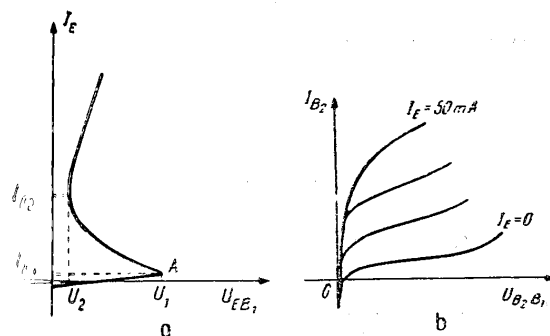


Fig. 36. Caracteristici IU ale unui tranzistor unijoncțiune

Când tensiunea  $U_{EE_1}$  întrece valoarea +5V, joncțiunea  $pn$  se polarizează direct și curentul emitor – bază 1 crește rapid așa cum se vede în caracteristică, prezentând chiar o regiune de rezistență negativă. Din punctul în care tensiunea dintre emitor și  $B_1$  a atins valoarea minimă  $U_2$  se obține în continuare caracteristica directă a unei joncțiuni  $pn$ .

Această regiune se mai numește și regiunea de saturare.

Caracteristicile electrice ale diodelor cu bază dublă sunt:

tensiunea între baze  $U_{B_1B_2}$ ,

rezistența între baze  $R_{B_1B_2}$ .

- raportul de divizare intrinsec  $\eta = \frac{R_{EB_1}}{R_{B_1B_2}}$
- curentul invers de emitor (rezidual) pentru  $U_{B,E} < < \frac{1}{2} U_{B_1B_2} I_{EBO}$
- curentul emitorului la tensiunea maximă între emitor și baza 1  $I_{E_1}$
- curentul emitorului la tensiunea minimă între emitor și baza 1  $I_{E_2}$
- tensiunea minimă între emitor și baza 1  $U_2$  sau  $U_{EB_1}$  sot
- curentul de emitor în impuls  $I_E^*$
- tensiunea de impuls de vîrf a bazei 1  $U_{OB_1}$ .

Timpii de comutație directă și inversă fiind de ordinul microsecundelor aceste dispozitive se utilizează ca elemente active la oscilatoarele în dinți de fierăstrău și multivibra-toare.

O altă utilizare o găsesc la comutarea tiristoarelor din starea de conducție în starea de blocare.

În fig. 37 se reprezintă un redresor comandat al cărui triac este amorsat cu ajutorul unui tranzistor unijoncțiune, conectat într-un circuit convențional de control al fazei.

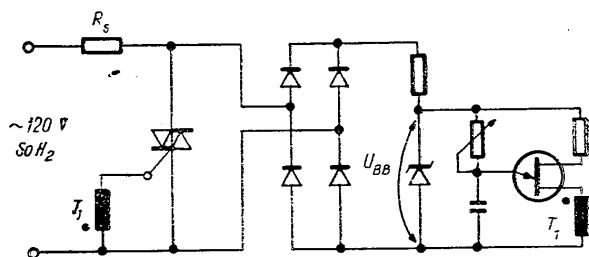


Fig. 37. Redresor controlat manual cu un tranzistor unijoncțiune

## 8. DIODELE CONTROLATE (TIRISTOARELE)

Simbolul diodelor controlate se prezintă în fig. 38 a.

Diodele controlate (cunoscute mult mai bine sub denumirea de *tiristoare*) sînt structuri cu 3 joncțiuni pn de tip *pnpn* prevăzute cu un electrod de comandă numit grilă sau poartă, fig. 38b. Ele funcționează stabil numai în două stări (conducție sau blocare) fiind elemente tipice de, comutație.

Curentul corespunzător regimului de blocare este curentul unei joncțiuni pn polarizată invers, în regimul de conducție, dioda permițind un salt mai mare de curent, urmare a procesului de multiplicare prin avalanșă a purtătorilor de sarcină în regiunea de trecere a colectorului (joncțiunea din mijloc).

Comportamentul acestui dispozitiv fără tensiunea de comandă pe poartă este arătat în caracteristica din fig. 39.

Pentru tensiuni mai mici decît  $U_{max}$  dioda controlată este blocată iar la tensiunea  $U_{max}$  dioda se deschide. Curentul de conducție va fi limitat de rezistența externă  $R_s$ .

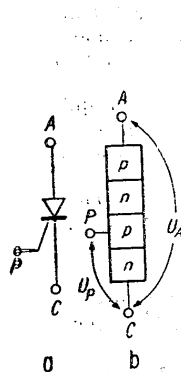


Fig. 38. Tiristorul: a. simbol; b. structură

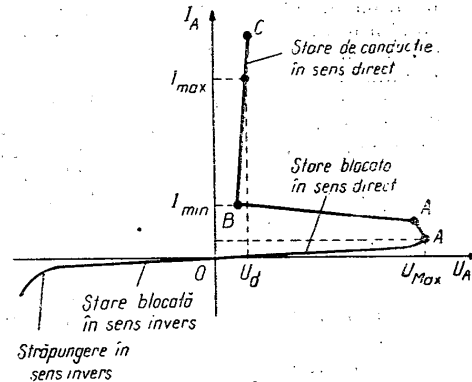


Fig. 39. Caracteristica  $I_A - U_A$  a unui tiristor fără comandă pe poartă

Date:  $R$  blocare este  $10^8 - 10^9 \Omega$ ;  $U$  conducție 2V;  
 $R$  conducție este de ordinul ohmilor.  
 Dacă se aplică o mică tensiune, pe poartă în raport cu  
 catodul, tiristorul se deschide pentru tensiuni mai mici  
 decât  $U_{max}$  (fig. 40).

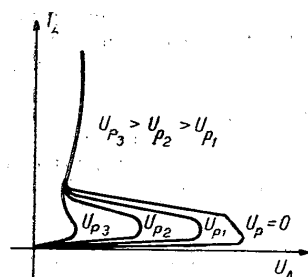


Fig. 40. Caracteristici  $I_A - U_A$  ale unui tiristor comandat

Timpul de comutare directă  $t_g$  (din starea blocată în starea de conducție) este de ordinul  $10^{-8}$  s minim.

Timpul de comutare inversă  $t_q$ , adică intervalul de timp dintre momentul în care curentul direct se anulează în urma comutării circuitului anodic și momentul în care tiristorul în stare blocată poate suporta din nou aplicarea tensiunii fără să se reamorseze este de ordinul  $10^{-8}$  s. (minimum).

Cu cel de-al treilea electrod (poarta) tiristorului i se poate controla doar intrarea în conducție. Blocarea sa se face anulînd sau inversînd tensiunea anodică sau scăzînd curentul sub valoarea de automenținere.

Pe baza caracteristicii idealizate din fig. 41 se pot defini următoarele mărimi caracteristice ale tiristoarelor (specificate și în cataloagele producătorilor).

În zona de conducție:

$I_D$  — curentul continuu de blocare în sens direct, care circulă prin tiristorul aflat în starea blocată și polarizat în sensul conducției.

$U_B$  — tensiunea de basculare — valoarea tensiunii pozitive pentru care la curent de comandă dat tiristorul trece din starea blocată în starea de conducție.

$U_{B0}$  — tensiunea de basculare la curent de comandă zero.

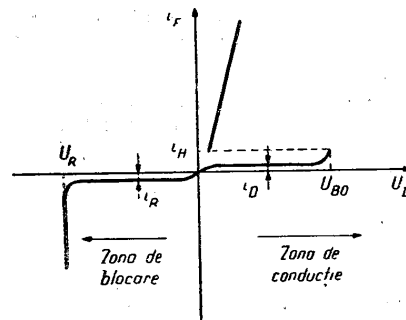


Fig. 41. Caracteristica stilizată a unui tiristor

Ea nu trebuie să fie depășită, deoarece tiristorul intră în conducție independent de prezența impulsului de comandă.  $I_R$  — curent static de menținere, curent continuu minim care trebuie să circule prin tiristor pentru ca tiristorul o dată aprins să rămână în conducție.

$I_{DD}$  — curent dinamic de menținere. Valoarea minimă a curentului anodic care trebuie să se stabilească prin tiristori la intrarea în conducție, această valoare este dependentă de amplitudine, de forma și de durata impulsului de comandă și este superioară curentului static de menținere.

$i_p$  — valoare instantanee a curentului prin tiristorul aflat în stare de conducție.

$I_F$  — valoarea medie pe o perioadă a  $i_F$ .

$I_N$  — curent nominal al tiristorului. Valoarea recomandată de fabricant pentru valoarea medie pe o perioadă a curentului de conducție, pentru o schemă monofază și sarcină rezistivă.

Această valoare este dependentă de radiatorul de răcire ales, și de felul ventilației.

$I_{RL}$  — curent limită de durată. Valoarea medie a curentului de conducție maxim admis în regim de durată pentru o schemă monofază și sarcină rezistivă.

$\int i$  — integrala limită de sarcină. Reprezintă valoarea maximă admisibilă a integralei în timp a pătratului curentului prin tiristor, calculată pentru 10 ms și 1 ms.

Este utilă la dimensionarea elementelor de protecție a tiristoarelor (siguranțe, întrerupătoare, automate).

*În zona de blocare:*

$I_R$  — curent de blocare în sens invers, care trece prin tiristorul polarizat în sens invers conducției.

$U_{DRM}$   $U_{RRM}$  — tensiunea de vîrf maximă admisă în starea blocată, pozitivă sau negativă, periodică.

$U_{DSM}$   $U_{RSM}$  — tensiunea de vîrf maximă admisă în sens pozitiv sau negativ neperiodică.

*Mărimi de comandă:*

$I_G$  — curent de comandă. Curentul care circulă prin electrodul de comandă (grilă) (poartă).

$U_G$  — tensiunea de comandă, între grilă (poartă) și catod.

*Caracteristici dinamice:*

$t_g$  — timp de aprindere

$t_q$  — timp de revenire

$(du/dt)_{max}$  — viteza maximă admisă de creștere a tensiunii în sensul conducției. La depășirea acestei valori tiristorul poate trece în conducție fără ca pe grilă să se aplice un impuls de comandă.

$(di_F/dt)_{max}$  — viteza maximă de creștere a curentului; dacă depășește anumite limite în zona centrală apar pierderi suplimentare care duc la încălzirea exagerată a tiristorului și la distrugerea lui.

*Caracteristici termice:*

$T_j$  — temperatura joncțiunii; valoarea maximă a acestei temperaturi nu trebuie depășită pentru a nu se produce distrugerea tiristorului.

$T_c$  — temperatura carcasei.

$T_A$  — temperatura mediului de răcire. Curentul nominal este dat în funcție de această temperatură.

*Se definesc:*

— rezistența termică internă  $R_{thJC} = \frac{T_j - T_c}{P}$

— rezistența termică externă:  $R_{thCA} = \frac{T_c - T_A}{P}$

— rezistență termică totală:  $R_{thJA} = \frac{T_j - T_A}{P}$

$P$  — pierderi totale.

Tiristoarele se folosesc în scheme de redresare reglabile („redresoare comandate”) avînd caracteristici similare cu cele ale tiratrilor.

În redresoarele în care intervin tensiuni sau curenți care depășesc performanțele realizabile cu un singur tiristor se recurge la conectarea combinată (în serie sau în paralel) a mai multor tiristoare (la fel ca la diode).

Problemele de disipație și suprasarcini se pun la tiristoare similar ca la diodele redresoare cu siliciu.

În instalațiile de redresare care folosesc ca elemente de redresare și tiristoare, acestea fiind ventile comandabile, tensiunea redresată poate fi redusă, în mod continuu, pînă la valoarea zero, prin întîrzierea semnalului de comandă față de tensiunea aplicată tiristorului (comanda se face pe poarta tiristorului).

În fig. 42 a, b, c, d, f se reprezintă scheme de redresare monofazate și trifazate complet comandate.

În fig. 42g, e se reprezintă scheme de redresoare în punte semicomandată (monofazate și trifazate) deoarece conțin și diode.

Funcționarea acestor scheme este asemănătoare celor prezentate în capitolul diodei redresoare, dar aici alternanțele sînt secționare corespunzător unghiului de comandă. Valoarea medie a tensiunii redresate în schemele complet comandate în regim de curent neîntrerupt, este:

$$U_{med} = \frac{\sqrt{2}m}{\pi} U_{sin} \frac{\pi}{m} \cos \alpha,$$

unde  $U$  este valoarea efectivă a tensiunii de fază;  $m$  — numărul de faze (la puntea monofazată  $m = 2$ ; la redresorul trifazat în stea  $m = 3$  la puntea trifazată  $m = 6$ ).

În schemele în punte, semicomandate  $U = \frac{m}{\pi} \sqrt{2} U_{sin} \frac{\pi}{m}$ .

$\cos \alpha$  [ $m = 2$  la puntea semicomandată monofazată;

$m = 6$  la puntea semicomandată trifazată].

$\alpha$  este unghiul de comandă, considerat din momentul intrării naturale în conducție a tiristorului, dacă n-ar exista întîrziere (dacă ventilul ar fi necomandabil).

Există de asemenea și dispozitive tip tiristor care conduc în ambele sensuri (bidirecționale) ca răspuns la un

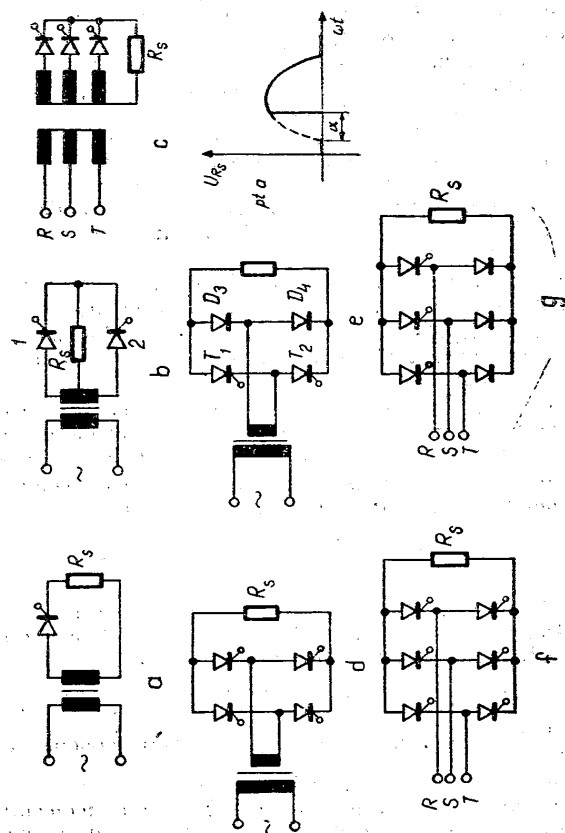
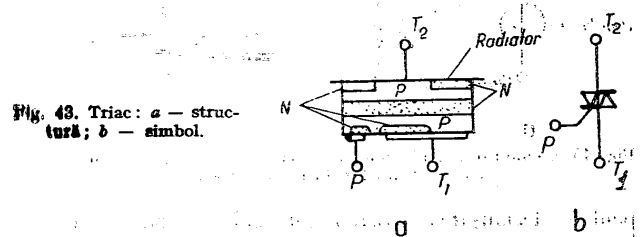
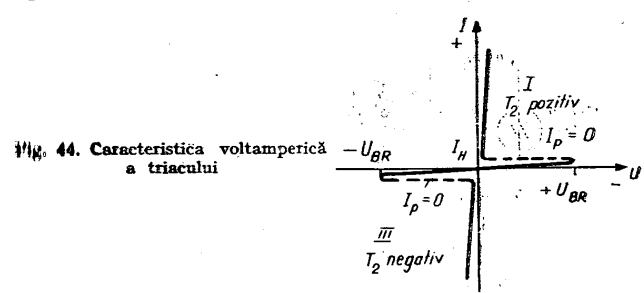


Fig. 42. Scheme de redresoare cu tiristoare monofazate (a, b, c, d, e) și trifazate (f, g).

semnal de poartă pozitiv sau negativ. Ele se numesc triac-uri. Simbolul și structura de bază a triacului sînt prezentate în fig. 43.



Caracteristica  $I-U$  a triacului este prezentată în fig. 44.



Tot dispozitive asemănătoare tiristorului sînt dispozitivele SUS, SBS, dinistorul și diacul.

SUS sau comutatorul unilateral cu siliciu (în limba engleză: *silicon unilateral switch*) este o diodă controlată miniatură avînd o poartă anodică (în locul unei porți catodice și o diodă Zener înglobată între poartă și catod. Simbolul, circuitul echivalent și caracteristica  $I-U$  sînt prezentate în fig. 45.

SBS sau comutatorul bilateral cu siliciu (în limba engleză: *silicon bilateral switch*) este o structură formată din două dispozitive conectate invers-parallel. Dat fiind că dispozitivul SBS funcționează ca un comutator permițînd trecerea ambelor polarități de tensiune, el este folosit

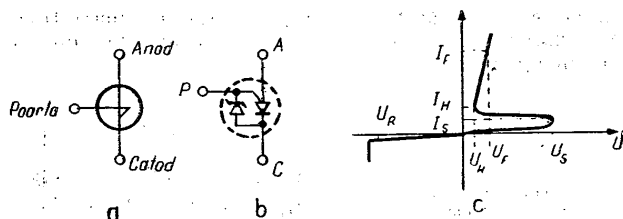


Fig. 45. Comutatorul unilateral din siliciu: a. simbol; b. circuit echivalent; c. caracteristica voltamperică.

pentru declanșarea tiristoarelor bidirecționale (triacurilor) cu impulsuri de poartă pozitive și negative, alternante. Simbolul, circuitul echivalent și caracteristica  $I-U$  sunt prezentate în fig. 46.

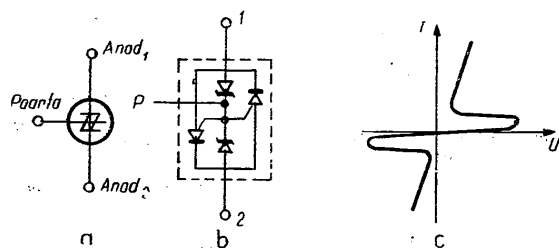


Fig. 46. Comutatorul bilateral din siliciu: a. simbol; b. circuitul echivalent.

**Dinistorul** cunoscut și sub denumirea de **diodă cu patru straturi** sau diodă de comutație are o structură asemănătoare cu a tiristorului (pnpn), fără electrod de comandă, care la depășirea unei anumite valori a tensiunii directe aplicate între cei doi electrozi, basculează din starea de blocare în starea de conducție. Se utilizează în schemele de comandă a tiristoarelor și a triacurilor (fig. 47).

Dioda de triggerare bilaterală sau **diacul** este dispozitivul electronic semiconductor folosit în oscilatoarele de relaxare și în circuitele de comutație (de exemplu la comanda tiristoarelor și triacurilor). Diacul basculează (trece în stare de conducție) la depășirea unei anumite valori (zeci de volți) a tensiunii  $U_{BO}$  pozitive sau negative aplicate

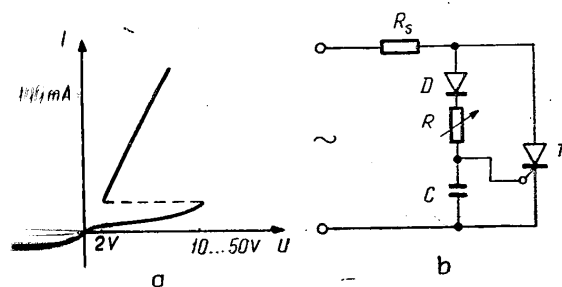


Fig. 47. Dinistorul: a. caracteristica  $I-U$ ; b. circuit de comandă pentru tiristor

între electrozi. În fig. 48 este prezentată caracteristica voltamperică a diacului cu o regiune de rezistență negativă la o tensiune de comandă cu diac a unui triac folosit drept conductor de curent alternativ. Momentul intrării triacului în conducție se poate schimba prin modificarea constantei de timp  $RC$  a circuitului de comandă.

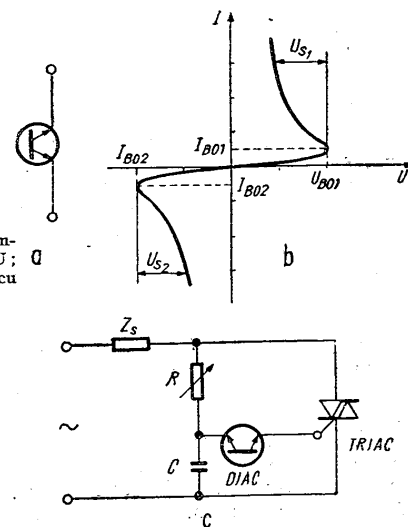


Fig. 48. Diacul: a. simbol; b. caracteristica  $I-U$ ; c. schemă de comandă cu diac.



## 9. FOTODIODELE

Fotodiodele au simbolul prezentat în figura 49.

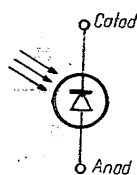


Fig. 49. Simbolul fotodiodei

Fotodiodele sînt diode semiconductoare polarizate invers, bazate pe efectul fotoelectric intern. Sînt astfel construite încît joncțiunea  $pn$  să poată fi iluminată și curentul invers prin joncțiune depinde — între anumite limite — de intensitatea fluxului luminos incident (fiind în modul, proporțional cu acesta).

Ele sînt deci dispozitive optoelectronice, care transformă radiațiile electromagnetice în energie electrică sau invers. La baza funcționării lor stă efectul fotoelectric.

Efectul fotoelectric este fenomenul care însoțește absorbția sau radiația luminoasă de către un corp solid. Efectul fotoelectric *extern* constă în eliberarea de electroni de către un corp prin iluminarea acestuia cu un fascicul de lumină (emisiune fotoelectrică). Există o energie minimă a cuantelor de lumină (fotonilor)  $hf_0$ , dependentă de material, pentru ca acestea să fie capabile să extragă electroni de pe suprafața metalelor sau semiconductoarelor. Dacă energia fotonilor este mai mare, electronii emiși (fotoelectronii) pot să se deplaseze conform ecuației:

$$hF = mV^2/2 + hf_0 \text{ în care;}$$

$h$  este constanta lui Planck  $f_0$  — frecvența corespunzătoare energiei minime a fotonului (lucru de extracție);  $m$  — masa electronului;  $V$  — viteză maximă a electronului emis.

Efectul fotoelectric extern este aplicat la celulele fotoelectrice, care constau dintr-un tub vidat sau cu gaze inerte, cu doi electrozi, conectați la o tensiune continuă. Tubul conduce numai dacă catodul este iluminat.

Efectul fotoelectric *intern* constă în eliberarea electronilor sub acțiunea luminii în interiorul unui semiconductor. Fotoelectronii rămîn în semiconductor și îi măresc conductivitatea. Se aplică la producerea fotorezistențelor. Fotoconductivitatea descoperită la seleniul pur (W. Smith 1873) a fost evidențiată și în alte substanțe (germaniu, sulfură de plumb, sulfură de cadmiu, etc.).

Efectul fotoelectric intern cu strat de baraj apare la joncțiunea dintre un metal și un semiconductor sau dintre două semiconductoare dopate (cu elemente donoare sau acceptoare de electroni) unde sub acțiunea luminii se produce un cîmp electric imprimat foto voltaic. Se aplică la fabricarea fotoelementelor (convertoare care transformă direct energia luminoasă — solară — în energie electrică) fotodiodelor sau fototranzistoarelor.

Prin fotodiode în lipsa iluminării trece un curent foarte mic — curentul de saturație al unei joncțiuni — numit „curent de întuneric”. Pentru fotodiodele cu germaniu, acest curent este de 10–20  $\mu A$ , iar pentru cele cu siliciu de 1–2  $\mu A$ . Cînd joncțiunea este iluminată, curentul prin circuit crește, cu atît mai mult, cu cît iluminarea este mai puternică. Aceasta se produce deoarece cuantele de energie absorbite de semiconductor din fluxul luminos incident sparg un număr de legături covalente, producînd perechi electroni — goluri. Cîmpul electric aplicat din exterior determină deplasarea golurilor spre minusul bateriei și a electronilor spre plusul acesteia (fig. 50).

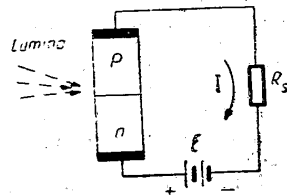


Fig. 50. Fotodiodea în circuit

Fotodiodele se utilizează în general exclusiv polarizate invers, deci în cadranul III al caracteristicii  $I-U$  din fig. 51.

Curentul invers al fotodiodei iluminate poartă numele de *curent de iluminare* și are valori mult mai mari decît ale curentului de întuneric.

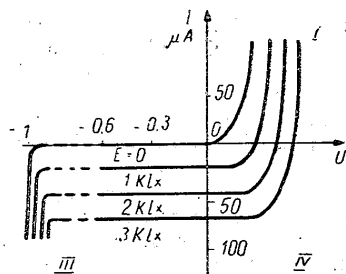


Fig. 51. Caracteristica  $I-U$  a fotodiodei în funcție de iluminarea ei

Curentul de iluminare este proporțional cu fluxul luminos incident pe suprafața fotosensibilă, fiind independent de valoarea tensiunii inverse (pînă în apropierea tensiunii de străpungere).

În cazul fotodiodei cu siliciu (material preferat pentru realizarea acestor dispozitive) tensiunile de străpungere sînt de ordinul zeci și sute de volți.

Fotodiodea poate fi folosită ca celulă fotovoltaică (convertor fotoelectric), dacă lucrează fără polarizare (inversă) exterioară, în cadranul IV (fig. 51) sub acțiunea luminii producîndu-se un cîmp electric imprimat fotovoltaic; dacă s-ar conecta o rezistență de sarcină la bornele ei, prin ea ar circula un curent electric (foarte redus) proporțional cu iluminarea externă.

Intersecțiile caracteristicilor din cadranul IV cu axele marchează „curenții de scurtcircuit”, respectiv „tensiunile electromotoare (în gol)  $E_g$ ”.

Spre deosebire de celula fotoelectrică, fotodiodele au sensibilitate mai mare, dimensiuni mai mici și fiabilitate sporită dar un timp de răspuns mai scăzut.

Pentru a răspunde la semnale luminoase cu frecvențe ridicate s-au realizat fotodiodele Schottky și fotodiodele P-I-N.

Principalii parametri ai unei fotodiode sînt:

1. Sensibilitatea  $S$  este raportul dintre valoarea curentului invers și valoarea iluminării la care se obține acest curent (la o anumită tensiune inversă aplicată). Se măsoară în  $nA/lx$  sau  $mA/lm$ .
2. Tensiunea inversă  $U_R$  este tensiunea pînă la care dispozitivul poate fi utilizat în circuit, garantîndu-se buna lui funcționare.

3. Curentul de întineric  $I_D$  este indicat de producător la o anumită valoare a tensiunii.

4. Timpul de creștere  $t_r$  și de scădere  $t_f$  reprezintă intervalul temporal în care curentul variază de la 10% la 90% și respectiv de la 90% la 10% din valoarea finală la iluminare cu un puls luminos dreptunghiular (fig. 52.)

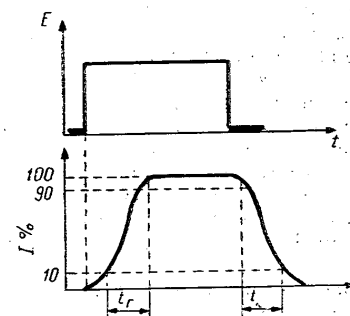


Fig. 52. Răspunsul fotodiodei în funcție de timp la un impuls luminos dreptunghiular.

5. Sensibilitatea spectrală  $S$  indică răspunsul fotodiodei la diferite lungimi de undă ale luminii incidente.

6. Caracteristica de directivitate a unei fotodiode reprezintă variația relativă a curentului în funcție de unghiul de incidență a luminii pe suprafața fotosensibilă.

Fotodiodele avînd o sensibilitate de ordinul sutelor de  $mA/lumen$  își găsesc aplicații în circuite de comandă, control și diverse echipamente de automatizare (de ex. la comanda automată a iluminatului exterior).

Poate cea mai spectaculoasă utilizare a lor este realizarea tuburilor videocaptoare (captatoare de imagine) care transformă informația purtată de lumină într-o informație electrică, aceste tuburi fiind partea esențială a unei camere de luat vederi în televiziune.

Este interesant de prezentat aici fotodiodele Schottky, fotodiodele P-I-N, fototranzistorul, fototiristorul, convertorul fotoelectric, bateria solară.

— Fotodiodele Schottky este formată dintr-un strat metalic depus pe suprafața unui semiconductor, metalul fiind astfel ales încît să formeze cu semiconductorul un contact redresor. Funcționarea acestui tip de fotodiode este asemănătoare cu a celei cu joncțiune realizată prin difuzie,

însă lipsa stocării sarcinilor electrice conduce la valori mici ale timpilor de comutație (sub 1 ns).

— *Fotodiada P-I-N* permite lucrul cu frecvențe ale semnalului luminos cu două — trei ordine de mărime mai mare decât în cazul fotodiodelor obișnuite. O asemenea fotodiada are între zona  $p$  și zona  $n$  o regiune semiconductoare intrinsecă  $I$ . Se asigură astfel o distanțare mai mare între regiunea  $p$  și regiunea  $n$ , capacitatea dispozitivului micșorându-se considerabil.

— *Fototranzistorul* este tranzistorul la care curentul de colector este comandat prin iluminarea uneia din regiunile structurii (baza, emitorul sau colectorul). Contactul bazei nu se mai folosește decât pentru o eventuală stabilizare la variația temperaturii.

Principalul avantaj al fototranzistorului este sensibilitatea mare la lumină, de zeci sau sute de ori mai mare decât a unei fotodiode realizate pe același material semiconductor și cu aceeași arie fotosensibilă. Ca dezavantaj față de diodă se menționează valoarea mare a curentului de întineric care depinde și de temperatură, astfel că funcționarea fototranzistorului este mai mult afectată de creșterea temperaturii decât cea a fotodiodei.

Având în vedere aceste considerente, fototranzistoarele se folosesc cu precădere în montaje în care trebuie sesizată doar prezența sau absența luminii și nu o discriminare precisă a nivelelor de luminare.

— *Fototiristorul* este tiristorul a cărui intrare în conducție se obține prin iluminarea bazelor structurii  $pnpn$ .

În fig. 53. sînt date caracteristicile voltamperice ale unui fototiristor, cu iluminarea ca parametru.

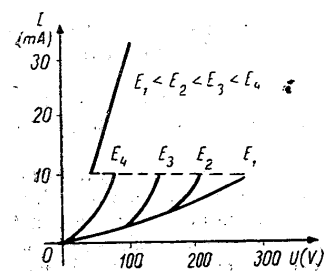


Fig. 53. Caracteristica  $I-U$  a fototiristorului

— *Convertorul fotoelectric* este convertorul care transformă direct energia luminoasă (solară) în energie electrică. Se bazează pe excitarea optică a unei joncțiuni  $p-n$  dintr-un semiconductor. Convertorul fotoelectric cu siliciu are stratul  $n$  (cu conductivitate electronică) obținut prin impurificare cu fosfor pentavalent, iar stratul de tip  $p$ , cu conductivitate dată de deplasarea „gurilor”, obținut prin dopare cu bor trivalent.

În stratul de baraj (cu o grosime de  $10^{-6} \dots 10^{-7}m$ ) practic nu există purtători liberi de sarcină. Prin absorbția unei cuante de lumină (foton) se separă o pereche de purtători de sarcină gol — electron, care sub influența cîmpului electric din stratul de baraj se orientează electronii încărcă negativ-stratul  $n$ , apărînd un cîmp electric imprimat fotovoltic fenomen numit efect fotoelectric intern cu strat de baraj.

Randamentul maxim se obține pentru o bandă interzisă de  $1 \dots 2 eV$  ( $6 \dots 20\%$ ). Materialele utilizate sînt: Si, CdS, CdTe, AsCa, etc. Convertorul fotoelectric se folosește la măsurarea iluminării (luxmetrul fotoelectric) în tehnica fotografică (exponometru) iar mai multe conectate în serie și în paralel ca baterii solare.

Convertorul fotoelectric mai este cunoscut sub denumirile de fotoelement, convertor fotovoltic, celulă fotovoltică, pilă solară.

— *Bateria solară* este bateria formată din convertoare fotoelectrice. Ea poate conține zeci de mii de elemente, a căror suprafață nu depășește cîtiva  $cm^2$ , conectate în serie și în paralel.

Pentru ca energia electrică dată de bateriile solare să fie disponibilă și în perioada fără soare, acestea funcționează în tampon cu o baterie de acumulare. Bateriile solare se utilizează ca surse de energie pentru sateliți și nave cosmice (de ex. misiunile Apollo au dispus de baterii solare de 10 kW, cu o suprafață totală a celor 4 aripi de  $110 m^2$ ) sau ca surse de energie de ordinul Kilo瓦ților pentru locuințe izolate (de ex. stații meteorologice).

Bateriile solare de puteri mici (de ordinul mW) se folosesc la alimentarea schemelor de microelectronică (ceasuri, calculatoare), sau a organelor artificiale implantate în organismul uman. Bateriile solare de puteri mari, în scopuri energetice, ar trebui plasate, în afara efectelor de filtrare ale atmosferei Pămîntului.

Randamentul maxim obținut la bateriile solare actuale (la fotoelementele de arsenură de galiu, acoperite cu un strat subțire de  $\text{As Al Ga}$ ) este de 22%.

## 10. DIODELE ELECTROLUMINESCENTE

Simbolul diodei electroluminescente este prezentat în fig. 54.

Diodele electroluminescente au proprietatea de a emite lumină atunci când sînt direct polarizate.



Fig. 54. Simbolul diodei electroluminescente

Ele sînt cunoscute și sub numele de LED-uri (în limba engleză *Light Emitting Diode*).

Diodele electroluminescente se realizează din compuși ai galiului (Ga) cu elemente trivalente sau pentavalente formînd Ga As, GaP, Ga AsP, etc. Juncțiunile realizate cu Ga As emit radiații electromagnetice în domeniul infraroșu, iar introducerea atomilor de fosfor va deplasa maximul de emisie spre regiunea vizibilă a spectrului.

Astăzi se realizează curent LED-uri emițind lumină de culoare roșie, galbenă sau verde (cu GaP lumina este roșie sau verde în funcție de dopant, cu Ga AsP lumina este roșie, cu SiC lumina este galbenă).

Parametrii electrici ai diodelor electroluminescente sînt identici cu cei ai diodelor obișnuite:

- curentul direct maxim ( $I_F \text{ max}$ ) are valori de ordinul zecilor de miliamperi.
- tensiunea de deschidere a joncțiunii  $U_F$  variază de la 1,2 V pentru diodele electroluminescente ce emit în infraroșu pînă la 3 V pentru cele ce emit lumină verde.
- tensiunea inversă  $U_R$  poate avea valoarea maximă de cîțiva volți.

Dioda electroluminescentă se caracterizează și prin:

- caracteristica spectrală — exprimînd dependența intensității luminii emise de lungimea de undă a acesteia.
- randamentul de conversie.

Parametrul ce definește calitatea unei LED este *intensitatea radiației electromagnetice emise*. În acest sens, diodele electroluminescente ce emit în domeniul vizibil sînt caracterizate de intensitatea luminoasă  $I_V$ , măsurată în milicandele, iar cele cu emisie în infraroșu, de intensitatea radiantă,  $I_e$ , măsurată în mW/steradian.

Atît  $I_V$  cît și  $I_e$  variază liniar în funcție de curentul ce trece prin dispozitiv, pentru o gamă largă de valori ale acestuia. (fig. 55)

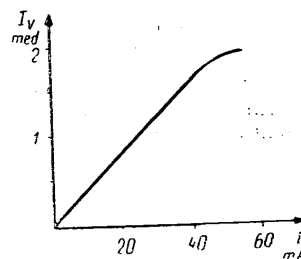


Fig. 55. Dependența intensității luminoase a unui LED cu curentul direct

La curenți mari dependența nu mai este liniară, aceasta datorîndu-se pe de o parte încălzirii dispozitivului, iar pe de altă parte unor efecte cuantice ce apar în cazul densităților mari de curent de joncțiune.

Ca și în cazul dispozitivelor a căror funcționare se bazează pe absorbția luminii, la diodele electroluminescente se definesc doi timpi de răspuns: *timpu de creștere*  $t_r$  și *timpu de scădere*  $t_f$ . Ei reprezintă intervalele temporale în care intensitatea luminoasă (sau radiantă) crește de la 10% la 90% respectiv scade de la 90% la 10% din valoarea maximă atînsă atunci cînd diodele electroluminescente i se aplică un impuls dreptunghiular de curent.

Ei sînt de ordinul nanosecundelor în cazul emisiei în infraroșu.

Pe caracteristica curent-tensiune a diodei electroluminescente, punctul de funcționare  $M$  se alege pe porțiunea din cadrantul I deoarece lumina se emite atunci cînd dispozitivul este direct polarizat (fig. 10.3.)

Curentul  $I_F$  care corespunde acestui punct este limitat de o rezistență electrică  $R$  conectată în serie cu LED-ul.

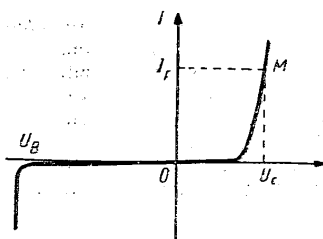


Fig. 56. Caracteristica curent-tensiune pentru un LED

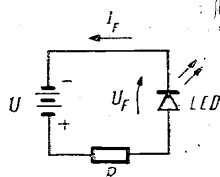


Fig. 57. Montarea LED-ului într-un circuit

Valoarea acestei rezistențe se determină în funcție de curentul  $I_F$ , tensiunile  $U_F$  și  $U$  cu relația:

$$R = \frac{U - U_F}{I_F}$$

$U_F$  este tensiunea directă pe diodă electroluminescentă, iar  $U$  tensiunea la bornele sursei de alimentare (fig. 57). Curentul mic necesar „aprinderii” LED-urilor face ca acestea să fie preferate becurilor cu incandescență, iar tensiunea redusă necesară funcționării lor — becurilor cu descărcare în gaz inert.

Printr-o tehnologie specială se pot realiza diode electroluminescente a căror lumină emisă să aibă caracteristicile luminii laser — monocromaticitate pronunțată, directivitate, coerență și o intensitate deosebit de mare.

Acest tip de dispozitiv poartă numele de diodă laser sau laser cu injecție.

Dispozitivul format dintr-un emițător și un receptor de lumină, așezați față în față la distanță mică, în aceeași capsulă poartă numele de cuplor optic (sau opto-cuplor).

Există o diversitate foarte mare de cuploare optice.

Teoretic se poate folosi orice fel de dispozitiv fotoemisiv (bec cu incandescență sau cu descărcare, diode electroluminescente) și orice tip de fotodetector (celulă fotovoltaică, fotorezistor, fotodiodă, fototranzistor, fototiristor), cu condiția ca spectrul de emisie să corespundă într-o oarecare măsură cu sensibilitatea spectrală a detectorului de lumină.

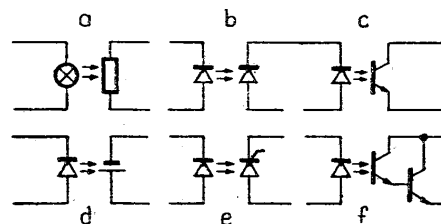


Fig. 58. Structuri posibile pentru cuploarele optice

În fig. 58 sint prezentate structuri posibile de optocuploare:

- a. bec cu incandescență fotorezistor
- b. LED — fotodiodă
- c. LED — fototranzistor
- d. LED — celulă fotovoltaică
- e. LED — fototiristor
- f. LED — fotodarlington (fototranzistor în conexiune Darlington).

Diodele electroluminescente sint folosite pe scară largă în construcția afişoarelor numerice. În fig. 59 este înfățișat un astfel de afişor cu șapte segmente (notate a, b, c, d, e, f, g) cu care se opt afișa cifre de la 0 la 9. Fiecare segment conține un LED care necesită pentru alimentare circa 1,6 V

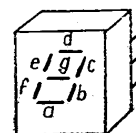


Fig. 59. Afișor numeric

la 20 mA. Schema montajului de afișare a cifrelor este prezentată în fig. 60.

Observăm că LED-urile cu anodul comun, sint alimentate prin câte un rezistor de limitare a curentului; prin intermediul unor diode cu siliciu ele pot fi deschise (luminate) sau stinse selectiv în funcție de poziția comutatorului de comandă K.

Fiecare poziție a comutatorului se traduce printr-o combinație de segmente aprinse care reprezintă o cifră.

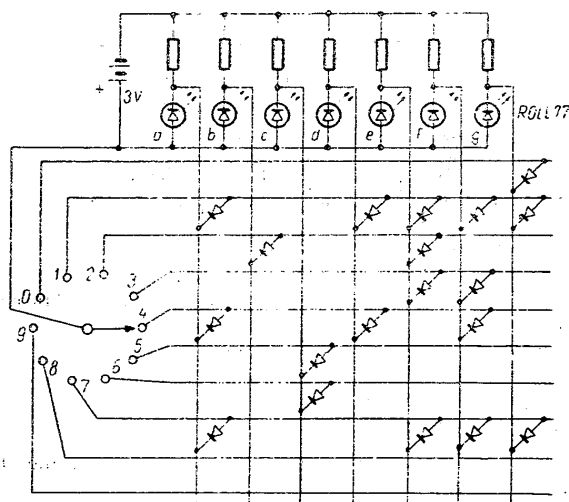


Fig. 60. Schema montajului de afișare a cifrelor

Denumirea „decodor” dată circuitelor de acest fel provine din faptul că la intrare se aplică un semnal în „cod zecimal” prin unul din conductoarele orizontale și la ieșire se obține un semnal pe anumite conductoare verticale, conform altui cod astfel încât să rezulte imaginea unui anumite cifre.

Deci se face o schimbare a codului, o decodificare.

În schemă se pot utiliza elemente de afișare ROL 77 și diode redresoare 1 N4001 sau similare.

## PARTEA II:

### TRANZISTOARE

Tranzistorul este un dispozitiv a cărui funcționare se bazează pe fenomenele fizice care se produc la suprafețele de contact, dintre anumite corpuri semiconductoare.

Studiul intensiv al proprietăților materialelor semiconductoare începe în anul 1948 an în care John Bardeen și Walter Brattain anunță realizarea primului amplificator cu corp solid, primul tranzistor cu contacte punctuale.

În anul următor, William Shockley realizează tranzistorul bipolar cu joncțiuni, prezentând în același timp și teoria funcționării acestui nou dispozitiv electronic care avea să revoluționeze tehnica.

Ca și tubul electronic cu vid, tranzistorul servește la producerea, amplificarea, comutarea și redresarea oscilațiilor și impulsurilor electrice. Ca ordin de mărime un tranzistor ocupă a mia parte din volumul are o sută parte din greutatea și consumă a zecea parte din puterea unui tub electronic cu vid.

După cum se știe curentul electric reprezintă deplasarea electronilor între două puncte ale unui corp. Prin plecarea sa, fiecare electron lasă vacant un „gol” în care poate să intre, mai târziu, alt electron sosit de la atomii învecinați ai corpului în care are loc fenomenul.

Se știe de asemenea că prin încălzirea peste o anumită limită, toate corpurile conductoare și semiconductoare pot emite electroni. Pentru fiecare temperatură există o proporție anumită de perechi „electroni + goluri” care se generează termic.

În cazul corpurilor semiconductoare, numărul de electroni liberi și de „goluri” crește odată cu temperatura și ca o consecință crește și conductivitatea electrică a corpului, spre deosebire de conductoare la care conductivitatea electrică scade cu temperatura.

Un semiconductor tipic este germaniul, care constituie un element de bază în fabricația tranzistoarelor. Cristalul de germaniu pur este un izolant d.p.d.v. electric (un dielectric). Dacă însă în el se introduc anumite tipuri de impurități (fosfor, arseniu, stibiu) acesta devine conductibil. Aceste impurități se numesc donori, întrucât donează electroni semiconductorului iar conductibilitatea electronică ce ia naștere se numește de tipul  $n$  (prin deplasarea de sarcini negative).

Conductibilitatea poate fi obținută însă și prin crearea artificială de „goluri” devenite succesiv disponibile pentru acceptarea unui electron.

În acest caz în rețeaua cristalină se introduc alte tipuri de impurități (bor, aluminiu, galiu sau indiu) care dau naștere „gurilor” din rețeaua cristalină, captând (acceptând) electroni. Aceste impurități se numesc acceptori, iar conductibilitatea care apare se numește „de goluri” sau de tip  $p$ , fiindcă deplasarea gurilor în semiconductoare, poate fi echivalentă cu deplasarea unor sarcini pozitive.

Un cristal de germaniu cu 2 regiuni (de tip  $p$  și  $n$ ) alăturate se numește joncțiune  $pn$ .

După modul în care se realizează trecerea curentului electric prin ele, tranzistoarele se împart în două mari categorii).

1. *tranzistoare bipolare* unde la conducția curentului electric participă atât electronii cât și gurile; deci două feluri de purtători de sarcină (majoritari și minoritari).

2. *tranzistoare unipolare* (monopolare) la care la conducția curentului electric participă numai un singur fel de purtători de sarcină fie electroni, fie guri.

Un exemplu tipic de dispozitiv bipolar, este tranzistorul „clasic” la care controlul valorii curentului care îl străbate este o consecință a unor fenomene de injecție și transport ale purtătorilor minoritari. Exemplul tipic de dispozitiv unipolar este *tranzistorul cu efect de câmp* (TEC) (în limba engleză FET — *field effect transistor*) la care controlul curentului care trece prin dispozitiv se face cu ajutorul unui câmp electric ce variază rezistența electrică a căii de trecere a curentului (câmpul electric fiind perpendicular pe calea de trecere a curentului numită și canal).

În funcție de modul în care se poate obține un canal a cărei rezistență electrică să depindă de câmpul electric se deosebesc două tipuri de TEC.

— cu poartă (grilă) joncțiune (tranzistoare cu efect de câmp cu joncțiune TEC—J);

— cu poartă (grilă) izolată (tranzistoare cu efect de câmp cu grilă izolată TEC—MIS (Metal-Izolant-Semiconductor) sau TEC MOS (Metal-oxid-semiconductor) deoarece des folosit ca izolant este dioxidul de siliciu  $SiO_2$ ).

## 1. TRANZISTOARE BIPOLARE

### 1.1. Descrierea funcționării lor

Tranzistoarele bipolare reprezintă clasa cea mai larg folosită de dispozitive active de comandă. Ele constau în esență dintr-un monocristal semiconductor împărțit în 3 regiuni distincte prin impuritățile de tip  $p$  sau  $n$ , introduse în ele și despărțite prin două joncțiuni  $p-n$  sau  $n-p-n$ . Cele două joncțiuni se numesc joncțiunea emitoare și joncțiunea colectoră în funcție de rolul lor în funcționarea tranzistorului. Cele 3 regiuni ale monocristalului se numesc emitor, bază, colector tot în funcție de rolul lor în funcționarea tranzistorului (fig. 1).

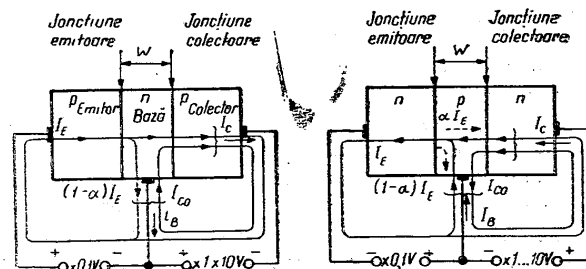


Fig. 1. a. Tranzistorul  $pnp$  la polarizare normală; b. Tranzistorul  $nnp$  la polarizare normală

Ilustrativ tranzistorul poate fi considerat ca un „sandviș” alcătuit dintr-un strat de tip  $n$  (sau  $p$ ) la mijloc între două straturi de tip  $p$  (sau  $n$ ) (fig. 2).

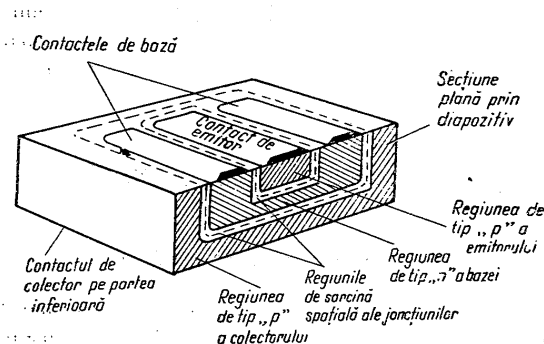


Fig. 2. Structura de bază a unui tranzistor bipolar cu joncțiuni (desenul nu este la scară)

În funcționarea normală, joncțiunea emitoare a tranzistorului este polarizată direct iar cea colectoră invers.

În aceste condiții se spune că tranzistorul lucrează în regiunea activă normală (RAN).

Dacă joncțiunea emitoare este polarizată invers și cea colectoră direct, tranzistorul lucrează în regiunea activă inversă (RAI).

Dacă baza ar avea o grosime  $W$  mare, cele 2 joncțiuni ar fi independente și ar fi străbătute, prima de curentul său direct care ar crește repede cu polarizarea, iar cea de a doua de curentul său invers de saturație, practic constant pentru polarizări uzuale.

Deoarece însă, prin construcție, baza este foarte subțire (grosimea  $W$  este mult mai mică decât lungimea de difuzie a purtătorilor minoritari) de ordinul zecimilor de mm și foarte slab dotată cu impurități, curentul de emitor va traversa și joncțiunea colectoră prin așa numitul „efect de tranzistor”.

Pentru caracterizarea modului de distribuție a curentilor în bază s-au introdus mărimile:

- factorul de amplificare în curent emitor-colector  $[\alpha]$

$$\alpha = \frac{\text{componenta curentului de colector datorită emitorului}}{\text{curentul de emitor}}$$

- factorul de amplificare în curent—bază—colector  $[\beta]$

$$\beta = \frac{\text{componenta curentului de colector datorită emitorului}}{\text{componenta curentului de bază datorită emitorului}}$$

$$\text{Între } \alpha \text{ și } \beta \text{ există relațiile } \beta = \frac{\alpha}{1 - \alpha} \quad \alpha = \frac{\beta}{1 + \beta}$$

Pentru tranzistoarele uzuale

$$\alpha = 0,95 - 0,995 \quad \beta = 20 - 200.$$

Relația fundamentală a funcționării unui tranzistor este;

$$i_C = i_{CBO} + \alpha i_E$$

$i_C$  = curentul de colector

$i_E$  = curentul de emitor

$i_B$  = curentul de bază

$i_{CBO}$  = curentul rezidual al colectorului, adică curentul colectorului (polarizat invers față de bază) pt.  $i_E = 0$ , (deci cu emitorul în circuitul deschis) este de ordinul  $10 \mu A$  pentru tranzistoarele cu germaniu și  $0,1 \mu A$  pentru tranzistoarele cu siliciu.

În teoria inițială a funcționării tranzistoarelor s-a considerat că fenomenele din tranzistor depind de o singură coordonată, în lungul axei ce trece perpendicular pe joncțiuni; ipoteza este cu atât mai apropiată de realitate cu cât joncțiunile sînt mai plane și efectele superficiale mai reduse.

În general, în analiza funcționării fizice a tranzistoarelor bipolare se tratează numai tipul  $pnp$ . Comportarea fundamentală a structurilor  $nnp$  este similară, toate tensiunile și toți curentii avînd semne contrare.

Simbolul standard pentru tranzistoarele bipolare  $pnp$  și  $nnp$  este arătat în figura 3 a și b.

Se observă că terminalul emitorului este pus în evidență printr-o săgeată orientată în sensul convențional în care circulă curentul de emitor atunci cînd tranzistorul lucrează



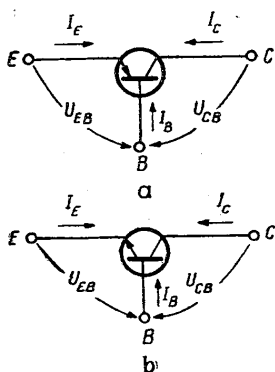


Fig. 3 a. Simbolul tranzistorului pnp  
b. Simbolul tranzistorului npn

în regiunea activă, adică cu joncțiunea emitorului polarizată direct și cu cea a colectorului invers.

Notățiile pentru curenții și tensiunile la borne, sînt notații standard pentru tranzistoare: pentru desemnarea regimurilor (mărimilor) statice se folosesc litere majuscule avînd majuscule ca indici. Astfel  $I_E$ ,  $U_{EB}$  și celelalte notații sînt fiecare constante sau variază atît de încet încît relațiile dintre ele sînt în esență aceleași cu relațiile pentru regimul static. Pentru a desemna valorile instantanee ale variabilelor au fost folosite litere mici (de rînd).

Curentul care circulă între emitor și colector (perpendicular pe joncțiuni) este controlat direct de tensiunea pe joncțiunea emitorului și este în esență independent de tensiunea pe joncțiunea colectorului.

Curentul de colector este numai cu puțin mai mic decît curentul de emitor, iar curentul de bază este mult mai mic decît amîndoi. Această situație se obține atîta timp cît joncțiunea colectorului este polarizată invers; curentul ce traversează baza este practic independent de valoarea tensiunii inverse.

Prin urmare, tranzistorul are o tensiune emitor-bază, corespunzătoare polarizării directe a joncțiunii emitorului și produce un curent de colector independent de tensiunea colector-bază, cu condiția ca joncțiunea colectorului să fie polarizată invers.

El poate fi privit la borna colectorului ca un generator de curent dependent comandat de o altă variabilă. „Controlul” asupra generatorului dependent din colector poate fi înțeles în mai multe moduri:

1. Curentul de colector este comandat de tensiunea emitor-bază și crește rapid cu creșterea tensiunii directe pe joncțiunea emitorului. Conform studiului asupra joncțiunii pn este de așteptat ca dependența să fie exponențială lucru confirmat și de caracteristica din fig. 4 în care este trasat în coordonate semilogaritmice, curentul de colector în funcție de tensiunea emitor-bază pentru un tranzistor cu germaniu.

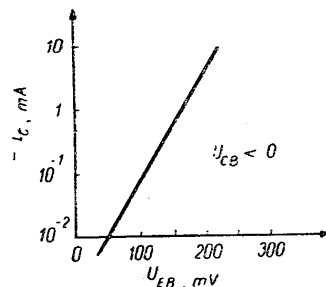


Fig. 4. Curentul de colector în funcție de tensiunea emitor-bază

2. Curentul de colector este comandat de curentul de bază. Acest punct de vedere stă la baza unui set de caracteristici statice ale tranzistorului în care curentul de colector este trasat în funcție de tensiunea colector-emitor avînd ca parametru curentul de bază.

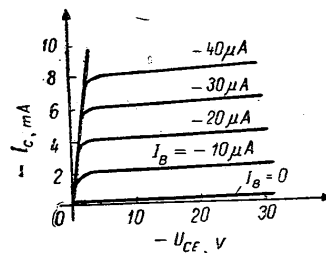


Fig. 5. Caracteristica de ieșir cu emitorul comun

O asemenea familie de caracteristici este arătată în fig. 5; ea este familia caracteristicilor de ieșire cu emitorul comun.

3. Curentul de colector este comandat prin curentul de emitor. În general acest punct de vedere nu este util pentru descrierea electrică a dispozitivului, din cauză că în majoritatea circuitelor practice cu tranzistoare „semnalul de intrare” se aplică în bază și deoarece curenții de colector și de emitor sînt aproximativ egali.

Relația între curentul de emitor și tensiunea emitor-bază are aceeași formă cu caracteristica  $I-U$  a unei diode idealizate cu joncțiune  $pn$ . Din această cauză, comportarea tranzistorului la bornele emitor-bază poate fi modelată utilizînd o diodă idealizată cu joncțiune (fig. 6a).

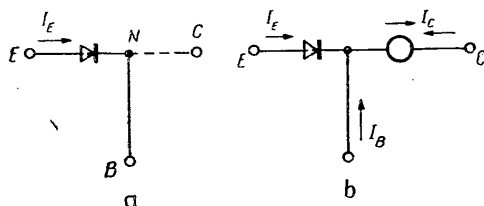


Fig. 6. a. Circuit echivalent parțial la bornele emitor-bază în comportarea statică în regim activ b. Circuit echivalent complet

Dependența exponențială a curentului de colector de tensiunea emitor-bază și independența sa de tensiunea colector-bază pot fi modelate cu ajutorul unui generator de curent dependent sau controlat fig. 6b.

Un generator dependent se deosebește de unul independent (care este un concept familiar în teoria elementară a circuitelor) doar prin faptul că valoarea sa nu este fixă ci depinde de o anumită variabilă din circuit.

Astfel generatorul de curent controlat din fig. 6b furnizează în colector un curent care depinde în mod explicit de o tensiune din altă parte a circuitului și anume de tensiunea la bornele emitor-bază  $U_{EB}$ .

În nodul N din fig. 6a se poate scrie relația;

$$I_E + I_B + I_C = 0$$

$$\text{și } I_E = -(I_B + I_C)$$

$$I_E = I_S \left( e^{\frac{q U_{EB}}{KT}} - 1 \right)$$

$$I_B = \delta I_E = \delta I_S \left( e^{\frac{q U_{EB}}{KT}} - 1 \right)$$

$$I_C = (1 - \delta) \cdot I_S \cdot \left( e^{\frac{q U_{EB}}{KT}} - 1 \right)$$

Curentul de bază se exprimă ca o fracție a curentului de emitor

$\frac{KT}{q}$  este tensiunea termică  $U_T$  egală cu 25 mV la 17°C

$q$  = sarcina electronului (notată și cu  $e = 1,6 \cdot 10^{-19}$  C)

$K$  = constanta lui Boltzmann =  $1,37 \cdot 10^{-23}$  J/°K

$T$  = temperatura absolută [°K]

$\delta$  = coeficient numit „pierdere în bază”, sau „defect în bază” are valori de ordinul  $10^{-1} \dots 10^{-3}$

Valoarea sa este greu de controlat cu precizie în proiectarea și fabricarea tranzistoarelor. Astfel un grup de tranzistoare de același tip pot avea o împrăștiere a valorilor lui  $\delta$  chiar în raport de 1 la 10. Rapoartele modulelor curenților sînt independente de  $U_{EB}$  și  $I_S$  și depind numai de  $\delta$ .

$$1. \left| \frac{I_C}{I_E} \right| = 1 - \delta = \alpha$$

$\alpha$  este factorul de amplificare statică de curent în circuit cu baza comună, este foarte apropiat de 1.

$$2. \left| \frac{I_C}{I_B} \right| = \frac{1 - \delta}{\delta} = \beta$$

$\beta$  este factorul de amplificare statică de curent în circuit cu emitorul comun.

$$\alpha = \frac{\beta}{1 + \beta}; \quad \beta = \frac{\alpha}{1 - \alpha}$$

variază între  $10$  și  $10^3$

Dacă semnalul de intrare se aplică la bornele emitor-bază și ieșirea este considerată la bornele colector-bază, se spune că tranzistorul funcționează în conexiunea cu baza comună fig. 7a. Dacă borna comună este emitorul, conexiunea este cea cu emitorul comun fig. 7b.

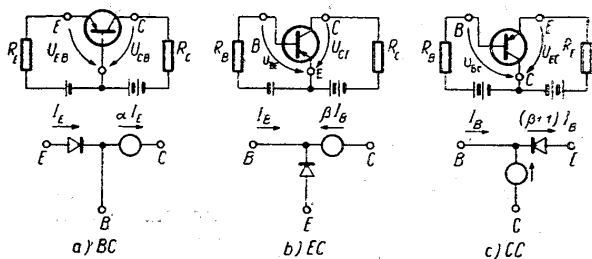


Fig. 7. Scheme de conectare a tranzistoarelor  
a. conexiunea cu baza comună BC b. conexiunea cu emitorul comun EC  
c. conexiunea cu colectorul comun CC

Dacă borna comună este colectorul, conexiunea este cea cu colectorul comun fig. 7 c.

Pentru conexiunea cu baza comună BC, mărimile electrice de intrare sînt curentul de emitor  $I_E$  și tensiunea emitor-bază  $U_{EB}$ , iar mărimile electrice de ieșire sînt curentul de colector  $I_C$  și tensiunea colector-bază  $U_{CB}$ .

Pentru conexiunea cu emitorul comun EC, mărimile electrice de intrare sînt curentul de bază  $I_B$  și tensiunea bază-emitor  $U_{BE}$ , iar mărimile electrice de ieșire sînt curentul de colector  $I_C$  și tensiunea colector-emitor  $U_{CE}$ .

Pentru conexiunea cu colectorul comun CC, mărimile electrice de intrare sînt curentul de bază  $I_B$  și tensiunea bază-colector  $U_{BC}$ , iar mărimile de ieșire sînt curentul de emitor  $I_E$  și tensiunea emitor-colector  $U_{EC}$ .

Alegerea uneia din cele trei conexiuni este condiționată de mărimile impedanțelor sau rezistențelor de intrare și ieșire precum și de amplificările de tensiune, curent și putere dorite. Cea mai des folosită este conexiunea EC.

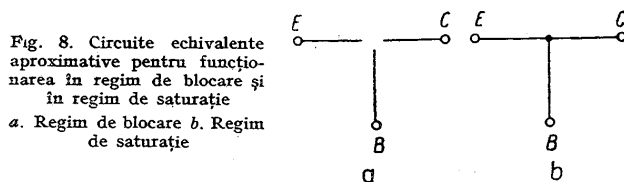
Toate discuțiile, calculele și circuitele echivalente prezentate pînă acum se bazează pe două presupuneri, privind condițiile electrice de funcționare ale tranzistorului:

1. Joncțiunea emitorului este polarizată direct: tot timpul am presupus că tensiunea directă pe această joncțiune este mult mai mare decît  $U_T = \frac{kT}{q}$

2. Joncțiunea colectorului este polarizată invers cu valori ale tensiunii mult mai mari decît  $U_T = \frac{kT}{q}$  (în valoare absolută)

Aceste condiții definesc limitele regiunii active: modelele deduse pot fi folosite pentru analiza circuitelor numai dacă tranzistorul este în regiunea activă. Un mod de a părăsi regiunea activă este ca joncțiunea emitorului să devină invers polarizată. Se spune atunci că tranzistorul este blocat (tăiat). În regiunea de tăiere curenții la borne sînt cu toții foarte mici (de ordinul  $I_{CBO}$  sau  $I_S$ ) și independenți de tensiunile pe joncțiuni.

În prima aproximatie, comportarea electrică a unui tranzistor în regiunea de tăiere poate fi modelată printr-un circuit deschis, după cum se arată în fig. 8 a.



Tranzistorul poate de asemenea să părăsească regiunea activă dacă joncțiunea colectorului devine polarizată direct. Se spune atunci că dispozitivul este saturat. Tensiunile pe cele două joncțiuni polarizate direct sînt mici și relativ independente de curenți. Într-o primă aproximatie, comportarea electrică a unui tranzistor saturat, poate fi modelată printr-un scurtcircuit după cum se arată în fig. 8 b.

În figura 9 se reprezintă unul din modurile în care un tranzistor bipolar *pnp* poate fi folosit în circuit ca dispozitiv de control și de amplificare. Colectorul și emitorul fac parte dintr-un circuit ce conține o sursă de tensiune continuă, de valoare constantă  $E_C$  și o sarcină constituită din rezistența  $R_S$ . Circuitul de intrare, alcătuit din  $E_B$  și  $R_B$  este conectat între bază și emitor. Deoarece terminalul emitorului face parte atît din circuitul de intrare cît și din cel de ieșire, circuitul acesta formează exemplul tipic de configurație cu emitorul comun.

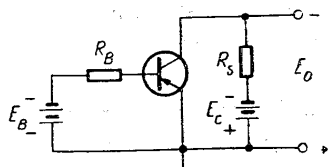


Fig. 9. Amplificator cu emitorul comun

Este convenabil să reprezentăm dispozitivul prin unul din modelele statice pentru regiunea activă (fig. 7 b) în care dioda fiind permanent deschisă a fost înlocuită printr-un scurtcircuit (cazul mai simplu). Avem acum de-a face cu un circuit electric obișnuit, fig. 10.

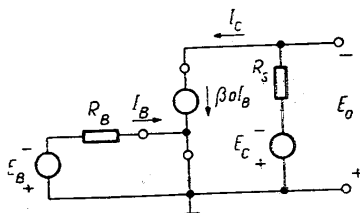


Fig. 10. Circuitul din figura 9 în care tranzistorul a fost înlocuit cu circuitul său echivalent

$$I_B = -\frac{E_B}{R_B}$$

$$E_O = E_C + I_C R_S = E_C + \beta I_B R_S = E_C - \beta \frac{R_S}{R_B} E_B$$

Această ecuație arată că tensiunea de ieșire a amplificatorului  $E_O$  este mult mai sensibilă la variațiile tensiunii  $E_B$  decât la cele ale tensiunii  $E_C$ .

$$\text{Într-adevăr: } \left. \frac{\Delta E_O}{\Delta E_C} \right|_{E_B \text{ constant}} = 1$$

$$\text{în timp ce } \left. \frac{\Delta E_O}{\Delta E_B} \right|_{E_C \text{ constant}} = \beta \frac{R_S}{R_B} = A_U$$

Considerînd valorile uzuale  $R_S = R_B = 1 \text{ k}\Omega$  și  $\beta = 100$ ,  $E_O$  va varia cu 100 mV pentru o variație de un milivolt la  $E_B$ . Se spune astfel că circuitul posedă importanța și folositoarea proprietate de a produce amplificarea de tensiune. Circuitul are de asemenea proprietatea de a produce amplificarea de curent. Variația curentului de ieșire (de colector) produsă de o variație a curentului de intrare (de bază) este

$$\frac{\Delta I_C}{\Delta I_B} = \beta = A_I$$

Pentru valorile numerice introduse mai înainte o variație de un microamper a curentului  $I_B$  produce o variație de 100  $\mu\text{A}$  pentru  $I_C$ .

Tranzistoarele nu sînt folosite în circuite pentru că ar avea fie amplificarea de tensiune, fie de curent (fiecare dintre acestea ar putea fi realizată separat cu cîte un transformator) ci pentru că ambele pot fi realizate simultan cu un același circuit, făcînd astfel posibilă amplificarea de putere.

Puterea furnizată circuitului de sursa de intrare este:

$$P_{in} = -E_B I_B = I_B^2 R_B$$

Puterea furnizată circuitului de sursa  $E_C$  este:

$$-E_C I_C = -E_O I_C + I_C^2 R_S$$

Primul termen din partea dreaptă este puterea cedată tranzistorului (și disipată de acesta prin căldură) iar al doilea termen din dreapta este puterea cedată rezistenței de sarcină. Raportul dintre puterea dezvoltată în sarcină și puterea furnizată de sursa de intrare este:

$$\frac{P_{sarcină}}{P_{intrare}} = \left( \frac{I_C}{I_B} \right)^2 \cdot \frac{R_S}{R_B} = \beta^2 \frac{R_S}{R_B} = A_P$$

Acest raport, care poate fi numit amplificarea de putere a circuitului are o valoare de  $10^4$  pentru valorile elementelor folosite mai sus. Se observă că el este produsul între amplificarea de tensiune și amplificarea de curent.

$$A_P = A_U \times A_I$$

Cele de mai sus ilustrează rolul tranzistorului ca dispozitiv de comandă de putere.

Puterea eliberată în sarcină de către sursa  $E_c$  este controlată de variabila de intrare  $E_b$ . Mai mult, acest control se realizează cu un consum mic de putere la intrare.

Este interesant a prezenta aici ecuațiile Ebers-Moll cu ajutorul cărora curenții unui tranzistor cu anumiți parametri pot fi deduși prin calcul.

Ecuațiile deduse de J. J. Ebers și J. L. Moll descriu comportarea tranzistorului pentru orice fel de polarizări aplicate joncțiunilor, pentru toate cele trei regimuri de funcționare (blocat, activ, saturat).

Tot ele conduc la un circuit echivalent de regim staționar al tranzistorului, valabil pentru orice polarizări aplicate celor două joncțiuni (cu generatoare de curent care pun în evidență efectul de tranzistor).

$$\alpha_N I_{EBO} = \alpha_I I_{CBO}$$

$$I_C = \frac{\alpha_N I_{EBO}}{1 - \alpha_N \alpha_I} \left( e^{\frac{U_{EB}}{U_T}} - 1 \right) + \frac{I_{CBO}}{1 - \alpha_N \alpha_I} \left( e^{\frac{U_{CB}}{U_T}} - 1 \right)$$

$$I_E = \frac{I_{EBO}}{1 - \alpha_N \alpha_I} \left( e^{\frac{U_{EB}}{U_T}} - 1 \right) - \frac{\alpha_I I_{CBO}}{1 - \alpha_N \alpha_I} \left( e^{\frac{U_{CB}}{U_T}} - 1 \right)$$

în care:  $U_T$  este tensiunea termică:

$$U_T = \frac{kT}{q} = 25 \text{ mV} \quad \text{pentru tranzistoare cu germaniu la } 17^\circ\text{C}$$

$$U_T = \frac{nkT}{q} = 25 \dots 52 \text{ mV} \quad \text{pentru tranzistoare cu siliciu la temperatura de } 17^\circ\text{C}$$

De remarcă că pentru  $U_{EB}$ ,  $U_{CB}$  mai mari decât 0,1 V există relațiile

$$e^{\frac{U_{EB}}{U_T}} \gg 1 \quad e^{-\frac{U_{CB}}{U_T}} \ll 1$$

$I_{CBO}$  = curentul rezidual al colectorului

$I_{EBO}$  = curentul rezidual al emitorului

$\alpha_N = \alpha$  la funcționare normală

$\alpha_I = \alpha$  la funcționare inversată

Ecuațiile Ebers-Moll caracterizează tranzistorul intrinsec, în sensul că  $U_{EB}$  și  $U_{CB}$  sînt tensiuni efective aplicate joncțiunilor și nu tensiuni aplicate terminalelor. Ele pot fi utilizate cu suficient de bună precizie atât pentru tranzistoarele cu germaniu cit și pentru cele cu siliciu, la calculul circuitelor de polarizare, amplificatoarelor de curent continuu, chopperelor și circuitelor de comutație, după o determinare experimentală a patru parametri:  $I_{CBO}$ ,  $I_{EBO}$ ,  $\alpha_N$  și  $\alpha_I$ .

## 1.2. Tranzistorul în regim static

Într-un circuit electronic un tranzistor trebuie să lucreze la un curent de colector și la o tensiune colector-emitor avînd anumite valori, în consecință curentul de bază are o anumită valoare și așa mai departe; se spune că tranzistorul lucrează într-un anumit punct de funcționare. Acest lucru se realizează practic cu anumite valori de rezistențe care sînt conectate la electrozii tranzistorului formînd așa numitul circuit de polarizare; dacă nu se impun condiții speciale de polarizare, se recomandă alegerea punctului de funcționare, pentru care sînt dați parametrii de semnal mic în cataloage.

În determinarea circuitelor de polarizare, trebuie luate în considerație următoarele variații (care duc la modificarea nedorită a punctului de funcționare).

a) variația curentului rezidual de colector  $I_{CBO}$  cu temperatura. Pentru majoritatea tranzistoarelor este acceptată în calcule o lege de variație a lui  $I_{CBO}$  cu temperatura joncțiunii de forma:

$$I_{CBO}[(25 \pm \Delta T)^\circ\text{C}] = I_{CBO}[25^\circ\text{C}] e^{\pm a \Delta T}$$

unde:

$$\frac{1}{a} = 12,5^\circ\text{C} \quad \text{pentru tranzistorul cu germaniu}$$

$$\frac{1}{a} = 8^\circ\text{C} \quad \text{pentru tranzistorul cu siliciu}$$

În general, trebuie să se conteze pe o dublare a lui  $I_{CBO}$  pentru  $9^\circ\text{C}$  la tranzistoarele cu germaniu și pentru  $6^\circ\text{C}$  la tranzistoarele cu siliciu.

În proiectarea circuitului de polarizare, valoarea minimă a lui  $I_{CBO}$  se presupune a fi 0, iar valoarea maximă se ia din foile de catalog care dau caracteristici  $I_{CBO} = f(T_j)$ . Din figura 11 se observă că pentru tranzistoarele cu siliciu efectul lui  $I_{CBO}$  este uzual neglijabil dacă temperatura joncțiunii este sub 100 de grade Celsius, cu condiția unui curent de emitor mai mare decât 1  $\mu\text{A}$ .

b) variația tensiunii bază-emitor  $U_{BE}$  cu temperatura; în regiunea activă normală de lucru tensiunea bază-emitor este în jur de 0,2 V pentru tranzistoarele cu germaniu și de 0,6 V pentru tranzistoarele cu siliciu și scade cu apro-

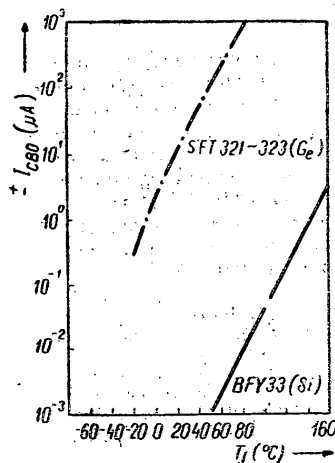


Fig. 11. Variația curentului rezidual  $I_{CBO}$  cu temperatura joncțiunii pentru tranzistoare npn cu siliciu (BFY 33) și pnp cu germaniu (SFT 321-323)

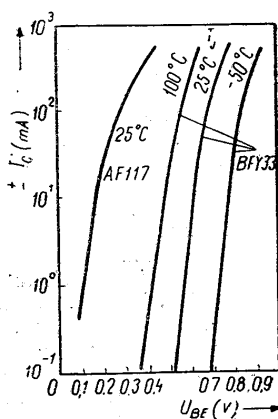


Fig. 12. Variația tensiunii bază-emitor cu temperatura pentru  $I_C$  constant

ximativ 2,2 mV/C° cînd curentul de emitor este menținut constant.

c) variația factorului de amplificarea statică în curent cu temperatura. În cataloage sînt specificate valorile maxime și minime pentru (la) 25°C. Aceste valori sînt afectate de temperatură conform caracteristicilor normalizate prezentate în fig. 13.

În absența acestor caracteristici se poate totuși efectua un calcul, luînd în considerație relația cu totul acoperitoare:

$$\beta[(25 \pm \Delta T)^\circ\text{C}] = \beta(25^\circ\text{C}) \left[ 1 \pm \frac{\Delta T}{K} \right]$$

în care  $K = 100^\circ\text{C}$  pentru tranzistoare cu germaniu  
 $K = 50^\circ\text{C}$  pentru tranzistoare cu siliciu

Pentru tranzistoarele cu siliciu de mică putere, constantele date aici au caracter informativ, deoarece în calculele circuitelor de polarizare uzuale variația parametrilor  $I_{CBO}$

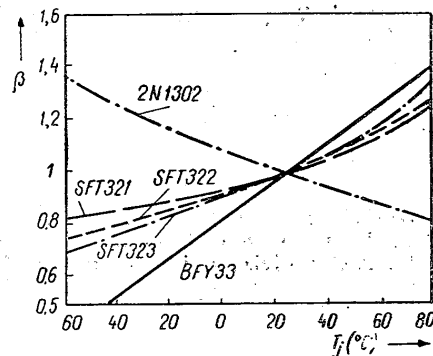


Fig. 13. Variația factorului de amplificare în curent  $\beta$  cu temperatura

și  $\beta$  cu temperatura se neglijează. Micșorarea sensibilității termice se face folosind reacția, sau componentele neliniare a căror variație cu temperatura ambiantă compensează variațiile tensiunii  $U_{BE}$  sau  $I_{CBO}$ .

În fig. 14 a și b sînt date două exemple de circuite de polarizare: cu rezistență serie în baza (a) și cu divizor de tensiune (b).

Pentru montajul din fig. 14 a (cunoscut ca circuit de polarizare cu curent de bază constant) fiind date  $U_{CE}$ ,

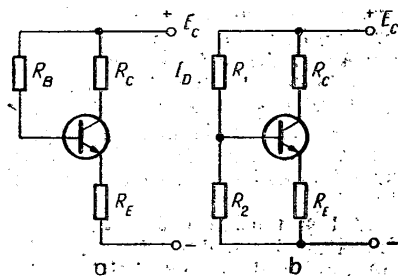


Fig. 14. Circuite de polarizare cu rezistență serie în bază (a) și cu divizor de tensiune (b)

$I_C$ ,  $E_C$ ,  $I_B$ , alegând  $R_E$  (din condiții de sensibilitate) și aproximând  $I_E \approx -I_C$  și  $U_{BE} \ll E_C$  se pot determina  $R_B$  și  $R_C$ .

$$R_B = \frac{E_C - I_C R_E}{I_B}$$

$$R_C = \frac{E_C - U_{CE}}{I_C} - R_E$$

Pentru montajul din fig. 14b fiind date  $U_{CE}$ ,  $I_C$ ,  $E_C$ ,  $U_{BE}$ , alegând  $R_E$  și aproximând  $I_E \approx -I_C$   $I_E = 0,1 \dots 0,2 I_D$ , ( $I_D$  = curentul divizorului se obțin relațiile:

$$R_1 = \frac{E_C - U_{BE} - R_E I_C}{I_D}$$

$$R_2 = \frac{U_{BE} + R_E I_C}{I_D}$$

$$R_C = \frac{E_C - U_{CE}}{I_C} - R_E$$

O atenție deosebită trebuie acordată efectului de șuntare a rezistenței de polarizare a bazei de către rezistența statică de intrare, relativ mică a tranzistorului.

Între mărimile de funcționare  $I_B$ ,  $I_E$ ,  $I_C$ ,  $U_{BE}$ ,  $U_{CE}$ ,  $U_{CB}$  etc. există relații de interdependență, care reprezentate grafic alcătuiesc caracteristicile statice de funcționare ale tranzistorului. Caracteristicile statice care se ridică în mod curent sînt:

- curentul de intrare în funcție de tensiunea de intrare;
- curentul de ieșire în funcție de tensiunea de intrare;
- curentul de ieșire în funcție de tensiunea de ieșire;
- tensiunea de ieșire în funcție de curentul de intrare;
- curentul de ieșire în funcție de curentul de intrare.

În cataloage sînt prezentate familii de caracteristici statice (în care apare a treia mărime ca parametru).

Funcționarea unui etaj de amplificare cu tranzistor este determinată atunci cînd se cunosc patru mărimi ale acestuia:

$I_1 U_1$  curentul și tensiunea de la intrarea etajului și  $I_2 U_2$  curentul și tensiunea de la ieșirea etajului.

O singură familie de caracteristici statice reprezintă dependența numai între trei dintre mărimile cunoscute, una fiind dată ca parametru.

Pentru determinarea celei de a patra mărimi este necesară a doua familie de caracteristici.

Pentru un tranzistor sînt posibile multe familii de caracteristici statice distincte, dintre care numai două sînt independente, celelalte pot fi deduse din acestea.

În fig. 15 s-au reprezentat pentru un tranzistor în conexiune cu emitorul comun caracteristicile de ieșire  $I_C = f(U_{CE}, I_B)$  și caracteristicile de intrare  $I_B = f(U_{BE}, U_{CE})$  care formează o pereche de caracteristici independente.

Punctul de funcționare se poziționează pe caracteristicile statice de funcționare.

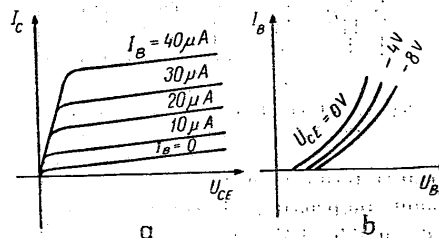


Fig. 15. Familii de caracteristici statice ale unui tranzistor în conexiune EC a. caracteristici de ieșire b. caracteristici de intrare

Datorită dependenței parametrilor  $I_{CB0}$ ,  $U_{BE}$ ,  $\beta$  de temperatură, dependență prezentată la începutul acestui capitol, punctul de funcționare se modifică.

Stabilizarea punctului static de funcționare se face prin două categorii de metode: metode de stabilizare liniară, bazate pe utilizarea reacției negative (realizată cu circuite cu elemente liniare) și metode de stabilizare neliniară.

Metodele de stabilizare neliniară folosesc principiul compensării variațiilor cu temperatura ale punctului static de funcționare, cu ajutorul unor elemente neliniare, avînd caracteristici dependente de temperatură.

Se demonstrează că stabilitatea este cu atît mai bună cu cît  $R_E$  este mai mare (vezi fig. 14). (reacție negativă în curent continuu) și  $R_2$  este mai mică.

Din punct de vedere fizic, efectul rezistențelor  $R_E$  se explică ușor. Astfel pe rezistența  $R_E$  ia naștere o cădere

de tensiune care tinde să mențină curentul de emitor constant, deoarece polarizează invers joncțiunea emitor-bază.

Efectul rezistenței  $R_2$  se explică: căderea de tensiune provocată de  $I_{CBO}$  pe ea, va fluctua cu atât mai puțin la variațiile  $I_{CBO}$  cu temperatura cu cât valoarea (rezistenței)  $R_2$  este mai mică.

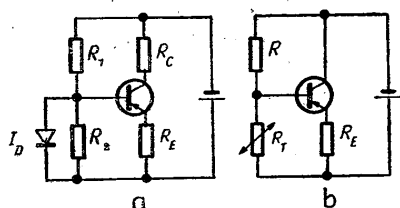


Fig. 16. Scheme de polarizare cu compensare termică a. cu diodă b. cu termistor

Stabilizarea termică cu elemente neliniare, numită în mod obișnuit compensare, folosește: I — o diodă polarizată invers cu 0,5–1 V care reprezintă un generator de curent constant egal cu  $I_{CBO}$  care anulează complet efectul modificării lui  $I_{CBO}$  asupra circuitului de polarizare. (fig. 16 a);

II — o schemă de compensare cu termistor, a cărei rezistență scade cu temperatura. Se produce astfel o scădere a polarizării directe și se asigură menținerea aproximativ constantă a curentului la variațiile temperaturii (fig. 16 b).

### 1.3. Tranzistorul în regim variabil (dinamic)

Până acum s-au considerat situații care caracterizează funcționarea tranzistorului la polarizări constante (în regim staționar). Dacă se aplică tranzistorului polarizări care variază în timp suficient de lent, încât în fiecare moment el se află într-o stare staționară determinată de valoarea polarizărilor la momentul respectiv (numită stare cvasista-

ționară) aceasta corespunde funcționării tranzistorului în regim variabil de joasă frecvență.

În analiza amplificării semnalelor de joasă frecvență folosind etaje cu tranzistoare se deosebesc două tipuri de probleme:

— amplificarea semnalelor mari (în etajele finale de putere) pentru care tranzistorul se comportă neliniar.

— amplificarea semnalelor mici față de care tranzistorul se comportă ca un cuadripol liniar.

Problema amplificării semnalelor mari de joasă frecvență se rezolvă cu ajutorul caracteristicilor statice.

Cînd lucrează la semnale mici, tranzistorul — în general un element neliniar — poate fi considerat un element liniar.

Metoda cea mai potrivită pentru analiza tranzistorului în regim liniar s-a dovedit a fi metoda cuadripolului, prin care între curenții și tensiunile de la intrarea ( $i_1, u_1$ ) și ieșirea ( $i_2, u_2$ ) tranzistorului se stabilesc relații cu ajutorul a patru parametri deduși pe baza teoriei cuadripolului (fig. 17).

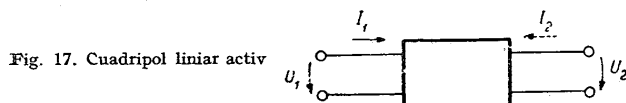


Fig. 17. Cuadripol liniar activ

Cu ajutorul acestor parametri se pot calcula proprietățile principale ale etajului de amplificare pentru semnale mici.

Pentru caracterizarea etajului amplificator cu tranzistor este necesar să se calculeze mai multe mărimi și anume: amplificarea de curent, de tensiune, de putere, rezistența de intrare și rezistența de ieșire. Cei patru parametri rezultă prin scrierea în toate modurile posibile a relațiilor dintre  $u_1, i_1$  și  $u_2, i_2$ . Există șase posibilități de scriere a acestor relații (tabelul 1); dintre care trei sînt aplicabile în măsurări).

Astfel, dacă se consideră curenții  $i_1$  și  $i_2$  variabile independente, rezultă parametri  $Z$  (de natura unor impedențe), dacă se consideră tensiunile  $u_1$  și  $u_2$  variabile independente rezultă parametri  $y$  (de natura unor admitanțe) iar dacă variabilele independente sînt curentul  $i_1$  și tensiunea  $u_2$ ,



Tabelul 7

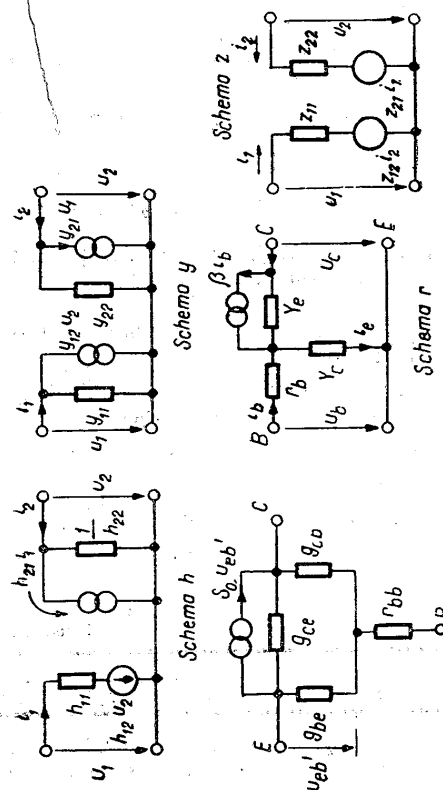
Relațiile posibile între cele patru variabile ale cuadripolului echivalent

Varia- bile inde- pen- dente	Ecuații generale	Ecuațiile cuadripolului	Parametrii rezultanți
$i_1, i_2$	$u_1 = f_1(i_1, i_2)$ $u_2 = f_2(i_1, i_2)$	$u_1 = z_{11}i_1 + z_{12}i_2$ $u_2 = z_{21}i_1 + z_{22}i_2$	$z_{11} = \left. \frac{u_1}{i_1} \right _{i_2=0}$ $z_{12} = \left. \frac{u_1}{i_2} \right _{i_1=0}$ $z_{21} = \left. \frac{u_2}{i_1} \right _{i_2=0}$ $z_{22} = \left. \frac{u_2}{i_2} \right _{i_1=0}$
$u_1, u_2$	$i_1 = f_3(u_1, u_2)$ $i_2 = f_4(u_1, u_2)$	$i_1 = y_{11}u_1 + y_{12}u_2$ $i_2 = y_{21}u_1 + y_{22}u_2$	$y_{11} = \left. \frac{i_1}{u_1} \right _{u_2=0}$ $y_{12} = \left. \frac{i_1}{u_2} \right _{u_1=0}$ $y_{21} = \left. \frac{i_2}{u_1} \right _{u_2=0}$ $y_{22} = \left. \frac{i_2}{u_2} \right _{u_1=0}$
$i_1, u_2$	$u_1 = f_5(i_1, u_2)$ $i_2 = f_6(i_1, u_2)$	$u_1 = h_{11}i_1 + h_{12}u_2$ $i_2 = h_{21}i_1 + h_{22}u_2$	$h_{11} = \left. \frac{u_1}{i_1} \right _{u_2=0}$ $h_{12} = \left. \frac{u_1}{u_2} \right _{i_1=0}$ $h_{21} = \left. \frac{i_2}{i_1} \right _{u_2=0}$ $h_{22} = \left. \frac{i_2}{u_2} \right _{i_1=0}$
$u_1, i_2$	$i_1 = f_7(u_1, i_2)$ $u_2 = f_8(u_1, i_2)$		
$i_1, u_1$	$i_2 = f_9(i_1, u_1)$ $u_2 = f_{10}(i_1, u_1)$		
$i_2, u_2$	$i_1 = f_{11}(i_2, u_2)$ $u_1 = f_{12}(i_2, u_2)$		

rezultă parametrii hibridi,  $h$ , numiți astfel deoarece sînt atît de natura unor impedanțe cît și de natura unor admitanțe.

Circuitele echivalente electrice corespunzătoare acestor parametri se prezintă în fig. 18.

Din considerente fizice asupra structurii interne a tranzistorului, circuitul echivalent cel mai sugestiv este circuitul în T în care  $r_b, r_e$  reprezintă chiar rezistențele interne ale



Schema „hibrid” pt j.f

Fig. 18. Circuite echivalente ale tranzistorului

emitorului, bazei și colectorului independente de tipul de conexiune (BC sau EC) a tranzistorului (fig. 18 schema  $r$ ) sau circuitul  $\pi$  hibrid pentru joasă frecvență.

Expresii importante pentru parametrii schemei echivalente  $\pi$  hibrid în joasă frecvență:

$$g_{b'e} = \frac{S_0}{\beta}; \beta = \text{factorul de amplificare în curent bază - colector}$$

$$g_{ce} = \frac{S_0}{K} \cdot g_{b'e} = \frac{S_0}{\beta k} \quad k = \text{coeficient de reacție internă}$$

S-a notat:

$$S_0 = \alpha \frac{i_E}{U_T} \approx (30 - 38) i_E; \quad S_0 = \text{pantă intrinsecă}$$

$r_{bb'}$  = rezistența extrinsecă de bază (rezistența materialului bazei de la contactul exterior până la baza intrinsecă B').

$S_0 U_{eb'}$  = generatorul de curent (reprezintă curentul de la emitor la colector)

Cu ajutorul parametrilor  $h$  s-au putut calcula proprietățile caracteristice ale schemelor de bază.

Ecuatiile cuadripolului utilizând parametri  $h$  sînt următoarele

$$u_1 = h_{11} i_1 + h_{12} u_2$$

$$i_2 = h_{21} i_1 + h_{22} u_2$$

Parametrii  $h$  pentru conexiunile EC și BC

EC				
$h_{11e}$	$h_{12e}$	$h_{21e}$	$h_{22e}$	$h_{11b}$
$\frac{h_{11b}}{1 + h_{21b}}$	$\frac{h_{11b} h_{22b}}{1 + h_{21b}} - h_{12b}$	$-\frac{h_{21b}}{1 + h_{21b}}$	$\frac{h_{22b}}{1 + h_{21b}}$	$\frac{h_{11e}}{1 + h_{21e}}$
3 K $\Omega$	$10^{-4}$	210	$10 \cdot 10^{-8} (1/\Omega)$ $10 \cdot 10^{-8} \Omega^{-1}$	14,2 $\Omega$

Valori numerice pentru tranzistorul BC109A

unde:

$$h_{11} = \left. \frac{u_1}{i_1} \right|_{u_2 = 0} = \text{impedanța de intrare cu ieșirea în scurtcircuit}$$

$$h_{12} = \left. \frac{u_1}{u_2} \right|_{i_2 = 0} = \text{factorul de transfer invers în tensiune cu intrarea în gol (factorul de reacție inversă)}$$

$$h_{21} = \left. \frac{i_2}{i_1} \right|_{u_2 = 0} = \text{factorul de transfer direct în curent cu ieșirea în scurtcircuit (amplificarea directă de curent) (corespunde pentru } \alpha \text{ sau } \beta \text{ în regim dinamic)}$$

$$h_{22} = \left. \frac{i_2}{u_2} \right|_{i_1 = 0} = \text{admitanța de ieșire cu intrare în gol}$$

În tabelul 2 se dau relațiile aproximative de trecere între conexiunile BC și EC în care sînt specificați de obicei în catalog parametrii  $h$ . Valorile numerice aparțin tranzistorului BC109A pentru  $I_e = 2 \text{ mA}$ ,  $U_{CE} = 5 \text{ V}$ ,  $f = 1 \text{ kHz}$ .

În figura 19 s-a reprezentat schema echivalentă a etajului de amplificare cu tranzistor sub forma de cuadripol caracterizat prin parametrii  $h$ .

Cu  $R_s$  s-a notat rezistența internă a sursei de semnal, iar cu  $R_L$  rezistența de sarcină a etajului. Deoarece pentru moment nu se specifică modul de conectare a tranzistorului, relațiile care vor fi prezentate sînt valabile pentru orice schemă de conectare.

Tabelul 2

BC		
$h_{12b}$	$h_{21b}$	$h_{22b}$
$\frac{h_{21e} h_{22e}}{1 + h_{21e}} - h_{12e}$	$-\frac{h_{21e}}{1 + h_{21e}}$	$\frac{h_{22e}}{1 + h_{21e}}$
$1,55 \cdot 10^{-4}$	-0,995	$0,85 \cdot 10^{-8} (1/\Omega)$ $0,85 \cdot 10^{-8} \Omega^{-1}$

Astfel :

amplificarea  
de curent

$$A_I = \frac{h_{21}}{1 + h_{22}R_S}$$

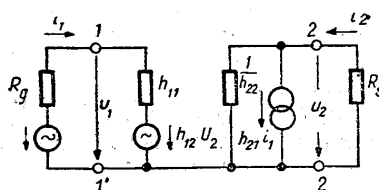


Fig. 19. Schema echivalentă a etajului amplificator cu tranzistor sub formă de cuadripol caracterizat prin parametrii h.

amplificarea  
de tensiune

$$A_u = \frac{-R_S h_{21}}{h_{11} + R_S \Delta h} \quad \Delta h = h_{11}h_{22} - h_{12}h_{21}$$

amplificarea  
de putere

$$A_p = \frac{h_{21}^2 R_S}{(1 + h_{22}R_S)(h_{11} + R_S \Delta h)}$$

rezistența  
de intrare

$$R_{intr} = \frac{h_{11} + R_S \Delta h}{1 + h_{22}R_S}$$

rezistența  
de ieșire

$$R_{ies} = \frac{R_G + h_{11}}{h_{22}R_G + \Delta h}$$

Prezentarea comparativă a proprietăților caracteristice ale etajelor de amplificare cu tranzistor în cele trei conexiuni de bază este dată în tabelul 3.

Pe baza unei analize teoretice complete se poate deduce pentru tranzistor un circuit echivalent natural valabil la orice frecvență de lucru. Unul din circuitele cele mai uzuale este circuitul echivalent natural sau Giacoletto (fig. 20).

Circuitul Giacoletto are în plus față de circuitul hibrid de joasă frecvență numai capacitățile \$C\_{b'e}\$, \$C\_{b'c}\$. Avantajul esențial al acestui circuit constă în valabilitatea sa într-un domeniu de frecvență destul de larg. Teoretic și experi-

Tabelul 3

Proprietăți caracteristice ale schemelor de bază

Mărimea	Conexiunea EC	Conexiunea BC	Conexiunea CC
— Rezistența de intrare \$R_{intr}\$	medie \$R_{intr e}\$	mică \$R_{intr b} = \frac{R_{intr e}}{\beta}\$	mare \$R_{intr c} \approx \beta R_S\$
— Rezistența de ieșire \$R_{ies}\$	mare \$R_{ies e}\$	f. mare \$R_{ies b} = \beta R_{ies e}\$	mică \$R_{ies c} = \frac{R_{intr e} + R_G}{\beta}\$
— Amplificare de curent \$A_i\$	mare \$\beta\$	subunitară \$\alpha = \frac{\beta}{\beta + 1}\$	mare \$\gamma = \beta + 1\$
— Amplificare de tensiune \$A_u\$	mare	mare	subunitară
— Amplificare de putere \$A_p\$	f. mare	mare	medie
— Frecvența limită	mică \$f_\beta\$	mare \$f_\alpha = \beta \omega_\beta\$	mică \$\approx f_\beta\$

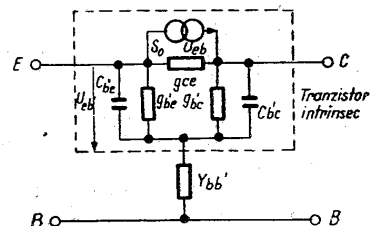


Fig. 20. Circuitul echivalent Giacoletto

mental se arată că acest circuit dă deplină satisfacție în domeniul de frecvență:  $f < \frac{f_a}{4}$  sau  $f < \frac{\beta_0 f_\beta}{3,3}$  unde:

$f_a$  = frecvența la care amplificarea în curent în conexiune BC scade la  $1/\sqrt{2}$  din valoarea sa de joasă frecvență, denumită și frecvență limită a tranzistorului.

$f_\beta$  = frecvența la care amplificarea în curent în conexiune EC scade la  $1/\sqrt{2}$  din valoarea sa de joasă frecvență.

#### 1.4. Tranzistorul în regim de comutație

În regimul de comutație, tranzistorul poate fi privit ca un întrerupător comandat între colector și emitor; el este succesiv închis și deschis prin comandă pe bază, trecerea între aceste stări făcându-se cu o viteză mare. Regimul de comutație asigură schemei electrice o funcționare sigură din punctul de vedere al influenței diverselor perturbații (variații de tensiune de alimentare, temperatură, sarcină, etc.).

Schemele electronice de comutație se pot combina ușor cu diferite dispozitive mecanice de acționare, pe care le comandă rapid și sigur.

În general în acest regim este folosită conexiunea cu emitorul comun.

În regimul de comutație, tranzistorul lucrează succesiv în regiunea de blocare și regiunea de saturație.

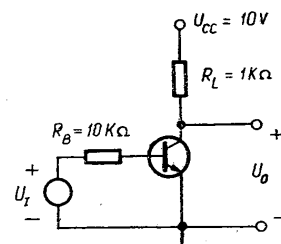
În starea de blocare, curenții prin tranzistor sînt foarte mici și independenți de tensiunile joncțiunilor.

În stare de conducție în regiunea de saturație, joncțiunea de emitor și cea de colector sînt polarizate direct și astfel toate tensiunile între electrozii tranzistorului sînt mici.

Tranzistorul este constrîns să lucreze în stările de blocare și conducție descrise mai sus prin generarea sau evacuarea sarcinii electrice din bază. Circuitul cel mai simplu pentru realizarea funcției de comutare este inversorul din fig. 21.

Circuitul inversor va produce una sau alta din cele două valori de ieșire care sînt esențial independente de caracteristicile tranzistorului (tensiune maximă pentru starea blocată și mică ~ nulă pentru starea de conducție).

Fig. 21. Circuit inversor simplu cu tranzistor npn.



dacă intrarea este constrînsă să ia una sau alta din valorile a două domenii complet separate (vezi fig. 22).

Mai precis dacă  $U_I$  este negativ tranzistorul este blocat și  $U_o$  este aprox. 10 V (tensiunea de alimentare de colector).

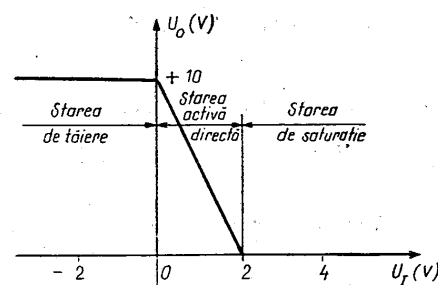


Fig. 22. Caracteristici de transfer statice pentru circuitul inversor din fig. 21.

Dacă pe de altă parte  $U_I$  este mai mare de 2 V, tranzistorul este saturat și  $U_o$  este aproximativ zero.

Modul de comutare a unui tranzistor în conexiunea EC este ilustrat și în fig. 23.

Punctul T corespunde stării de blocare a tranzistorului, obținută prin asigurarea condiției  $i_B \leq 0$ . Tensiunea colector-emitor este în acest caz practic egală cu cea de alimentare. (10 V)

La aplicarea unui curent de comandă  $i_B > 0$ , tranzistorul se deschide trecînd rapid în starea S. Tensiunea

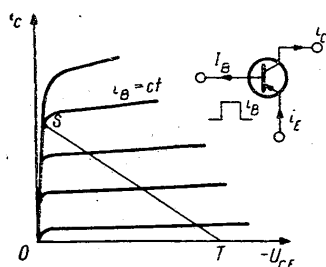


Fig. 23. Comutarea tranzistorului în conexiune EC.

colector-emitor este aprox. zero. După un timp oarecare, curentul de comandă este readus la valoarea inițială  $i_B \leq 0$  și tranzistorul revine relativ rapid în starea inițială de blocare  $T$ . El a fost deschis cît timp a durat impulsul de comandă pe bază. Ca urmare a acestui ciclu, pe sarcina de ieșire a tranzistorului apare un impuls de tensiune.

### 1.5. Limitări în funcționare (limite absolute)

Sistemul valorilor limite absolute conține valorile unor parametri care asigură o funcționare acceptabilă a oricărui dispozitiv dintr-un tip dat, fără nici o responsabilitate din partea producătorului pentru efectele schimbării condițiilor de lucru, datorită variației caracteristicilor echipamentului, mediului sau dispozitivului considerat.

A. Pentru orice circuit care conține dispozitive semiconductoare, considerațiile legate de temperatura sînt vitale. În general, se pot defini trei domenii mari de aplicații ale tranzistoarelor, fiecare avînd printre alte caracteristici și o gamă de temperatura ambiantă  $T_A$  specifică:

- aplicații de larg consum  $T_A = 0 \dots +55^\circ\text{C}$
- aplicații industriale  $T_A = -25 \dots +75^\circ\text{C}$
- aplicații militare  $T_A = -65 \dots +125^\circ\text{C}$

Pentru joncțiunea în funcționare, se are în vedere o temperatură maximă posibilă  $T_{jmax}$  care depinde de natura materialului de bază al dispozitivului. Pentru tranzistoarele cu siliciu  $T_{jmax} = 175^\circ\text{C}$  iar pentru cele cu germaniu  $T_{jmax} = 85^\circ\text{C}$ .

$T_{jmax}$  este o limită absolută. Ea nu trebuie depășită niciodată.

Limita absolută inferioară în funcționare este pentru ambele tipuri de tranzistoare  $T_{jmin} = -65^\circ\text{C}$ .

În absența funcționării se pot admite pentru joncțiuni temperaturi mai ridicate. Tranzistoarele cu siliciu pot fi stocate la temperaturi pînă la  $200^\circ\text{C}$  iar cele cu germaniu la temperaturi pînă la  $100^\circ\text{C}$ . Temperatura minimă de stocare este tot  $-65^\circ\text{C}$ . Temperaturile de stocare sînt de asemenea limite absolute.

B. Curentul de colector maxim este recomandat de producător după încercări statistice cu rezultate satisfăcătoare din punctul de vedere al duratei de viață, pentru un număr mare de dispozitive. Valorile maxime ale curenților de colector continuu și de impuls  $I_{Cmax}$  sînt valori limită absolute. Ele nu trebuie depășite niciodată.

C. Puterea disipată în tranzistor conduce la creșterea temperaturii joncțiunilor. Ea are expresia  $P_D = U_{BE} \times I_E + U_{CB} \times I_C$ . Pentru regimul activ normal:  $P_D \approx U_{CB} \times I_C$ . În regim de saturație puterile disipate pe cele două joncțiuni devin comparabile.

Pentru un tranzistor dat, puterea disipată maximă se calculează cu ajutorul unei mărimi măsurabile, specifică tehnologiei, numită rezistență termică  $R_{th}$ .

Rezistența termică  $R_{th}$  reprezintă raportul dintre diferența  $T_{jmax} - T_A$  (dintre temperatura joncțiunii și temperatura unui punct de referință exterior specificat) și puterea constantă  $P_d$  disipată în dispozitiv în regim staționar. Cu cît rezistența termică este mai mare, cu atît căldura dezvoltată în joncțiune trece mai greu în mediul ambiant (cu temperatura  $T_A$ ) și puterea disipată maximă admisibilă este mai mică:

$$P_d = \frac{T_{jmax} - T_A}{R_{th}}$$

Valoarea rezistenței termice este o limită absolută. Ea nu trebuie depășită niciodată.

Schema echivalentă de răcire a unui tranzistor este prezentată în fig. 24, unde:

$R_{thj}$  — rezistența termică între joncțiune și capsulă.

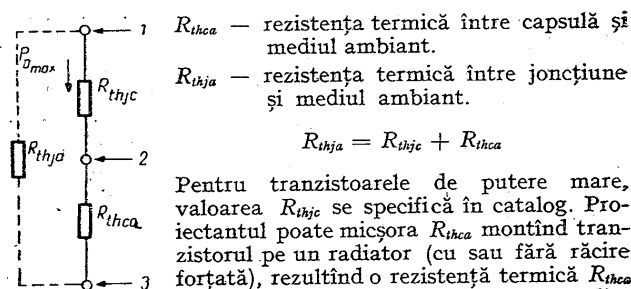


Fig. 24. Schema echivalentă de răcire a unui tranzistor.

Pentru tranzistoarele de putere mare, valoarea  $R_{thjc}$  se specifică în catalog. Proiectantul poate micșora  $R_{thca}$  montând tranzistorul pe un radiator (cu sau fără răcire forțată), rezultând o rezistență termică  $R_{thja}$  cu atât mai mică cu cât suprafața radiatorului este mai mare. Pentru dispozitive de mică putere, proiectantul nu mai intervine asupra caracteristicilor termice și în catalog se specifică  $R_{thja}$ . În fig. 25 se arată că pentru o valoare  $R_{th}$  un tranzistor cu siliciu suportă o putere disipată maximă admisibilă mai mare decât un tranzistor cu germaniu, datorită valorii superioare a temperaturii maxim admisibile a joncțiunii. Valoarea puterii disipate maxime (valoare de curent continuu sau medie) este o limită absolută. Ea nu trebuie depășită nicio dată.

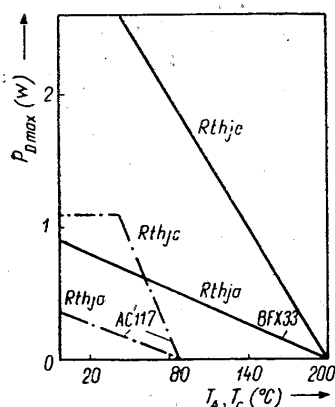


Fig. 25. Puterea disipată maximă admisă în funcție de temperatura ambiantă și de temperatura capsulei pentru un tranzistor cu germaniu (AC 117) și unul cu siliciu (BFV 33) cu aceeași rezistență termică.

D. La polarizări inverse mari, purtătorii de sarcină din regiunea de sarcină spațială ciocnesc și ionizează atomi neutri. Multiplicarea purtătorilor capătă caracterul unei avalanșe și, ca urmare, curentul joncțiunii crește brusc. Tensiunea la care  $I_C \rightarrow \infty$  se numește tensiune de străpungere

$$U_{CE} = U_{BE} + U_{CB} \approx U_{CB} \quad (U_{BE} \ll U_{CB}).$$

Deci o altă limitare importantă în funcționarea tranzistorului în regimul activ normal sau în regimul de blocare o constituie valoarea maximă a tensiunii care poate fi aplicată joncțiunii colector-bază (sau colector-emitor) care este tot o limită absolută.

## 2. TRANZISTOARE UNIPOLARE

Tranzistoarele unipolare sau cu efect de câmp (TEC) al căror curent de ieșire este comandat de un câmp electric transversal, au unele avantaje și posibilități specifice față de tranzistoarele bipolare: funcționează cu un singur tip de purtători — cei majoritari — și de aceea sînt mult mai stabile cu temperatura: asigură un nivel redus de zgomot și de distorsiuni pînă la frecvențe foarte înalte: prezintă o impedanță de intrare foarte mare; au bune caracteristici de comutație; sînt imune la radiații; au amplificare de curent și de putere foarte mare.

În esență, TEC îmbină proprietățile cele mai favorabile ale tranzistoarelor și tuburilor electronice; de asemenea se pretează foarte bine încorporării în circuitele electronice integrate. Făcînd o comparație între tranzistoarele cu efect de câmp tip J (cu poartă joncțiune) și cele tip MOS putem spune că ele sînt foarte asemănătoare în ceea ce privește atît principiul lor de funcționare cît și caracteristicile electrice. Cu toate acestea există și între ele două mari deosebiri:

— *prima*, TEC—J poate lucra doar cu joncțiunea porții polarizată invers. Dacă joncțiunea porții este polarizată direct, are loc o injecție de purtători în exces, iar curentul de poartă devine important. Deși conductanța

canalului este mărită într-o oarecare măsură de prezența purtătorilor în exces tranzistorul nu lucrează niciodată în acest mod, deoarece apare curentul de poartă.

— a doua, chiar când TEC—J lucrează cu polarizarea inversă a joncțiunii, curentul de poartă este mai mare decât ar fi la un TEC—MOS comparabil (ceea ce implică o rezistență de intrare mult mai mare la TEC MOS). Curentul produs prin extragerea de purtători minoritari la o joncțiune polarizată invers este mai mare, (pe unitatea de arie) decât curentul determinat de existența stratului de oxid într-un TEC—MOS. Ca urmare, tranzistorul TEC—MOS este mult mai util în aplicațiile de electrometrie decât TEC—J.

Din aceste motive și de asemenea deoarece sînt într-o oarecare măsură mai ușor de fabricat, TEC—MOS sînt mult mai larg răspîndite decât TEC—J.

Trebuie specificat că la TEC—MOS din încărcarea electrostatică a hainelor celui ce manipulează tranzistorul, din utilizarea unui ciocan de lipit necorespunzător, etc. pe grilă pot apărea în mod parazit, cu ușurință, tensiuni care determină străpungerea oxidului și deteriorarea tranzistorului. Evitarea distrugerii tranzistorului se face în două moduri:

— tranzistorul se livrează și se manipulează cu toate picioarele legate între ele cu o sîrmă, care se scoate după montarea lui în circuit,

— în interiorul capsulei, în același substrat cu tranzistorul se realizează un sistem de protecție (de exemplu o diodă Zener cu  $U_Z = 30-50$  V sau un alt TEC—MOS cu  $U_p = 50-60$  V)

## 2.1. Tranzistoare unipolare cu poartă (grilă) — joncțiune

Ele sînt cunoscute mai bine sub denumirea de tranzistoare cu efect de cîmp cu poartă (grilă) joncțiune TEC—J. Structura tipică a acestui tip de tranzistor este ilustrată în figura 26: două regiuni de sarcină spațială corespunzînd la două joncțiuni  $pn$  mărginesc un canal de conducție, în acest caz, de tip „n”.

Cele două regiuni de tip  $p$  sînt conectate împreună formînd electrodul porții. Capetele canalului sînt conectate la alți 2 electrozi: sursa și drenă.

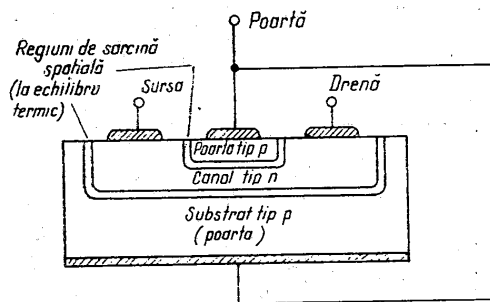


Fig. 26. Secțiune transversală printr-un tranzistor cu efect de cîmp cu poartă joncțiune cu canal n. Desenul nu este făcut la scară

Tranzistorul cu efect de cîmp cu poartă — joncțiune funcționează în mod normal cu joncțiunile polarizate invers.

Din teoria joncțiunii  $pn$  se știe că regiunea de sarcină spațială este lipsită de purtători mobili de sarcină.

Acțiunea de control a porții asupra curentului se realizează în această structură prin penetrarea tot mai accentuată a regiunii de sarcină spațială în canal (reducînd deci lărgimea canalului), odată cu creșterea polarizării inverse a joncțiunilor.

Prin reducerea lărgimii canalului se reduce și conductanța dintre sursă și drenă, deci scade și valoarea curentului de drenă, curent de electroni care se îndreaptă de la sursă la drenea pozitivă, determinat de tensiunea drenă — sursă  $U_{DS}$ .

Rezultă clar și semnificația termenului de „efect de cîmp” utilizat în denumirea tranzistorului.

Acest termen descrie mecanismul de control al curentului ca efect al variației conductanței canalului (prin intermediul modificării lărgimii canalului) în funcție de intensitatea cîmpului electric din zona poartă-canal, intensitate evident determinată de tensiunea de grilă (poartă).

Relativ la polaritățile tensiunilor aplicate, trebuie observat că o funcționare normală a tranzistorului cu efect de cîmp cu poartă joncțiune implică polarizarea inversă a joncțiunilor poartă-canal. Pentru cazul unui tranzistor cu canal n aceasta înseamnă că poarta trebuie să fie negativă

față de sursă. Pentru tranzistorul cu canal  $p$  poarta este pozitivă față de sursă. Sursa este întotdeauna considerată electrod de referință pentru tensiunile aplicate grilei și drenei.

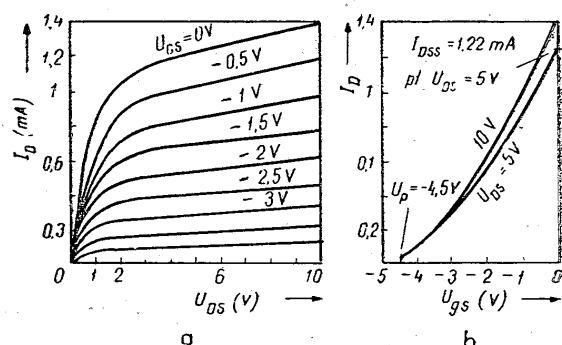


Fig. 27. Caracteristici statice ale TEC-J de mică putere, canal de tip  $n$

a. Caracteristica  $I_D(U_{DS})$  b. caracteristica  $I_D(U_{GS})$  în regim de saturație.

Caracteristicile statice tipice pentru acest tranzistor cu canal  $n$  sînt date în figura 27. Se constată o mare asemănare cu caracteristicile unei pentode.

Aceste caracteristici statice tipice se numesc:

— caracteristica de ieșire (de drenă)  $I_D = f(U_{DS})$  pentru  $U_{GS} = ct \leq 0$

În fig. 27a sînt date o familie de caracteristici de ieșire pentru diverse valori  $U_{GS} \leq 0$ .

— caracteristica de transfer  $I_D = f(U_{GS})$  pentru  $U_{DS} = ct$

În fig. 27b sînt date 2 caracteristici de transfer pentru  $U_{DS} = 10\text{ V}$   $U_{DS} = 5\text{ V}$ .

Pentru TEC-J cu canal  $p$  caracteristicile au aceeași formă, schimbîndu-se doar sensul curenților și semnul tensiunilor (reprezentarea în cadrul 3).

În planul  $I_D$ ,  $U_{DS}$  se deosebesc două regiuni importante:

a) la  $U_{DS}$  mici (în general  $U_{DS} = 0,1 - 0,3\text{ V}$ ) cînd  $I_D$  variază practic liniar cu  $U_{DS}$ , TEC-J se comportă ca

o rezistență a cărei valoare este controlată prin tensiunea de grilă. Această regiune se numește regiunea liniară (sau uneori regiunea de tip triodă).

b) la  $U_{DS}$  mari, cînd  $I_D$  este practic constant, independent de  $U_{DS}$  depinzînd numai de  $U_{GS}$ . Această regiune se numește regiune de saturație (sau uneori regiune de tip pentodă). În regiunea de saturație dependența curenților de drenă  $I_D$  de tensiunea de grilă  $U_{GS}$  este bine aproximată printr-o relație de forma:

$$I_D = I_{DSS} \left( 1 - \frac{U_{GS}}{U_{pr}} \right)^2 \quad (\text{expresia caracteristicii de transfer})$$

unde  $I_{DSS}$  este curențul de drenă de saturație, pentru tensiune de grilă nulă iar  $U_{pr}$  este tensiunea de tăiere (de prag) definită ca tensiunea de grilă cea mai puțin negativă, începînd de la care nu mai trece curent prin tranzistor. Simbolul tranzistorului cu efect de cîmp cu poartă joncțiune este prezentat în figura 28 secțiunea 1.

$U_{pr}$  se mai numește tensiune de strangulare (a canalului) pentru a ilustra mai clar fenomenul fizic.

## 2.2. Tranzistoare unipolare cu poartă (grilă) izolată

Ele sînt cunoscute mai bine sub denumirea de tranzistoare cu efect de cîmp de tip MOS.

Aceste tranzistoare se caracterizează prin existența unui strat izolator între poarta metalică și canalul semiconductor. Întrucît stratul izolator se realizează frecvent din bioxid de siliciu, structura unui astfel de TEC este denumită uzual MOS (metal-oxid-semiconductor).

În funcție de natura canalului semiconductor există două tipuri de TEC-MOS cu canal indus și cu canal inițial (v. fig. 28) în fiecare caz canalul putînd fi tip  $n$  sau tip  $p$ .

Structurile cu canal indus se realizează pe un substrat semiconductor din siliciu slab dopat, în care se difuzează zonele sursei și drenei dopate puternic cu purtători de semn opus celor din substrat. Se pot obține astfel două tipuri de tranzistoare MOS cu canal indus: tip  $n$  sau tip  $p$ . Pe întreaga suprafață se crește apoi un strat izolator de bioxid de siliciu după care se îndepărtează stratul crescut pe suprafețele regiunilor de drenă și sursă, depunîndu-se



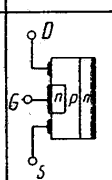
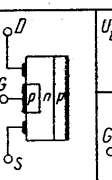
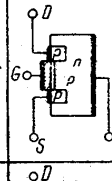
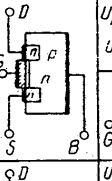
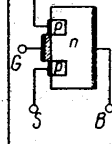
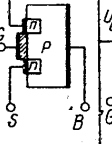
	Canal tip p	Canal tip n
1 TEC cu grilă jonctune	 $U_D \leq 0, I_D \leq 0$ $U_G \geq 0$	 $U_D \geq 0, I_D \geq 0$ $U_G \leq 0$
2 Canal izolat	 $U_D \leq 0, I_D \leq 0$ $U_G \geq 0, U_B \geq 0$	 $U_D \geq 0, I_D \geq 0$ $U_G \leq 0, U_B < 0$
3 TEC cu grilă indusă	 $U_D \leq 0, I_D \leq 0$ $U_G < 0, U_B \geq 0$	 $U_D \geq 0, I_D \geq 0$ $U_G > 0, U_B \leq 0$

Fig. 28. Structura fizică, simbolul utilizat și sensul tensiunilor și curenților pentru TEC în condiții normale de lucru. Electroful de referință este sursa. Pentru TEC—J s-a presupus baza legată la grilă.

în schimb un strat subțire de metal formînd două contacte ohmice (care servesc la introducerea și extragerea curenților) numite sursă  $S$  și drenă  $D$ ; un strat subțire de metal se depune și pe stratul de oxid cuprins între regiunea sursei și drenei fig. 29. Desenul din figura 29 nu este făcut la scară, în realitate suprafața totală a substratului pe care este realizat tranzistorul este de aproximativ  $150 \mu^2$ , regiunile de drenă și sursa au adîncimi de ordinul a  $5 - 10 \mu$ , iar distanța dintre ele  $L$  de  $10 - 20 \mu$ . Stratul de oxid are de regulă o grosime de aproximativ  $0,1 \mu$ .

Cînd electroful poartă nu este supus unei tensiuni electrice, chiar dacă între electrozii sursei și drenei există o diferență de potențial (o tensiune electrică) între sursă și

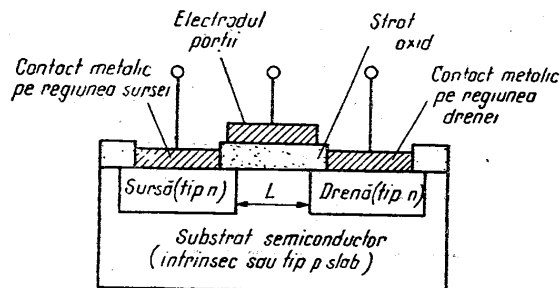


Fig. 29. Structura fizică a tranzistorului cu efect de câmp de tip metal-oxid-semiconductor (TEC—MOS) Secțiune transversală prin dispozitiv

drenă nu apare un curent electric, deoarece regiunile de sursă și drenă împreună cu regiunea din substratul semiconductor cuprinsă între aceste două regiuni formează două joncțiuni  $pn$  legate în opoziție, astfel că indiferent de polaritatea tensiunii aplicate între sursă și drenă, una din joncțiuni va fi polarizată invers, blocînd astfel calea de conducție între sursă și drenă prin semiconductorul intrinsec—regiunea de tăiere. Cînd poarta este supusă unui potențial pozitiv față de regiunile de sursă și drenă, se creează un câmp electric datorită căruia se acumulează sarcină negativă într-un strat situat sub electroful de poartă (strat de inversiune) electroni extrași din regiunile de sursă sau drenă, care formează un canal între sursă și drenă („canalul indus”) a cărui conductanță electrică depinde de diferența de potențial între poartă și sursă (fig. 30).

În fig. 30b se prezintă caracteristica  $G_c = f(U_{GS})$

unde:  $G_c$  — este conductanța canalului indus;  
 $U_{GS}$  — tensiune între grilă și sursă;  
 $U_{Pr}$  — tensiune grilă — sursă de la care începe formarea canalului indus. Curentul trece prin canal ca urmare a tensiunii pozitive aplicate între drenă și sursă și este controlat de tensiunea pozitivă grilă (poartă) — sursă.

În fig. 30c se prezintă caracteristicile de ieșire (de drenă)  $I_D = f(U_{DS})$  la tensiuni mici  $U_{DS}$  (în regiunea liniară) pentru două valori ale  $U_{GS}$  (+1 V și +2 V) Ca o consecință, TEC—MOS se utilizează ca rezistență controlată prin tensiune.

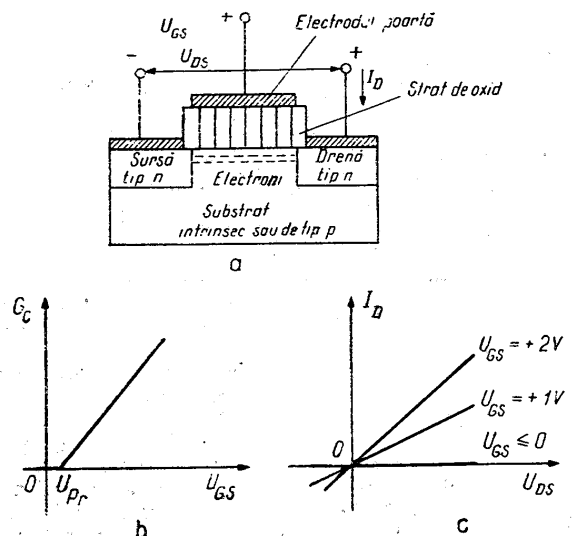


Fig. 30. Un canal conductor între sursă și drenă poate fi indus pozitivând grila în raport cu sursa și cu drenă:  
a. Situația fizică b. Conductanța între sursă și drenă c. Caracteristicile de drenă

Pînă acum s-a presupus că diferența de potențial între drenă și sursă este mică în comparație cu cea dintre poartă și sursă;

Dacă  $U_{DS} \approx U_{GS}$  intensitatea cîmpului electric variază de-a lungul canalului așa cum se arată în fig. 31a și caracteristicile de ieșire sau de drenă devin neliniare ca în fig. 31b. curenții intrînd în regiunea de saturație\* și fiind exprimat de relația care exprimă caracteristica de transfer:

$$I_{Dsat} = \frac{\beta}{2} (U_{GS} - U_{pr})^n \text{ unde } n \text{ ia valori apropiate de } 2 \text{ și } \beta \text{ este un parametru constructiv } \approx 0,8 \frac{mA}{V^2}$$

\* A nu se confunda cu regiunea de saturație a tranzistorului bipolar.

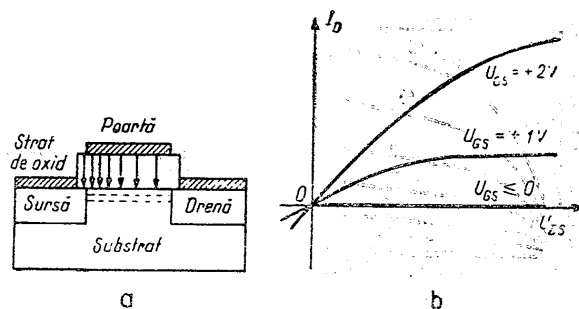


Fig. 31. Cînd tensiunea între drenă și sursă nu este neglijabilă caracteristicile de drenă devin neliniare;  
a. Situația fizică b. Caracteristicile de drenă

În figura 32 se prezintă caracteristici de drenă complete.  $I_D = f(U_{DS})$  pentru 3 valori  $U_{GS}$  (+5 V, +10 V, +15 V)

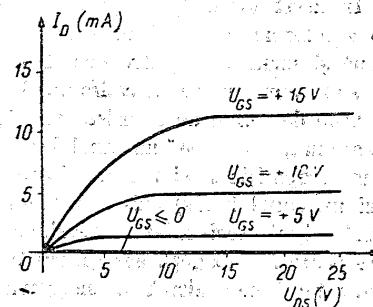


Fig. 32. Caracteristicile de drenă complete; pentru  $U_{DS} > U_{GS}$  curenții se saturează

Caracteristicile de ieșire (sau de drenă) experimentale se deosebesc de cele teoretice pentru că în regim de saturație au o pantă diferită de 0, care se datorește scurtării stratului de inversiune odată cu creșterea tensiunii  $U_{DS}$ . În fig. 33 se dă familia caracteristicilor de ieșire experimentale pentru TEC MOS cu canal indus  $I_D = f(U_{DS}, U_{GS})$

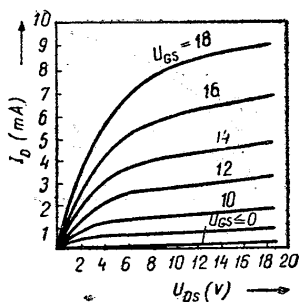


Fig. 33. Caracteristicile de drenă experimentale

Simbolul tranzistorului cu efect de câmp MOS cu canal indus de tip  $n$  este prezentat în fig. 28 secțiune 3.

Desigur, poate fi realizat și un tranzistor cu canal indus de tip  $p$  (vezi fig. 28) folosindu-se aceleași procedee de fabricație.

În acest dispozitiv, regiunile sursei și drenei sînt de tip  $p$  puternic dopate și lucrează cu tensiuni negative între drenă și sursă, ca și între poartă și sursă. Caracteristicile lor sînt reprezentate în cadranul 3.

Spre deosebire de tranzistoarele MOS descrise mai sus, în care inițial nu există un canal de conducție, el formîndu-se doar la apariția unei tensiuni între poartă și sursă (fiind deci un canal indus) există și tranzistoare MOS care au canal inițial, deci chiar la tensiune nulă poartă-sursă, și care poate fi îmbogățit sau sărăcit în sarcină electrică aplicînd o tensiune pozitivă sau negativă între poartă și masă. Acesta este tranzistorul MOS cu canal inițial (v. fig. 28) la care tensiunea  $U_{GS}$  aplicată mărește sau reduce în funcție de semnul ei, conductanța canalului inițial.

Familia caracteristicilor de drenă (de ieșire) experimentale  $I_D = f(U_{DS}, U_{GS})$  pentru un tranzistor TEC-MOS cu canal inițial de tip  $n$  sînt prezentate în fig. 34.

Simbolurile tranzistorului TEC-MOS cu canal inițial tip  $n$  sau  $p$  sînt prezentate în fig. 28 secțiunea 2.

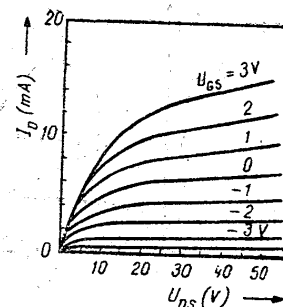


Fig. 34. Caracteristicile de drenă experimentale pentru un tranzistor MOS cu canal inițial de tip  $n$

Întrucît la TEC-MOS cu canal inițial  $U_{GS} \geq 0$ , caracteristica de transfer  $I_D = I_D(U_{GS})$  este similară celei de la TECJ dar deplasată spre cadranul I.

### 2.3. Tranzistorul unipolar în regim static

Cînd un TEC lucrează simultan la anumite valori pentru  $I_D$ ,  $U_{DS}$ ,  $U_{GS}$  se spune că el lucrează într-un anumit punct de funcționare.

Acest punct de funcționare se realizează conectînd între terminalele TEC-ului rezistențe de valori adecvate rezultate din calcule, formînd așa numitul circuit de polarizare.

Punctul de funcționare se alege pe caracteristicile statice de drenă (de ieșire)  $I_D = f(U_{DS}, U_{GS})$  și de transfer  $I_D = f(U_{GS})$  după cum se observă în fig. 35a, b, (punctul de funcționare, A —  $I_{D0} U_{DS0} U_{GS0}$ ).

În amplificatoare, TEC este folosit aproape întotdeauna în regiunea de saturație a curentului de drenă (de aceea în continuare prin  $I_D$  și  $g_m$  se înțelege  $I_{Dsat}$  și  $g_{msat}$ ); în acest regim caracteristica sa de transfer statică  $F_D = I_D = f(U_{GS})$  poate fi exprimată în cazul unui TEC-J sau a unui TEC-MOS cu canal inițial prin relația

$$I_D = I_{Dss} \left( 1 - \frac{U_{GS}}{U_{pr}} \right)^2$$

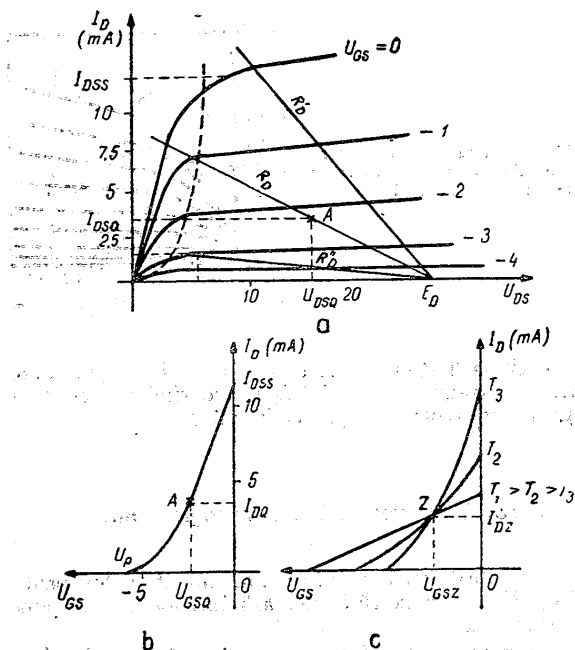


Fig. 35. Alegerea punctului de funcționare al unui TEC într-un etaj amplificator

a. în planul  $I_D, U_{DS}$  b. în planul  $I_D, U_{GS}$  c. în planul  $I_D, U_{GS}$  la un curent de drenă independent de temperatură

Dependența curentului de drenă  $I_D$  de tensiunea de grilă  $U_{GS}$  este determinată de conductanța mutuală  $g_m$ .

Conform definiției

$$g_m = \left. \frac{\partial I_D}{\partial U_{GS}} \right|_{U_{DS}=c} = - \frac{2I_{DSS}}{U_{pr}} \left( 1 - \frac{U_{GS}}{U_{pr}} \right) = g_{m0} \left( 1 - \frac{U_{GS}}{U_{pr}} \right)$$

unde

$$g_{m0} = - \frac{2I_{DSS}}{U_{pr}} \text{ este valoarea conductanței mutuale la } U_{GS} = 0.$$

Aceste relații se verifică experimental foarte bine, practic, pentru toate TEC.

Luind de exemplu ca valori tipice  $I_{DSS} = 12,5$  mA și  $U_{pr} = -5$  V, se obține la  $U_{GS} = 0$   $g_{m0} = 5$  mA/V iar la  $U_{GS} = -2,75$  V  $I_D = 2,5$  mA  $g_m = 2,25$  mA/V. Pentru TEC-J de diferite tipuri,  $g_{m0} \approx 0,1 \dots 10$  mA/V. Pentru TEC-MOS cu canal indus (de exemplu de tip  $p$ ) funcționând de asemenea în regim saturat, la o tensiune de drenă constantă se poate exprima în mod unitar caracteristica de transfer  $I_D = f(U_{GS})$ ;

$$I_D = - \frac{\beta}{2} (U_{GS} - U_{pr})^2$$

respectiv

$$g_m = -\beta(U_{GS} - U_{pr}) = \frac{2I_D}{U_{GS} - U_{pr}}$$

unde  $\beta$  este un parametru constructiv al TEC-MOS.

Luind ca valoare tipică  $\beta \approx 0,8 \frac{\text{mA}}{\text{V}^2}$  la  $I_D = 2,5$  mA rezultă  $g_m \approx 2 \frac{\text{mA}}{\text{V}}$ . Valorile uzuale de conductanțe mutuale întâlnite la TEC-MOS, destinate a fi utilizate ca amplificatoare, la curenți nedepășind 10 mA, sînt cuprinse între 0,1 și 5 mA/V.

Pentru comparație luăm cazul tranzistorului bipolar unde, conductanța mutuală este  $S_0$  din schema echivalentă pentru joasă frecvență ( $\pi$  hibrid) a tranzistorului bipolar

$$S_0 = \frac{qI_c}{KT} \approx 40 I_c$$

La aceeași valoare a curentului  $I_c = 2,5$  mA rezultă  $S_0 \approx 100$  mA/V adică o valoare de 40-50 de ori mai mare decît la un TEC.

Deriva minimă cu temperatura a punctului de funcționare (derivă datorată factorului de conducție intrinsec și tensiunii de prag) se poate obține alegînd (polarizînd TEC la) tensiunea de grilă corespunzătoare coeficientului de temperatură zero al curentului  $I_D$  adică pentru un TEC-J  $|U_{GSZ}| \approx |U_{pr}| - 0,63$  și  $I_{DZ} \approx I_{DSS} \frac{(0,63)^2}{U_{pr}}$  așa cum se arată prin punctul Z în fig. 35c.

Acest punct nu este însă suficient de reproductibil pentru diferitele exemplare de TEC de aceeași fabricație, deoarece au o oarecare împrăștiere pentru  $U_{pr}$  și  $I_{DSS}$ . Determinarea punctului de derivă nulă la TEC—MOS este chiar mai dificilă. Sînt de aceea de preferat în acest scop circuitele de polarizare care stabilizează curentul de drenă prin reacție negativă de curent continuu.

Cel mai simplu circuit de polarizare pentru un TEC—J sau pentru un TEC—MOS cu canal inițial este circuitul de polarizare automată ilustrat în fig. 36a, similar celui folosit pentru polarizarea tuburilor electronice care și stabilizează punctul de funcționare prin reacția negativă introdusă de  $R_S$ .

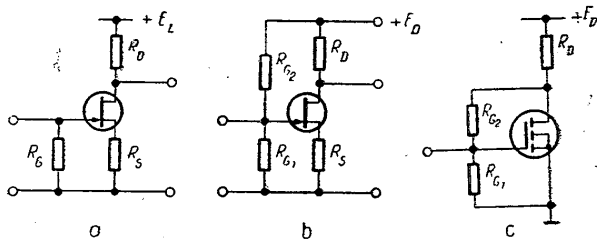


Fig. 36. Circuite de polarizare

- a. Polarizare automată a grilei unui TECJ sau TEC MOS cu canal inițial b. Polarizarea grilei prin divizor de tensiune simplu de intrare. c. Divizor de tensiune conectat la drenă pentru polarizarea grilei unui TEC—MOS cu canal indus

Pentru a obține punctul de funcționare dorit  $-I_{DQ}$ ;  $U_{DSQ}$ ;  $U_{GSQ}$  — rezistența  $R_S$  — trebuie să aibă valoarea

$$R_S = - \frac{U_{GSQ}}{I_{DQ}}$$

și

$$R_D = \frac{E_D - U_{DSQ} - R_S I_{DQ}}{I_{DQ}}$$

Circuitul asigură într-o anumită măsură și stabilizarea punctului de funcționare față de împrăștierea din fabricație a TEC. Dacă este necesară o stabilizare și mai bună a punc-

tului de funcționare se folosește circuitul de polarizare din fig. 36b, prin divizor de tensiune simplu la intrare.

În acest caz

$$R_S = \frac{U_G - U_{GSQ}}{I_{DQ}}$$

Pentru  $R_{G1}$ ,  $R_{G2}$  se adoptă valori nu prea mari pentru a avea  $U_G$  bine definit.

Pentru polarizarea unui TEC—MOS cu canal indus nu se poate folosi circuitul din fig. 36a deoarece căderea de tensiune pe  $R$  este în sensul polarizării inverse a grilei. Se poate însă folosi circuitul din fig. 36b cu condiția ca  $|U_G| > |U_{pr}|$  și să asigure polarizarea dorită a grilei.

De asemenea se poate folosi circuitul din fig. 36c care asigură o funcționare mai liniară cu semnal nedistorsionat pentru  $U_{GS} < U_{DS}$  care stabilizează punctul de funcționare prin reacția negativă introdusă de  $R_{G1}R_{G2}$  dar concomitent amplificarea și impedanța de intrare sînt reduse.

În general electrodul de referință față de care se raportează tensiunile de lucru ale tranzistoarelor TEC este sursa; schemele care lucrează astfel sînt în conexiune sursă-comună SC. Totuși TEC-urile pot fi folosite și în conexiunea cu grilă comună (GC) sau în conexiunea cu drenă comună (DC) numită și repetorul de sursă (fig. 37).

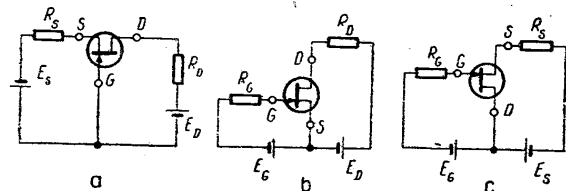


Fig. 37. Scheme de conectare a TEC

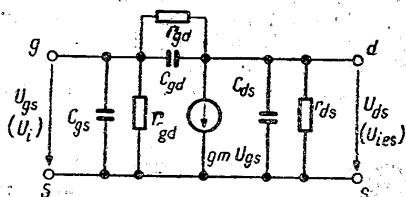
- a. conexiunea cu grilă comună GC b. conexiunea cu sursă comună SC c. conexiunea cu drenă comună DC

Tranzistoarele unipolare au valori limită (maxime) în funcționare pentru tensiunea drenă-sursă  $U_{DS}$ , tensiunea grilă-sursă  $U_{GS}$ , curentul de drenă  $I_D$  și puterea disipată

De asemenea în cataloage se indică parametrii construc-  
tivi ( $I_{DSS}$ ,  $U_{pr}$ ,  $r_{DS}(ON)$ ,  $g_{mo}$ )

## 2.4. Tranzistorul unipolar in regim variabil (dinamic)

Circuitul echivalent al unui TEC ca amplificator de semnal mic de joasă frecvență este ilustrat în fig. 38 (cir-

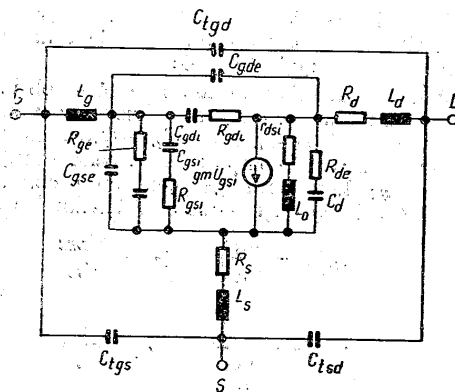


cuit dedus din comportamentul fizic real al TEC). Ca valori uzuale se pot admite:

$$\gamma_{ds} = 10 \dots 100 \text{ K}\Omega$$

104

Circuitul echivalent complet al TEC-J și TEC-MOS dedus din parametrii fizici în cazul cel mai general este prezentat în fig. 39.



105

Frecvența  $f_0$  la care modulul conductanței mutuale scade față de valoarea de la joasă frecvență cu 3 dB se numește *frecvență de tăiere* a conductanței mutuale.

Valoarea maximă a frecvenței de tăiere se atinge în condițiile lucrului la saturație  $f_0 = \frac{1}{2\pi} \cdot \frac{g_m}{C_g}$ .

$f_0$  are valori de sute de mii de MHz pentru tranzistorul intrinsec.

Experimental, astfel de valori nu se obțin în mod curent pentru exemplarele de serie, ceea ce arată că elementele extrinseci — capacități, rezistența de sursă, etc. au un rol determinant în performanțele de frecvență.

## 2.5. Tranzistorul unipolar ca rezistență controlată prin tensiune

Atât TEC—J cât și TEC—MOS prezintă în jurul originii, adică la valori mici ale tensiunii drenă-sursă  $U_{DS}$ , o dependență aproximativ liniară a curentului drenă,  $I_D$ , de tensiunea  $U_{DS}$ . Deci la valori mici ale tensiunii  $U_{DS}$  între drenă și sursă, TEC se comportă ca o rezistență a cărei valoare poate fi controlată prin tensiunea grilă-sursă  $U_{GS}$ .

Cele de mai sus sînt ilustrate prin caracteristicile  $I_D(U_{DS})$  mărite la două scări diferite, ale unui TEC—J cu canal  $n$  în jurul originii. (Fig. 40)

Se observă din caracteristicile desenate că se obțin caracteristici care nu sînt nici riguros liniare, nici simetrice față de origine adică  $I_D(U_{DS}) \neq -I_D(-U_{DS})$ . La tensiuni  $U_{DS} < 100$  mV, TEC se comportă ca o conductanță liniar variabilă cu  $U_{GS}$  de valoare  $g_{DS}$  (egală cu a conductanței mutuale  $g_m$  sat la aceeași valoare a tensiunii  $U_{GS}$ ).

$$g_{DS} = g_0 \left( 1 - \frac{U_{GS}}{U_{Pr}} \right) \quad g_{s_0} = \frac{2I_{DSS}}{U_{Pr}}$$

rezultă

$$r_{DS} = r_0 \frac{1}{1 - \frac{U_{GS}}{U_{Pr}}} \quad r_0 = \frac{1}{g_0}$$

Valoarea minimă a rezistenței unui TEC—J în conducție se obțin pentru  $U_{GS} = 0$  și este de ordinul 2–300  $\Omega$ .

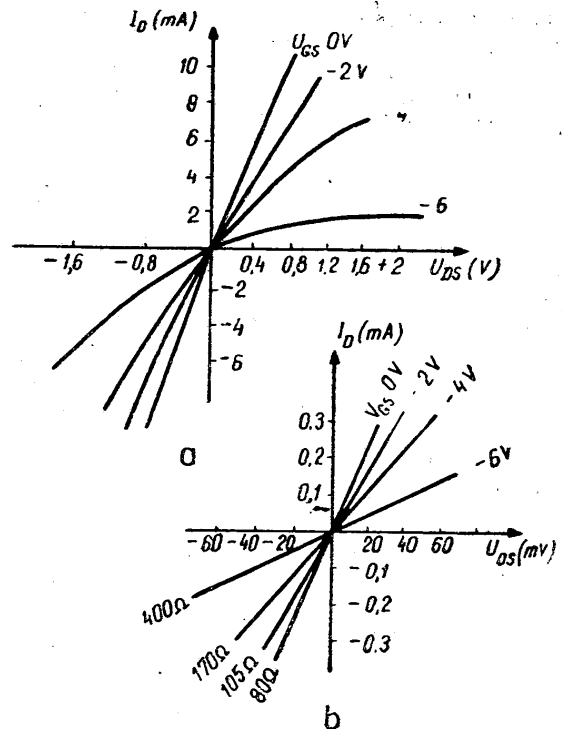


Fig. 40. Caracteristicile unui TEC ca rezistență variabilă  
a. la scară obișnuită b. în jurul originii la scara mărită

În cazul unor TEC—MIS comandate în sensul îmbogățirii maxime a canalului, valorile minime ale rezistențelor care se pot obține sînt de 20 ... 1000  $\Omega$ .

Valorile maxime de rezistență care se pot obține încă controlat înainte de strangularea canalului sînt de ordinul 0,1 – 1 M $\Omega$ .

Un TEC complet blocat prezintă între drenă și sursă o rezistență  $r_{DS}$  (OFF) de ordinul  $10^8 - 10^{12} \Omega$ .

Asemănător rezistenței unei joncțiuni blocate,  $r_{DS}$  (OFF) scade exponențial cu temperatura, reducându-se cu circa un ordin de mărime la creșterea temperaturii cu  $30^\circ\text{C}$ .

## 2.6. Tranzistorul unipolar în regim de comutație

În regim de comutație tranzistorul TEC trece din starea de blocare în cea de conducție și invers.

TEC-urile sînt folosite frecvent în schemele de comutație analogică unde se pune problema ca un anumit semnal (electric) să fie transmis pe o cale dată sau să fie oprit de a pătrunde pe aceea cale, după indicațiile unui alt semnal electric de comandă.

Cel mai des folosite sînt — schemele de comutație serie

— schemele de comutație serie șunt

În schema de comutație șunt (fig. 41a) semnalul este transmis în starea de blocare a TEC-ului; cînd TEC-ul este în conducție calea de semnal este scurtcircuitată la intrare și semnalul nu mai pătrunde pe ea.

În schema de comutație serie (fig. 41b) semnalul electric este comutat la calea dorită numai pe durata stării conductoare a TEC-ului, semnalul fiind oprit să treacă pe durata stării blocate a tranzistorului TEC.

Schema de comutație serie — șunt (fig. 41c) deși mai

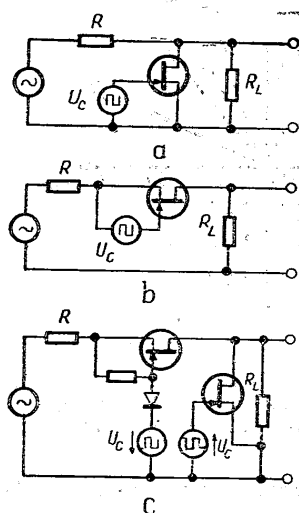


Fig. 41. Circuite de comutație cu TEC

a. schema de comutație șunt  
b. schema de comutație serie  
c. schema de comutație serie — șunt

complexă decît celelalte două, permite să se îmbine unele din avantajele lor și reduce în mare măsură erorile. Este folosită mai ales în modulatorile cu decupare de precizie înaltă unde au o derivă redusă la valori de ordinul  $0,1 - 1 \mu\text{V}$  în timp sau la variații normale ale temperaturii, avînd performanțe superioare modulatorilor realizate cu tranzistoare bipolare.

Caracteristicile statice ale unui TEC ca element de comutație analogică sînt aceleași cu cele ale TEC cu rezistența variabilă controlată prin tensiune. Aici însă se folosesc numai caracteristicile extreme, corespunzătoare unui TEC în stare conductoare la valoarea minimă posibilă a rezistenței sale  $r_{DS}(\text{ON}) = r_{DS}(\text{MIN})$  și TEC în stare blocată la valoarea maximă posibilă a rezistenței sale  $r_{DS}(\text{OFF})$

$$r_{DS}(\text{ON}) = r_{DS}(\text{MIN}) = 2 \dots 1000 \Omega$$

$$r_{DS}(\text{OFF}) = 10^8 \dots 10^{12} \Omega$$

Valori  $r_{DS}$  pentru TEC-uri de comutație sînt redată în tabela 4.

Tabela 4

Parametrii unor TEC de comutație tipice

Tipul	$r_{DS}(\text{ON})$ ( $\Omega$ )	$r_{DS}(\text{OFF})$ ( $\Omega$ )	$I_{DS}(\text{OFF})$ (nA)	$I_{DG}(\text{OFF})$ (nA)	$U_p$ (V)	$C_{gd}$ (pF)	$C_{gs}$ (pF)	$C_{ds}$ (pF)
a) TEC-J								
1. CMX 740	<2,5		<10	<10	8	45	45	
2. CAG. -6	<6		0,5	0,5		25	25	
3. F.E. 0655A	<25			<2	-10	12	12	
4. BSV -78	<25	>10 <sup>11</sup>	<0,25	<0,25	-7	5	5	
5. BFW -10	<300		<0,50	<0,5	-6	0,6	4	
b) TEC MOS								
1. HDSW -2106	20					11	11	8
2. MEM -563	50		<1	0,01	1,5	0,3	4	3,5
3. BSV 81	<50	>10 <sup>11</sup>	<1	<0,01	-2	<0,5	<5	<1,2
4. 3N 150	100	>10 <sup>10</sup>	0,2	0,03	-3,6	1,6	1,6	
5. MEM -520	150		0,2	<0,03	-4	1,5	2,5	0,15
6. 3N 138	240	>10 <sup>10</sup>	0,01	0,0001	-5	0,18	3	



### 3. COMPARAȚIE ÎNTRE TRANZISTOARELE BIPOLARE ȘI CELE UNIPOLARE

În tabelul 5 se face o comparație între proprietățile tranzistoarelor bipolare și a celor unipolare, cu scopul de a îndrepta atenția spre domeniile de utilizare cele mai tipice ale TEC.

Tabelul 5

Comparație între proprietățile tranzistoarelor bipolare și a celor unipolare

Elementele pt. care se face comparația	Tranzistor bipolar (conexiunea EC)	Tranzistor unipolar TEC (conexiunea SC)	
		Cu grilă jonțiune TEC-J	Cu grilă izolată TEC-MOS
Rezistență de intrare	Mică 0,1–10 K $\Omega$	Mare 10 <sup>6</sup> –10 <sup>9</sup> $\Omega$	foarte mare 10 <sup>9</sup> –10 <sup>14</sup> $\Omega$
Influența temperaturii	apare fenomenul de ambalare termică	— Nu apare ambalarea termică — Se poate alege punctul de funcționare astfel ca să se obțină curentul de drenă independent de temperatură	
Conductanță mutuală (panta) — tranzistoare de mică putere	20–200 $\frac{\text{mA}}{\text{V}}$	0,2–10 $\frac{\text{mA}}{\text{V}}$	
Amplificare la joasă frecvență în — curent — tensiune	20–60 dB 20–50 dB	100–140 dB 20–40 dB	140–180 dB 20–40 dB
Frecvență maximă de lucru (valori uzuale)	100–1000 MHz	100 MHz	500 MHz

De asemenea este prezentă și o comparație între TEC-J și TEC-MOS, relativ la domeniile de aplicație mai răspândite. În același câmp de aplicații nu se exclude însă și prezența celui alt tip (tab. 6)

Tabelul 6

Comparații ale TEC J și TEC MIS relativ la domeniile de aplicații

Utilizarea	Dispozitivul preferat	
	TEC J	TEC MOS
— Scheme de comutație	x	x
— Comutatoare	x	x
— Amplificatoare de uz general	x	
— Amplificatoare cu zgomot mic la frecvență joasă	x	
— Amplificatoare de înaltă frecvență		x
— Amplificatoare diferențiale	x	x
— Amplificatoare cu rezistență de intrare mare 10 <sup>6</sup> –10 <sup>9</sup> $\Omega$	x	
— Amplificatoare cu rezistență de intrare foarte mare peste 10 <sup>10</sup> $\Omega$ electrometrice		x
— Amplificatoare cu derivă mică	x	

### III. FOI DE CATALOG

#### 1. DIODE

##### Simboluri

Capacitatea totală a diodei	$C_{tot}$	Curentul de funcționare	$I_{op}$
Capacitatea capsulei	$C_p$	Curentul invers	$I_R$
Viteza de descreștere a curentului	$di/dt$	Curentul invers maxim	$I_{RM}$
Frecvența	$f$	Curentul invers de comutație	$I_{RRM}$
Frecvența de lucru (IMPATT)	$f_0$	Curentul invers maxim de suprasarcină accidentală	$I_{RSM}$
Frecvența de tăiere (VARICAP)	$f_{Q1}$	Curentul de stabilizare	$I_Z$
Frecvența de rezonanță serie	$f_s$	Curentul de stabilizare minim	$I_{ZK}$
Putere specifică de iradiere luminoasă	$E$	Curentul de stabilizare maxim	$I_{ZM}$
Curentul de scurt circuit	$I_{CO}$	Curentul de stabilizare de suprasarcină	$I_{ZSM}$
Curentul direct	$I_F$	Curentul de control al tensiunii de stabilizare	$I_{ZT}$
Curentul direct mediu	$I_{FAV}$	Integrala de curent	$I^2t$
Curentul direct mediu limită	$I_{FAVM}$	Inductanța serie echivalentă	$L_s$
Curentul direct maxim	$I_{FM}$	Inductanța capsulei	$L_p$
Curentul direct de suprasarcină previzibilă	$I_{F[OV]}$	Lungimea terminalului diodei	$l$
Curentul direct maxim repetitiv	$I_{FRM}$	Puterea disipată în direct	$P_F$
Curentul efecace maxim	$I_{FRMSM}$	Puterea generată (IMPATT)	$P_{out}$
Curentul direct maxim de suprasarcină accidentală	$I_{FSM}$		
Curentul direct continuu maxim	$I_0$		

Diode cu siliciu de uz general

TIP	Valori limită absolută				
	$U_R$ (V)	$I_F$ (mA)	$P_{tot}$ (mW)	$T_j$ (°C)	$U_R$ (V)
BA170	20	150	300	150	1
BA171	30	150	300	150	1
BA172	50	150	300	150	1

Puterea disipată în invers	$P_R$	Temperatura de stocare	$T_s$
Puterea maximă disipată	$P_{max}$	Tensiunea directă	$U_F$
Puterea maximă produsă	$P_M$	Tensiunea directă maximă	$U_{FM}$
Puterea inversă maximă de suprasarcină accidentală	$P_{RSM}$	Tensiunea directă de prag	$U_{FO}$
Rezistența dinamică directă	$r_F$	Tensiunea de lucru (IMPATT)	$U_{op}$
Rezistența serie	$r_s$	Tensiunea inversă	$U_R$
Rezistența termică	$R_{th}$	Tensiunea de avalanșă	$U_{RA}$
Rezistența termică joncțiune — ambiant	$R_{thj-a}$	Tensiunea inversă maximă repetitivă	$U_{RRM}$
" — capsulă	$R_{thj-c}$	Tensiunea inversă maximă nerepetitivă	$U_{RSM}$
" — lipitură	$R_{thj-l}$	Tensiunea de stabilizare	$U_Z$
capsulă — ambiant	$R_{thc-a}$	Tensiunea de stabilizare minimă	$U_{ZK}$
Rezistența dinamică	$r_z$	Tensiunea de stabilizare nominală	$U_{ZT}$
Rezistența dinamică minimă	$r_{zk}$	Tensiunea de stabilizare maximă	$U_{ZM}$
Rezistența dinamică nominală	$r_{zt}$	Tensiunea de stabilizare nominală	$U_{ZT}$
Timput	$t$	Impedanța termică tranzitorie	$Z_{(th)t}$
Durata impulsului de suprasarcină	$t_p$	Impedanța termică tranzitorie	$Z_{(th)j-c}$
Timput de comutație inversă	$t_{rr}$	joncțiune — capsulă	
Timput de revenire termică	$t_{th}$	Coeficientul de temperatură al tensiunii de stabilizare	$\alpha_{UZ}$
Temperatura ambiantă	$T_a$	Atenuarea minimă	pt. atenua-
Temperatura capsulei	$T_c$	" maximă	tor cu
Temperatura punctului de conectare (lipituri)	$T_l$	" de reflexie	PIN
Temperatura joncțiunii	$T_j$	Eficiența diodei IMPATT	$\eta$
		Unghi de conducție	$\theta$

Diode redresoare cu siliclu (normale și rapide)

Tip	$I_F/T_{amb}$ (A)	$I_F/T_{amb}$ (°C)	$I_{\theta}/T_{amb}$ (A)	$I_{\theta}/T_{amb}$ (°C)	$U_{RRM}=U_R$ (V)	$I_{FSM}$ (A)	$I_{FSM}$ (A)	$I_{FSM}$ (A)	$U_{FI}/I_F$ (V)	$I_R/T_{amb}$ (mA)	$I_R/T_{amb}$ (°C)	$t_{rr}$ (ns)	Capsulă
0,4A													
BA157	0,5	25	0,4	25	400	15	2	1,5	0,4	0,005	25	200	F126
BA158	0,5	25	0,4	25	600	15	2	1,5	0,4	0,005	25	300	F126
BA159	0,5	25	0,4	25	1000	15	2	1,5	0,4	0,005	25	300	F126
BAX157	0,5	25	0,4	25	400	15	2	0,97	0,4	0,005	25	400	F126
DRR104	0,5	25	0,4	25	100	15	2	1,5	0,4	0,1	100	1000	F126
DRR204	0,5	25	0,4	25	200	15	2	1,5	0,4	0,1	100	1000	F126
DRR404	0,5	25	0,4	25	400	15	2	1,5	0,4	0,1	100	1000	F126
DRR604	0,5	25	0,4	25	600	15	2	1,5	0,4	0,1	100	1000	F126
DRR114	0,5	25	0,4	25	1000	15	2	1,5	0,4	0,1	100	1000	F126
0,75A													
F087	1	25	0,75	25	50	30	4	1	0,75	0,05	100		D013
F087	1	25	0,75	25	80	30	4	1	0,75	0,05	100		D013
F107	1	25	0,75	25	100	30	4	1	0,75	0,05	100		D013
F207	1	25	0,75	25	400	30	4	1	0,75	0,05	100		D013
F307	1	25	0,75	25	600	30	4	1	0,75	0,05	100		D013
F407	1	25	0,75	25	800	30	4	1	0,75	0,05	100		D013
1A													
1N4001	1,15	75	1	75	50	30	10	1,1	1	0,05	100		F126
1N4002	1,15	75	1	75	100	30	10	1,1	1	0,05	100		F126
1N4003	1,15	75	1	75	200	30	10	1,1	1	0,05	100		F126
1N4004	1,15	75	1	75	400	30	10	1,1	1	0,05	100		F126
1N4005	1,15	75	1	75	600	30	10	1,1	1	0,05	100		F126
1N4006	1,15	75	1	75	800	30	10	1,1	1	0,05	100		F126
1N4007	1,15	75	1	75	1000	30	10	1,1	1	0,05	100		F126
D1N13	1,15	75	1	75	1300	30	10	1,1	1	0,05	100		F126
D1N16	1,15	75	1	75	1600	30	10	1,1	1	0,05	100		F126
2A													
F102	2,4	25	2	25	100	70	6,5	1,2	2	1	150		D013
F202	2,4	25	2	25	200	70	6,5	1,2	2	1	150		D013
F402	2,4	25	2	25	400	70	6,5	1,2	2	1	150		D013
F602	2,4	25	2	25	600	70	6,5	1,2	2	1	150		D013
F802	2,4	25	2	25	800	70	6,5	1,2	2	1	150		D013
F10A	2,4	25	2	25	1000	70	6,5	1,2	2	1	150		D013

Diode cu siliclu cu avalanșă controlată

Tip	$U_{RRM}$ (V)	$U_{RA}$ $I_R = 100 \mu A$ (V)	$I_{FRMSM}$ (A)	$I_{FSM}/t$ $t = 10 \text{ ms}$ (A) (°C) (A) (°C)	$v_{10ms}/t_{10ms}$ (A/°S) (°C)	$I_{FAWM}/t_{FW}$ (A) (°C)	$U_{FM}$ (V)	$I_{FM}$ (A)	$U_{FO}$ (V)	$\tau$ (ms)	$I_R = U_{RRM}$ (mA) (°C)	$P_{RSM}$ (kW)	$R_{th}^{(W)}$ (°C/W)	Capsule
10A	400	450 ÷ 750	15,7	210 25 150 160	110 160	10 125	1,4 35	0,98	10	3 150	30	2,5	D04	
D10	600	720 ÷ 1000	15,7	210 25 150 160	110 160	10 125	1,4 35	0,98	10	3 150	18	2,5	D04	
D10	800	950 ÷ 1400	15,7	210 25 150 160	110 160	10 125	1,4 35	0,98	10	3 150	12	2,5	D04	
D10	1000	1200 ÷ 1700	15,7	210 25 150 160	110 160	10 125	1,4 35	0,98	10	3 150	6	2,5	D04	
16A	400	450 ÷ 750	25	250 25 180 175	160 175	16 125	1,4 50	0,82	9,8	3 150	40	2,5	D04	
D16	600	720 ÷ 1000	25	250 25 180 175	160 175	16 125	1,4 50	0,82	9,8	3 150	25	2,5	D04	
D16	800	950 ÷ 1400	25	250 25 180 175	160 175	16 125	1,4 50	0,82	9,8	3 150	16	2,5	D04	
D16	1000	1200 ÷ 1700	25	250 25 180 175	160 175	16 125	1,4 50	0,82	9,8	3 150	10	2,5	D04	
D16	1200	1400 ÷ 2000	25	250 25 180 175	160 175	16 125	1,4 50	0,82	9,8	3 150	6	2,5	D04	
D16	1400	1600 ÷ 2400	25	250 25 180 175	160 175	16 125	1,4 50	0,82	9,8	3 150	4	2,5	D04	
25A	400	450 ÷ 750	40	400 25 300 160	450 160	25 125	1,4 80	0,9	5,6	5 150	60	1,1	D05	
D25	600	720 ÷ 1000	40	400 25 300 160	450 160	25 125	1,4 80	0,9	5,6	5 150	35	1,1	D05	
D25	800	950 ÷ 1400	40	400 25 300 160	450 160	25 125	1,4 80	0,9	5,6	5 150	25	1,1	D05	
D25	1000	1200 ÷ 1700	40	400 25 300 160	450 160	25 125	1,4 80	0,9	5,6	5 150	13	1,1	D05	
D25	1200	1400 ÷ 2000	40	400 25 300 160	450 160	25 125	1,4 80	0,9	5,6	5 150	10	1,1	D05	
D25	1400	1600 ÷ 2400	40	400 25 300 160	450 160	25 125	1,4 80	0,9	5,6	5 150	7	1,1	D05	

Diode stabilizatoare de tensiune

Tip	$U_Z$			$I_Z$ (mA)	$r_{ZT}$ ( $\Omega$ )	$\alpha_{UZT}$ ( $10^{-4}/^{\circ}\text{C}$ )	$I_{ZM}$ (mA)	Capsulă
	min (V)	nom (V)	max (V)					
1W								
PL3V3Z	3.1	3.3	3.5	100	10	-6	285	F126
PL3V6Z	3.4	3.6	3.8	100	10	-5.5	280	F126
PL3V9Z	3.7	3.9	4.1	100	7	-5	240	F126
PL4V3Z	4	4.3	4.6	100	7	-4	215	F126
PL4V7Z	4.4	4.7	5	100	7	-2	200	F126
PL5V1Z	4.8	5.1	5.4	100	5	-1	185	F126
PL5V6Z	5.2	5.6	6	100	2	2.5	165	F126
PL6V2Z	5.8	6.2	6.6	100	2	3.2	150	F126
PL6V8Z	6.4	6.8	7.2	100	2	1	140	F126
PL7V5Z	7	7.5	7.9	100	2	4.5	130	F126
PL8V2Z	7.7	8.2	8.7	100	2	4.8	110	F126
PL9V1Z	8.5	9.1	9.6	50	4	5.1	100	F126
PL10Z	9.4	10	10.6	50	4	5.5	94	F126
PL11Z	10.4	11	11.6	50	7	6	76	F126
PL12Z	11.4	12	12.7	50	7	6.5	79	F126
PL13Z	12.4	13	14.1	50	10	6.5	71	F126
PL15Z	13.8	15	15.6	50	10	7	64	F126
PL15Z	15.3	16	17.1	25	15	7	59	F126
PL18Z	16.8	18	19.1	25	15	7.5	52	F126
PL20Z	18.8	20	21.2	25	15	7.5	47	F126
PL22Z	20.8	22	23.3	25	15	8	43	F126

Diode stabilizatoare de tensiune

Tip	$U_Z$			$I_Z$ (mA)	$r_{ZT}$ ( $\Omega$ )	$\alpha_{UZT}$ ( $10^{-4}/^{\circ}\text{C}$ )	$I_{ZM}$ (mA)	Capsulă
	min (V)	nom (V)	max (V)					
1W								
IN3016B	6.4	6.8	7.2	37	3.5	2..6	140	DO13
IN3017B	7	7.5	7.9	34	4	3..7	130	DO13
IN3018B	7.7	8.2	8.7	31	4.5	3.5..7.5	110	DO13
IN3019B	8.5	9.1	9.6	28	5	4..8	100	DO13
IN3020B	9.4	10	10.6	25	7	4..8	94	DO13
IN3021B	10.4	11	11.6	23	8	4..9	86	DO13
IN3022B	11.4	12	12.7	21	9	4..9	79	DO13
IN3023B	12.4	13	14.1	19	10	4..9	71	DO13
IN3024B	13.8	15	15.6	17	14	5..9	64	DO13
IN3025B	15.3	16	17.1	15.5	16	5..9	59	DO13
IN3026B	16.8	18	19.1	14	20	5..9	52	DO13
IN3027B	18.8	20	21.2	12.5	22	5..9	47	DO13
IN3028B	20.8	22	23.3	11.5	23	5..9	43	DO13
IN3029B	22.8	24	25.6	10.5	25	5..9	39	DO13
IN3030B	25.1	27	28.9	9.5	35	5..9	35	DO13
IN3031B	28	30	32	8.5	40	5..9	31	DO13
IN3032B	31	33	35	7.5	45	5..9	29	DO13
IN3033B	34	36	38	7	50	6..10	26	DO13
IN3034B	37	39	41	6.5	60	6..10	24	DO13
IN3035B	40	43	46	6	70	6..10	22	DO13
IN3036B	44	47	50	5.5	80	6..10	20	DO13

Diode cu siliciu de comutație

TIP	Valori limită absolută					Caracteristici electrice				Capsula
	$U_R$ (V)	$I_F$ (mA)	$T_j$ (°C)	$U_F$ (V)	$I_F$ (mA)	$I_R$ (nA)	$U_R$ (V)	$C_{tot}$ (pF)	$t_{rr} = t_{inv}$ (ns)	
1N4148	75	200	200	1	10	25	20	4	4	DO 35
1N4149	75	200	200	1	10	25	20	2	4	DO 35
1N4151	50	200	200	1	50	50	20	2	2	DO 35
1N4154	25	200	200	1	30	100	25	4	2	DO 35
1N4446	75	200	200	1	20	25	20	4	4	DO 35
1N4447	75	200	200	1	20	25	20	2	4	DO 35
1N4448	75	200	200	1	100	25	20	4	4	DO 35
1N4449	75	200	200	1	30	25	20	2	4	DO 35
1N4454	50	200	200	1	10	100	20	2	2	DO 35
BAY93	20	115	200	1	10	100	10	5	—	DO 35
DP450	20	50	125	1	10	0,01	20	1,5	350	TO 18
DP451	20	50	125	1	10	0,025	20	1,5	350	TO 18

Diode variabile cu siliciu

TIP	Valori limită absolută				Caracteristici electrice				Capsula
	$U_R$ (V)	$T_j$ (°C)	$C_{tot}$ (pF)	$U_{R1}$ (V)	$C_{tot}/U_{R2}$ (pF)	$I_R/U_R$ (V)	$I_R/U_R$ (μA)	$I_R/U_R$ (V)	
BB121	30	150	1,96 ÷ 2,65	25	—	3	0,1	28	DO35
BB122	30	150	2,1 ÷ 2,8	25	—	3	0,1	28	DO35
BB125	30	150	2 ÷ 3	25	12	3	1	28	DO35
BB126	30	150	2 ÷ 3	25	11	3	1	28	DO35
BB139	30	150	4,3 ÷ 6	25	29	3	0,1	28	DO35
8310	—	150	—	9	16 ÷ 28	4	1	12	DO35
8410	—	150	—	9	7,5 ÷ 11,5	4	5	12	DO35

## Diode IMPATT

Tip	Caracteristici electrice					Polarizare		Eficiență $\eta I_{F0}=I_0$ (%)	Valori limită		Capsulă
	$U_{BR}/I_F=$ $I_F=1\text{mA}$ (V)	$I_F$ ( $\mu\text{A}$ )	$C_D$ (pF)	$P_{out}$ (mW)	$f_0$ (GHz)	$I_0$ (mA)	$U_0$ (V)		$T_f$ (°C)	$R_{thj-c}$ (°C/W)	
BXY0181	70...90	10	0,8	100	8...12	40	95	3	200	30	F-27d
BXY0182	70...90	10	0,8	100	8...12	40	95	3	200	30	F-27d
BXY0301	60...100	10	1	350	10...12	80	100	5	200	23	F-27d
BXY0302	60...100	10	1	350	10...12	80	100	5	200	23	F-27d
BXY0381	60...100	10	1	350	8...10	80	100	5	200	21	F-27d
BXY0372	60...100	10	1	350	8...10	80	100	5	200	21	F-27d
BXY0391	60...100	10	1	350	9...11	80	100	5	200	22	F-27d
BXY0392	60...100	10	1	350	9...11	80	100	5	200	22	F-27d
BXY0501	60...100	10	1,2	500	10...12	100	110	6,5	200	19	F-27d
BXY0502	60...100	10	1,2	500	10...12	100	110	6,5	200	19	F-27d
BXY0581	60...100	10	1,2	500	8...10	100	110	6,5	200	17	F-27d
BXY0582	60...100	10	1,2	500	8...10	100	110	6,5	200	17	F-27d
BXY0591	60...100	10	1,2	500	9...11	100	110	6,5	200	18	F-27d
BXY0522	60...100	10	1,2	500	9...11	100	110	6,5	200	18	F-27d

## Diode cu baza dublă — tranzistoare unijunctione

Tip	Valori limită absolute				Caracteristici electrice									
	Capsulă	$P_{tot}$ mW	$I_E$ mA	$I_C$ mA	$U_{EB}$ V	$U_{CB}$ V	$U_{EB}$ V	$\eta$	$R_{EB}$ k $\Omega$	$I_{EBO}$ $\mu\text{A}$	$I_{C1}$ $\mu\text{A}$	$I_{C2}$ mA	$U_{EBsat}$ V	$U_{CB}$ V
ROS11	TO5	450	70	2	30	35	0,6	0,8	2,5	10	12	25	1	5
ROS11A	TO5	450	70	2	30	35	0,6	0,8	2,5	10	12	25	1	5
ROS11B	TO5	450	70	2	30	35	0,6	0,8	2,5	10	12	25	1	5
ROS11C	TO5	450	70	2	30	35	0,6	0,8	2,5	10	12	25	1	5
ROS12	TO5	450	70	2	60	35	0,5	0,75	6,2	12	1	12	8	5
ROS12A	TO5	450	70	2	60	35	0,5	0,6	6,2	12	1	12	8	5
ROS12B	TO5	450	70	2	60	35	0,56	0,68	6,2	12	1	12	8	5
ROS12C	TO5	450	70	2	60	35	0,62	0,75	6,2	12	1	12	8	5
2N1671	TO5	450	50	2	30	35	0,47	0,62	4,7	9,1	12	25	8	5
2N1671A	TO5	450	50	2	30	35	0,47	0,62	4,7	9,1	12	25	8	5
2N1671B	TO5	450	50	2	30	35	0,47	0,62	4,7	9,1	12	25	8	5
2N1671C	TO5	450	50	2	30	35	0,47	0,62	4,7	9,1	12	25	8	5
2N2160	TO5	450	50	2	30	35	0,47	0,8	4	12	12	25	8	5
2N2846	TO18	300	50	2	30	30	0,56	0,75	4,7	9,1	12	5	4	5
2N2847	TO18	300	50	2	30	30	0,68	0,82	4,7	9,1	12	2	8	5
2N3479	TO5	450	50	2	30	35	0,47	0,62	4,7	9,1	12	20	6	5
2N3480	TO5	450	50	2	30	35	0,56	0,75	4,7	9,1	12	20	4	5
2N3481	TO5	450	50	2	30	35	0,7	0,85	4,7	9,1	12	20	4	5

**Diode electroluminescente (Led) cu GaAsP**

Tip	Intensitatea luminoasă	Curent nominal	Culoare	Timp de răspuns	Capsulă
ROL02	0,6 mcd	20 mA	roșu	15 ns	6
ROL05	0,8 mcd	20 mA	orange	15 ns	6
ROL07	0,8 mcd	20 mA	galben	15 ns	6

**Fotodiode cu siliciu**

Tip	Sensibilitate	Tensiune inversă	Curent de întineric	Timp de răspuns	Capsulă
ROL21	30 $\mu$ A/klx	75 V	20 nA	1 $\mu$ s	7
ROL021	30 $\mu$ A/klx	50 V	20 nA	1 $\mu$ s	6
ROL22	7 $\mu$ A/klx	70 V	20 nA	1 $\mu$ s	8

**Diode electroluminescente standard**

Caracteristici optoelectrice la  $T_A = 25^\circ\text{C}$ .

Parametrii	Condiții de test	Dispozitiv diodă	Valori		Unități de măsură
			min	max	
0	1	2	3	4	
Intensitatea luminoasă $I_o$	$I_F = 20 \text{ mA}$	MDE1101R, MDE1101V MDE1102R, MDE1102V MDE1103R, MDE1103V MDE1101P, MDE1101G MDE1102P, MDE1102G MDE1103P, MDE1103G	0,1 1 2 0,3 1,5 2,5	1 2 2 1,5 2,5 med	med med med med med med
Lungimea de undă de maxim $\lambda_p$	$I_F = 20 \text{ mA}$	MDE1101R(P) MDE1102R(P) MDE1103R(P)  MDE1101G, MDE1102G MDE1103G  MDE1101V, MDE1102V MDE1103V	(625) 645	(640) 680	nm nm nm
Unghi de vizibilitate $\theta$	$I_F = 20 \text{ mA}$		40		grad

*Tabel (continuare)*

0	1	2	3	4
Tensiune directă $U_F$	$I_F = 20 \text{ mA}$	MDE1101R, MDE1102R MDE1103R  MDE1101P, MDE1102P MDE1103P MDE1101G, MDE1102G MDE1103G MDE1101V, MDE1102V MDE1103V	2	V
$U_{RR}$ Tensiune de străpungere inversă	$I_R = 100 \mu\text{A}$		3	V
Capacitate $C_o$	$U_F = 0 \text{ V}$ $f = 1 \text{ MHz}$	MDE1101R, MDE1102R MDE1103R  MDE1101P, MDE1102P MDE1103P MDE1101G, MDE1102G MDE1103G MDE1101V, MDE1102V MDE1103V	70  60	V  pF

Notă: R = roșu  
V = verde  
G = galben  
P = chilimbar

**Valori limită absolute**

Parametrii	Valori	Unități
$I_F \text{ max}$ curent direct continuu	50	mA
$I_F \text{ peak max}$ curent direct de vîrf	1	A
$P_{dmax}$ putere disipată în curent continuu	150	mW
$T_A$ temperatura de operare	0...+70	$^\circ\text{C}$
$T_s$ temperatura de stocare	-40...+85	$^\circ\text{C}$
$T$ temperatura de lipire a terminalelor	+260	$^\circ\text{C}$

Diac

TIP	$U_{BO1}$ $min$ (V)	$U_{BO2}$ $max$ (V)	$I_{BO1}$ $I_{BO2}$ $max$ ( $\mu A$ )	$U_{BO}$ $max$ (V)
DC32	28	36	300	4
DC32A	28	36	50	2
DC38	34	42	300	4
DC38A	34	42	50	2
DC44	40	48	300	4
DC44A	40	48	50	2
DC50	46	54	300	4
DC50A	46	54	50	2

Triac

TIP	$U_{DRM}$ (V)	$I_{TRMSM}$ (A) $t_c = 80^\circ C$	$I_{TSM}$ (A) $t = 10$ ms	$i^2 t$ (A <sup>2</sup> s) $t = 10$ ms	$U_{TM}$ $I_{TM}$ (V) (A)	$U_{TO}$ (V)
TB6N2	200	6	48	11,5	2,3 8,5	1,8
TB6N3	300	6	48	11,5	2,3 8,5	1,8
TB6N4	400	6	48	11,5	2,3 8,5	1,8
TB6N5	500	6	48	11,5	2,3 8,5	1,8
TB6N6	600	6	48	11,5	2,3 8,5	1,8
TB10N2	200	10	80	32	1,9 1,4	1,18
TB10N3	300	10	80	32	1,9 1,4	1,18
TB10N4	400	10	80	32	1,9 1,4	1,18
TB10N5	500	10	80	32	1,9 1,4	1,18
TB10N6	600	10	80	32	1,9 1,4	1,18

pentru semnificație indicele  $T$  corespunde indicelui  $F$ .

$U_{s1}$ $U_{s2}$ $min$ (V)	$I_{TRM}^{max}$ $t_p = 20 \mu s$ $f = 100$ Hz (A)	$P_s$ (W)	Capsula
5	1,5	0,3	F 126
5	1,5	0,3	F 126
5	1,5	0,3	F 126
5	1,5	0,3	F 126
7	1,5	0,3	F 126
7	1,5	0,3	F 126
7	1,5	0,3	F 126
7	1,5	0,3	F 126

$r_T$ (m $\Omega$ )	$dU/dt$ (V/ $\mu s$ )	$i_D(U_D = U_{DRM})$ (mA)	$U_G$ (V)	$I_G$ (mA)	$R_{thjc}$ ( $^\circ C/W$ )	Capsula
52	5	0,5	2,5	100	3	TO220
52	5	0,5	2,5	100	3	TO220
52	5	0,5	2,5	100	3	TO220
52	5	0,5	2,5	100	3	TO220
52	5	0,5	2,5	100	3	TO220
52	5	0,5	2,5	100	3	TO220
38	5	0,5	2,5	100	2,4	TO220
38	5	0,5	2,5	100	2,4	TO220
38	5	0,5	2,5	100	2,4	TO220
38	5	0,5	2,5	100	2,4	TO220
38	5	0,5	2,5	100	2,4	TO220



Tip	$U_{DRM}$ (V)	$I_{FRSM}$ (A)	$I_{FSM}/t_{vj}$ $t = 10$ msec (A) (°C)	$i_{av}/t_{vj}$ $t = 10$ ms (A/s) [(100°C)]	$dv/dt$ (V/μs)	$dw/dt$ (μs)	$t_{vj}$ (°C)	$I_D = I_R/t_{vj}$ $U_D = U_{DRM}$ $U_R = U_{FRM}$ (mA) (°C)	$U_{as} = U_{as}/t_{vj}$ (V)	$I_{as} = I_{as}/t_{vj}$ (mA)	$R_{thjc}$ (°C/W)	Capsule
1A												
TIN05	50	1,57	10 100	0,5	20	50	40 100	1 120	2	10	30	SOT32
TIN1	100	1,57	10 100	0,5	20	50	40 100	1 120	2	10	30	SOT32
TIN2	200	1,57	10 100	0,5	20	50	40 100	1 120	2	10	30	SOT32
TIN4	400	1,57	10 100	0,5	20	50	40 100	1 120	2	10	30	SOT32
TIN6	600	1,57	10 100	0,5	20	50	40 100	1 120	2	10	30	SOT32
TIN8	800	1,57	10 100	0,5	20	50	40 100	1 120	2	10	30	SOT32
TIR105	50	1,57	10 100	0,5	20	50	40 100	1 120	2	10	30	SOT32
TIR1	100	1,57	10 100	0,5	20	50	40 100	1 120	2	10	30	SOT32
TIR2	200	1,57	10 100	0,5	20	50	40 100	1 120	2	10	30	SOT32
TIR4	400	1,57	10 100	0,5	20	50	40 100	1 120	2	10	30	SOT32
TIR6	600	1,57	10 100	0,5	20	50	40 100	1 120	2	10	30	SOT32
TIR8	800	1,57	10 100	0,5	20	50	40 100	1 120	2	10	30	SOT32
3A												
T3N05	50	4,7	30 100	4,5	50	50	30 25	1,5 125	3	30	4	TO66(F22)
T3N1	100	4,7	20 100	4,5	50	50	80 25	1,5 125	3	30	4	TO66(F22)
T3N2	200	4,7	30 100	4,5	50	50	80 25	1,5 125	3	30	4	TO66(F22)
T3N4	400	4,7	30 100	4,5	50	50	80 25	1,5 125	3	30	4	TO66(F22)
T3N6	600	4,7	30 100	4,5	50	50	80 25	1,5 125	3	30	4	TO66(F22)

## Celule solare

Cs-01-C2

Cs-01-C3

Cs-01-P2

Cs-01-S<sub>2</sub>

Cs-02-C2

Cs-02-C3

Cs-02-P2

Cs-02-S<sub>2</sub>Caracteristici electrice  $T_a = 25^\circ\text{C}$   
AMO

Para- metrii	Cs-01-C2 min-tip	Cs-01-C3 min-tip	Cs-01-P2 min-tip	Cs-01-S2 min-tip	Unit. măș.
Tensiune de gol $U_{oc}$	0,5 0,56	0,5 0,57	0,5 0,56	0,5 0,56	V
Curent de scurt- circuit $I_{CC}$	0,5 0,55	1,2 1,3	0,7 0,75	1,05 1,15	A
Putere produsă maximă $P_M$	0,25 0,3	0,5 0,52	0,3 0,32	0,4 0,45	W

AMO = putere luminoasă de 100 mW/cm<sup>2</sup> în spectrul solar.Valori limită absolute  $T_A = 25^\circ\text{C}$ 

Parametru	Condiții	Valoare	Unități
Putere de iradiere lumină $E$ . Temperatura maximă a jonc- țiunii $T_j$ . Temperatura de stocare $T$ .	$T_{amb} = 45^\circ\text{C}$	1 150 -40 ÷ 100	kW/m <sup>2</sup> °C °C

## 2. TRANZISTOARE

### *Lista simbolurilor utilizate în foile de catalog*

#### *Tranzistoare bipolare*

$U_{CEO}$  = tensiune maximă colector-emitor cu baza în gol

$U_{EBO}$  = tensiune maximă emitor — bază cu colectorul în gol

$I_C$  = curent de colector

$U_{CEsat}$  = tensiune cu saturație colector-emitor

$f_T$  = frecvență de tăiere

$F$  = factor de zgomot = putere totală de zgomot la ieșire  
putere de zgomot la ieșire datorită zgomotului termic în  $R_g$

$\beta_{21E}$  = valoarea statică a amplificării în curent

$\beta_{21c}$  = valoarea dinamică a amplificării în curent

$P_{tot}$  = putere totală

$T_j$  = temperatura joncțiunii

$T_{hj-c}$  = rezistența termică joncțiune-capsulă

$T_{hj-a}$  = rezistența termică joncțiune mediu ambiant

#### *Tranzistoare unipolare*

$U_{DS}$  = tensiunea drenă-sursă

$U_{GS}$  = tensiunea grilă-sursă

$P_d$  = putere disipată

$I_{DSS}$  = curentul drenă-sursă la polarizare nulă pe grilă

$U_{GSoff}$  = tensiunea de blocare a canalului

$U_{GST}$  = tensiunea de prag grilă-sursă  $U_{p_r}$

$r_{DS(ON)}$  = rezistența drenă-sursă în conducție

$g_m$  = transconductanța internă

$I_{GSS}$  = curentul de pierderi al grilei, cu drena scurt-circuitată la sursă

$U_{GB}$  = tensiune grilă-substrat

Tranzistoare cu siliciu de joasă frecvență, mică putere NPN

Tip	Valori limită absolute					Caracteristici electrice							
	$U_{CEO}$ V	$U_{EBO}$ V	$I_C$ mA	$P_{tot}$ mW	$T_j$ °C	$U_{CEsat}$ V	$I_C$ mA	$h_{21E} (h_{21F})$	$I_C$ mA	$U_{CE}$ V	$f_T$ MHz	$F$ dB	$f$ kHz
BC107	45	6	100	300	175	0,6	100	125—500	2	5	300	10	1
BC108	20	5	100	300	175	0,6	100	125—900	2	5	300	10	1
BC109	20	5	100	300	175	0,6	100	240—900	2	5	300	4	0,05—15
BC170	20	5	100	300	150	0,4	30	35—800	1	1	100	10	1
BC171	45	6	100	300	150	0,6	100	125—900	2	5	300	10	1
BC172	25	5	100	300	150	0,6	100	125—900	2	5	300	10	1
BC173	25	5	100	300	150	0,6	100	240—900	2	5	300	4	0,03—15
BC174	64	5	100	300	150	0,6	100	125—500	2	5	300	10	1
BC190	64	5	100	300	175	0,6	100	125—500	2	5	300	10	1
BC237	45	6	100	300	150	0,6	100	125—500	2	5	300	10	1
BC238	25	5	100	300	150	0,6	100	125—900	2	5	300	10	1
BC239	25	5	100	300	150	0,6	100	240—900	2	5	300	4	0,03—15
BC337	45	5	800	625	150	0,7	500	100—630	100	1	100	—	—
BC338	25	5	800	625	150	0,7	500	100—630	100	1	100	—	—

Tranzistoare cu siliciu de joasă frecvență mică putere PNP

Tip	Valori limită absolută					Caracteristici electrice							
	$U_{CEO}$ V	$U_{EBO}$ V	$I_C$ mA	$P_{tot}$ mW	$T_i$ °C	$U_{CEsat}$ V	$I_C$ mA	$h_{21e} (h_{21E})$	$I_C$ mA	$U_{CE}$ V	$f_T$ MHz	$F$ dB	$f$ kHz
BC177	45	5	100	300	175	0,95	100	75—260	2	5	200	10	1
BC178	25	5	100	300	175	0,95	100	75—500	2	5	200	10	1
BC179	20	5	100	300	175	0,95	100	125—500	2	5	200	4	0,03—15
BC250	20	5	100	300	150	0,3	10	35—600	1	1	180	10	1
BC251	45	5	100	300	150	0,3	10	125—900	2	5	200	10	1
BC252	25	5	100	300	150	0,3	10	125—900	2	5	200	10	1
BC253	25	5	100	300	150	0,3	10	125—900	2	5	200	4	0,03—15
BC256	64	5	100	300	150	0,3	10	125—500	2	5	200	10	1
BC327	45	5	800	625	150	0,7	500	100—630	100	11	100	—	—
BC328	25	5	800	625	150	0,7	500	100—630	100	1	100	—	—

Tranzistoare cu siliciu de joasă frecvență medie putere NPN

Tip	Valori limite absolute				Caracteristici electrice						$T_{amb} = 25^{\circ}\text{C}$
	$U_{CE0}$ V	$U_{EB0}$ V	$I_C$ A	$P_{tot}$ W	$T_j$ $^{\circ}\text{C}$	$U_{CESat}$ V	$I_C$ mA	$f_T$ MHz	$I_{CRO}$ mA	$U_{CE}$ V	$I_C$ mA
BD135	45	5	1,5	6,5	150	0,6	500	50	100	30	40-250
BD137	60	5	1,5	6,5	150	0,6	500	50	100	30	40-160
BD139	80	5	1,5	6,5	150	0,6	500	50	100	30	40-160

PNP

BD136	45	5	1,5	6,5	150	0,6	500	50	100	30	40-250
BD138	60	5	1,5	6,5	150	0,6	500	50	100	30	40-160
BD140	80	5	1,5	6,5	150	0,6	500	50	100	30	40-160

Tranzistoare cu siliciu de joasă frecvență, de putere NPN

Tip	Valori limite absolute						Caracteristici electrice					
	$U_{CE0}$ V	$U_{CE0}$ V	$U_{EB0}$ V	$I_C$ A	$P_{tot}$ W	$T_j$ °C	$R_{M\theta}$ °C/W	$U_{CSat}$ V	$I_C$ A	$h_{FE}$ A	$f_T$ MHz	
2N3055	100	60	7	15	117	200	1,5	1,1	4	20-70	4-1,5	

Tranzistoare cu efect de câmp produse în R.S.R. (producător ICCE)

Cod	Tip	Valori limită absolută				Caracteristici electrice					
		$U_{DS}$ V	$U_{GS}$ V	$I_D$ mA	$P_d$ mW	$U_{GSR}$ V	$I_{DSS}$ mA	$I_{GSS}$ nA	$r_{DS(ON)}$	$g_m$ mA/V	
ROS01 ROS02 ROS04 ROS05 (-2X ROS01)	TEC-MOS										
	canal p	-30	-40	30	200	-4	1	0,05	100	9	
	canal n	30	40	30	200	2...10	1-3	0,01	500	5	
	canal p	-25	-	30	200	-2...-5	0,01	-	350	1	
	canal p	-30	-40	30	200	-4	1	0,05	100	5	
ROS104 BFW10 BFW11 2N4091 2N4092 2N4093	(dublu)										
	TEC-J										
	canal p	-25	25	30	200	3,5	1	0,1	250	4	
	canal n	-	-30	-	-	-8	8-20	-0,1	-	-	
	canal n	-	-30	-	-	-6	4-10	-0,1	-	-	
	canal n	40	-40	-	1800	-5...10	30	-	30	-	
	canal n	40	-40	-	1800	-2...7	15	-	30	-	
	canal n	40	-40	-	1800	-1...5	8	-	30	-	

#### IV. BIBLIOGRAFIE

1. I. Felea ș.a., *Circuite cu tranzistoare în industrie II* Editura Tehnică București, 1964.
2. Yaohan Chu, *Bazele proiectării calculatoarelor numerice* București, Editura Tehnică, 1968.
3. A. Vătășescu ș.a., *Circuite cu semiconductoare în industrie. Amplificatoare și oscilatoare* București, Editura Tehnică, 1971.
4. Mihai Tanciu, Ion Vidrașcu *Manualul Radioamatorului* Editura Stadion, București, 1971.
5. I. Ristea, M. Bodea *Tranzistoare cu efect de câmp* Editura Tehnică, București, 1972.
6. P. E. Gray, C. L. Searle *Bazele electronicii moderne* Editura Tehnică, București, 1973.
7. G. Raymond *Tehnica televiziunii în culori* București, Editura Tehnică, 1971.
8. Mircea Negreanu, Gh. Băluță *De la efectul fotoelectric la celula solară* Editura Albatros, București, 1981.
9. N. Drăgălanescu, *Agenda radioelectronistului* Editura Tehnică, București, 1984.
10. General Electric Company, *Silicon Controlled Rectifier Manual* Editor P. W. Gutzwiller
11. *Mullard technical handbook*. Book one. Part. three 1975.
12. Emil Micu, *Electrotehnica de la a la z.*, Editura Științifică și Enciclopedică, București, 1985.
13. P. A. Dan, D. M. Luca, A. Albu, T. Dunca, G. Primejdie *Diode cu siliciu - Catalog Seria Practică*, București, 1986.
14. *Catalog condensat*, Dispozitive semiconductoare PERS.

Redactor: Smaranda Dimitriu  
Tehnoredactor: Maria Trăsnea  
Coperta: Simona Dumitrescu

Bun de tipar: 22.06.86.  
Coli de tipar: 8,5. C.Z.: 621.



Tiparul executat sub comanda nr. 127  
la ÎNTREPRINDEREA POLIGRAFICA CLUJ  
Municipiul Cluj-Napoca  
B-dul Lenin nr. 146  
Republica Socialistă România